

Genetic analysis of Douglas-fir stands (*Pseudotsuga menziesii* (Mirb.) Franco) from Switzerland

REPORT 03.02.2022

Charalambos Neophytou, Senior Scientist, Institute of Silviculture, BOKU

1. Introduction

The Professorship of Forest Ecology of the Department of Environmental Systems Science, ETH Zürich (Zurich, Switzerland) currently performs a dendrochronological and physiological study of Douglas fir (*Pseudotsuga menziesii*) stands in Switzerland. An important question is whether there is a genetic effect on the phenotype. The Institute of Silviculture of the BOKU University (Vienna, Austria) has expertise in population genetics of Douglas fir with previous results published in three scientific papers: van Loo et al. (2015), Hintsteiner et al. (2018) and Neophytou et al. (2019). Therefore, a population genetic analysis of the studied populations was assigned to the Institute of Silviculture of the BOKU University (Vienna, Austria) to assess the origin and genetic variation of the study stands, based on the methods published in the aforementioned studies.

Hence, for the genetic characterization of the Swiss stands, the same microsatellite marker loci, as well as a subset of native populations (reference populations) from the three cited studies were used. In particular, the objectives of the analysis were (i) to identify the variety at the individual and population level (either *P. menziesii* var. *menziesii* or var. *glauca*); (ii) to assign populations and individuals to provenances within varieties; (iii) to describe the genetic diversity using different population genetic measures and to compare them with values observed in the native range of the species.

2. Materials and Methods

Tissue samples (cambium) were shipped to the molecular genetics laboratory of the Institute of Silviculture in September 2021. Subsequently, DNA extraction was carried out using a commercial kit (Qiagen DNEasy plant mini kit). Details on the extraction are presented in the Appendix 1. In total, thirteen microsatellite loci (SSRs) were then amplified by means of a Polymerase Chain Reaction (PCR). In particular, the following loci were amplified: Pm(OSU_1C3, Pm(OSU_1F9, Pm(OSU_2C2, Pm(OSU_2D4, Pm(OSU_2D6, Pm(OSU_2D9, Pm(OSU_2G12, Pm(OSU_3B2, Pm(OSU_3B9, Pm(OSU_3F1, Pm(OSU_3D5, Pm(OSU_4A7 and Pm(OSU_5A8 (all developed by Slavov et al. 2004). The PCR-primers were multiplexed and fluorescent dyed according the protocols of van Loo et al. (2015), Hintsteiner et al. (2018) and Neophytou et al. (2019). The PCR products (alleles) were separated using capillary electrophoresis in a SeqStudio Genetic Analyzer (Applied Biosystems). Peak selection was performed manually using the software GeneMapper v6.0 (Applied Biosystems). In total, 161 Douglas-fir individuals sampled from eight



populations in Switzerland were genotyped (Table 1). In addition, 126 native individuals from six provenances (also used in the cited papers), including both varieties, were genotyped (Fig. 1). Allele binning was done using the software Tandem (Matschiner & Salzburger 2009). The genotype table with unrounded fragment sizes and binned alleles is presented in Appendix 2.

Table 1 – IDs of Swiss and native Douglas fir populations and number of genotyped individuals per population included in this analysis

| Population ID | Population name | Number of individuals |
|---------------|---|-----------------------|
| Cai | Les Cairfatas | 20 |
| Ges | Bois des Gésiaux | 20 |
| Grm | St. Germanerflüe | 20 |
| Kun | Küngoldingen | 20 |
| Rue | Rüsterwald | 20 |
| Sca | Scaréuro | 20 |
| Som | Sommerwies | 21 |
| Uet | Ütliberg | 20 |
| R05 | Tercer (Oregon, USA) | 20 |
| R12 | Darrington (Washington, USA) | 20 |
| R32 | Mount Benson, Vancouver Island (British Columbia, Canada) | 19 |
| R33 | Lewis & Clark, National Forest (Montana, USA) | 20 |
| R38 | Tercer (British Columbia, Canada) | 18 |
| R39 | Alger Creek (British Columbia, Canada) | 20 |

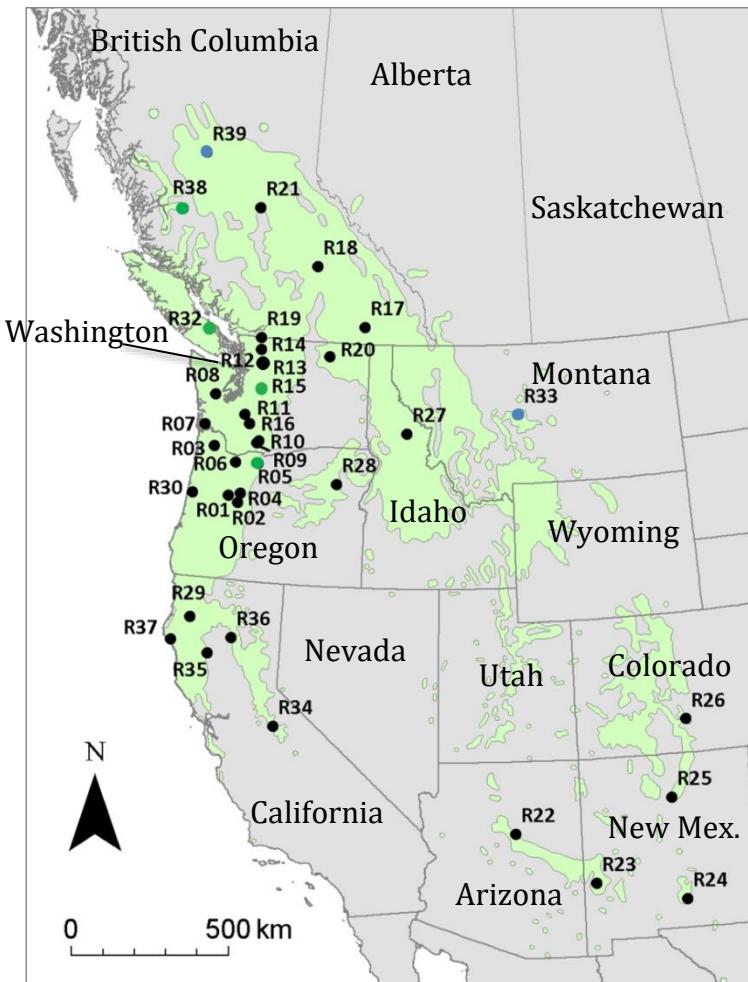


Figure 1 – Location of the six reference (native) populations (R05, R12, R21, R33, R38 and R39). Populations of the coastal and interior variety are depicted with green and blue dots, respectively.

Subsequently, the population genetic structure was examined. First, a Bayesian cluster analysis using the software STRUCTURE (Pritchard et al. 2000, Falush et al. 2003) was performed in order (i) to subdivide the sample set into a predefined number of K clusters based on the genetic data and (ii) to assign individuals a membership proportion to each of the derived clusters. For all STRUCTURE analyses the same parameter options as in Hintsteiner et al. (2018) were used (admixture model; correlated allele frequencies). For averaging of runs and graphical representation the CLUMPAK software was used (Kopelman et al. 2015) which also implements the CLUMPP method to account for cluster switching and averaging among runs (Jakobsson & Rosenberg 2007). Second, assignment tests were performed using the software GeneClass2 (Piry et al. 2004). The aim was to assign Swiss Douglas firs to one of the six native populations both at the individual and at the stand level. To assess the performance of the method, self-assignment tests were performed following the methods and options described in Hintsteiner et al. (2018) (see also citations therein). Third, genetic differentiation was calculated as an additional approach to investigate the genetic relationships among the populations. For this purpose, pairwise fixation indices (F_{ST} -values) were computed and visualized by means of a Principal Coordinate Analysis using the software GenAIEx v.6.503 (Peakall & Smouse



2006, 2012). Additionally, a neighbour-joining tree was constructed based on the pairwise F_{ST} -matrix using Phylip (Felsenstein 1993) and plotted by using FigTree v.1.4.3 (Rambaut et al. 2004). Fourth, diversity measures were calculated using GenAIEx and ADZE (Szpiech et al. 2008). The latter program was used to compute the allelic richness with rarefaction which is less prone to bias caused by differences in sample size.

3. Results and Discussion

3.1. Genetic structure and assignment analysis

For the whole sample set (Swiss and native Douglas fir) the STRUCTURE analysis identified meaningful differentiation for up to seven clusters. In cases with inconsistent clustering pattern across runs, the clustering solution with the highest probability was selected. For two assumed clusters ($K = 2$), the two varieties were distinguished. The Swiss population Grm (St. Germanerflüe) clustered together with the native interior variety whereas all other populations were assigned to the cluster of the coastal variety (Figure 2). For $K = 3$, two further clusters were found within the coastal variety. Individuals of the native population R32 (Vancouver Island, Canada) displayed a high membership proportion to the first cluster, coloured with dark green in Figure 2. The northernmost native population R38 (Alger Creek, British Columbia, Canada) was assigned to the second cluster, coloured with bright green in Figure 2. The two native populations from the Cascades in Oregon (R05) and Washington (R12) (USA) demonstrated a mixed membership to these both clusters. For $K = 4$, a further subdivision of the interior Douglas fir was observed between a northern cluster including the native population R39 (Tercer, British Columbia, Canada) and a southern cluster including population R33 Lewis & Clark National Forest (Montana, USA). The Swiss population Grm showed high affinity to the southern cluster of the interior variety (including R33). For $K = 5$, a new cluster was formed within the coastal variety, which included the populations R05, R12 and Sca (Scaréuro). The other Swiss populations of the coastal variety further showed affinity to this cluster including the native provenance R32. For $K = 6$, the Swiss population Sca was mainly assigned to a new cluster whereas all other Swiss populations were intermixed between this new cluster and the cluster dominated by R32 (Vancouver Island, Canada). A subsequent STRUCTURE analysis including only the Swiss populations (Figure 3) confirmed the aforementioned clustering pattern.

To further investigate the origin of the tested Swiss Douglas fir populations, assignment tests were performed at different hierarchical levels. To define the different hierarchical levels, a separate STRUCTURE analysis was performed which included only the native Douglas fir populations (Figure 3). At $K = 2$, the varieties were resolved. The first subdivision in the coastal variety was observed at $K = 3$ and for the interior variety at $K = 4$. At $K = 5$, each population formed a separate cluster with the exception of R05 and R12 which clustered together. At $K = 6$, all six provenances clustered separately. Again, assignment tests were performed for different hierarchical levels (K -values), which showed similar results compared to the analysis including all populations.

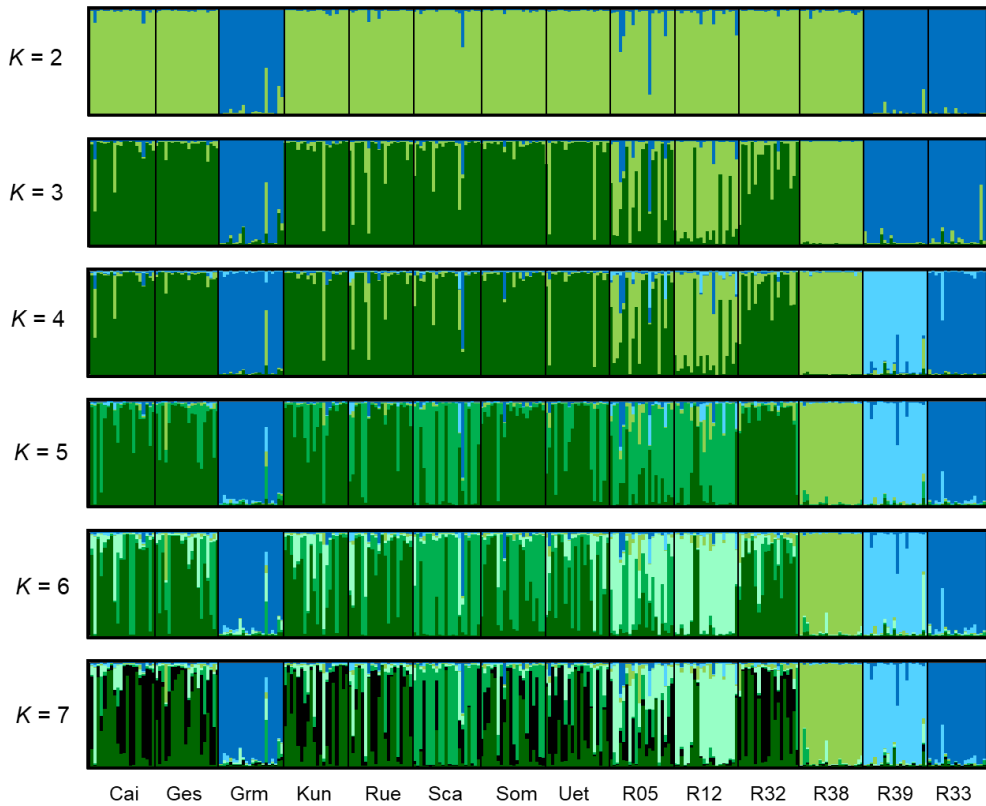


Figure 2 – Results of the STRUCTURE analysis for the Swiss (left) and native Douglas-fir populations (right). Each derived cluster is displayed with a different colour, each individual is represented by a bar, showing the proportions of memberships to the different clusters.

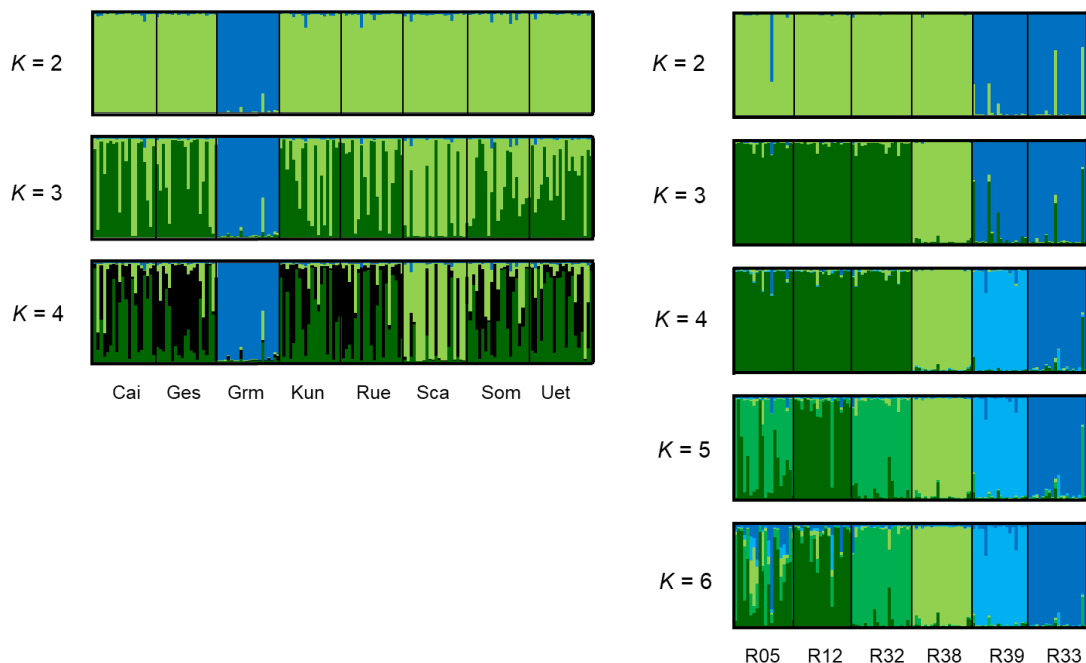


Figure 3 – Results of separate STRUCTURE analyses for the Swiss (left) and the native (right) populations of Douglas fir.



The cluster configurations resulting from the STRUCTURE analysis for native populations only (Figure 3) were used to define the reference (native) populations for the genetic assignment analysis performed with GeneClass2. For example, in case of K = 2, individuals from populations R05, R12, R32 and R38 were pooled into reference population 1, corresponding to the coastal variety, whereas populations R33 and R39 were pooled to constitute population 2 (corresponding to the interior variety; see Table 2). The higher the genetic differentiation among reference populations is for a specific cluster configuration, the higher is the efficiency and the accuracy of assignment. To assess the method performance, self-assignment tests were carried out and the parameters quality index (average assignment score of each individual to its own population) and percentage of correctly assigned individuals were computed. As expected, for K = 2 the method performance was the highest as the genetic differentiation between the varieties is relatively high. When subdividing the varieties into lower order clusters, the accuracy is reduced as within-variety clusters are genetically less differentiated. The performance of assignment by means of GeneClass2 according to cluster configuration is summarized in Table 2.

Table 2 – Performance of assignment tests assessed by means of a self-assignment test in GeneClass2

| Native cluster configuration | Clusters of native populations (reference populations in GeneClass2) | | | | | | Self-assignment performance | |
|------------------------------|---|-------------|-------------|-----|-----|-----|-----------------------------|------------------|
| | 1 | 2 | 3 | 4 | 5 | 6 | Quality index (%) | % corr. assigned |
| K = 2 | R05, R12, R32, R38 | R33, R39 | - | - | - | - | 95,7 | 98,3 |
| K = 3 | R05, R12, R32 | R38 | R33, R39 | - | - | - | 88,0 | 91,5 |
| K = 4 | R05, R12, R32 | R38 | R33 | R39 | - | - | 87,0 | 90,6 |
| K = 5 | R05, R32 | R12 | R38 | R33 | R39 | - | 78,3 | 88,9 |
| K = 6 | R05 | R12 | R32 | R38 | R33 | R39 | 72,1 | 83,8 |

Subsequently, group assignments were performed for the different cluster configurations described above. For K = 2, population Grm was assigned to the cluster corresponding to the interior variety, whereas all other stands were classified as coastal Douglas fir. For K = 3, population Grm was assigned to the reference population R33 (Montana, USA) whereas all other stands are still identified as coastal. For K = 4, an additional cluster appears which includes R38 (coastal from the northernmost part of the distribution in British Columbia, Canada), but no Swiss population is assigned to this cluster (Table 4). For K = 5, a new cluster appeared within the coastal variety (R12, Cascades Washington, USA), but no Swiss stand was assigned to this provenance with all other assignments being the same as for K = 4. Finally, for K = 6 there was some differentiation within the



costal variety: Sca was assigned to R05 (Oregon, USA), Grm remained assigned to R33 (Montana, USA) while all other stands showed affinity to R32 (Southern Vancouver Island, British Columbia, Canada).

The fact that GeneClass2 assigned scores of 100% in all cases should not be overinterpreted as these scores do not reflect probabilities or proportions of membership as is the case in STRUCTURE. Furthermore, their calculation ignores the probability of a certain genotype (Fewster 2017). Moreover, given a decreasing method accuracy, the uncertainty of the assignment grows with increasing K-values (Table 2). Therefore, the fact that Sca, for instance, was assigned to R05 is seen rather as an indication of a different genetic identity and probably a more southern origin than the remaining Swiss populations and should not be interpreted as assignment to R05 by a membership or probability of 100%. The assignment scores at the individual level are presented along with the STRUCTURE results per tree individual in Appendix 3.

Table 3 – Scores of group assignments performed for cluster configurations K = 2, K = 3 and K = 4. The populations used as reference are denoted as column headers under each cluster configuration (Swiss population in rows)

| | K = 2 | | K = 3 | | | K = 4 | | | |
|-----|--------------------------|-------------|---------------------|-----|-------------|---------------------|-----|-----|-----|
| | R05, R12, R32, R38 | R33, R39 | R05, R12, R32 | R38 | R33, R39 | R05, R12, R32 | R38 | R39 | R33 |
| Cai | 100 | 0 | 100 | 0 | 0 | 100 | 0 | 0 | 0 |
| Ges | 100 | 0 | 100 | 0 | 0 | 100 | 0 | 0 | 0 |
| Grm | 0 | 100 | 0 | 0 | 100 | 0 | 0 | 0 | 100 |
| Kun | 100 | 0 | 100 | 0 | 0 | 100 | 0 | 0 | 0 |
| Rue | 100 | 0 | 100 | 0 | 0 | 100 | 0 | 0 | 0 |
| Sca | 100 | 0 | 100 | 0 | 0 | 100 | 0 | 0 | 0 |
| Som | 100 | 0 | 100 | 0 | 0 | 100 | 0 | 0 | 0 |
| Uet | 100 | 0 | 100 | 0 | 0 | 100 | 0 | 0 | 0 |

Table 4 – Scores of group assignments performed for cluster configurations K = 5 and K = 6. The populations used as reference are denoted as column headers under each cluster configuration (Swiss population in rows)

| | K = 5 | | | | | K = 6 | | | | | |
|-----|-------------|-----|-----|-----|-----|-------|-----|-----|-----|-----|-----|
| | R05, R32 | R12 | R38 | R39 | R33 | R05 | R12 | R32 | R38 | R39 | R33 |
| Cai | 100 | 0 | 0 | 0 | 0 | 0 | 0 | 100 | 0 | 0 | 0 |
| Ges | 100 | 0 | 0 | 0 | 0 | 0 | 0 | 100 | 0 | 0 | 0 |
| Grm | 0 | 0 | 0 | 0 | 100 | 0 | 0 | 0 | 0 | 0 | 100 |
| Kun | 100 | 0 | 0 | 0 | 0 | 0 | 0 | 100 | 0 | 0 | 0 |
| Rue | 100 | 0 | 0 | 0 | 0 | 0 | 0 | 100 | 0 | 0 | 0 |
| Sca | 100 | 0 | 0 | 0 | 0 | 100 | 0 | 0 | 0 | 0 | 0 |
| Som | 100 | 0 | 0 | 0 | 0 | 0 | 0 | 100 | 0 | 0 | 0 |
| Uet | 100 | 0 | 0 | 0 | 0 | 0 | 0 | 100 | 0 | 0 | 0 |



3.2. Genetic relationships and differentiation among populations

The calculation of pairwise fixation indices (F_{ST}) as a measure of genetic differentiation enables an additional evaluation of the genetic relationships among the populations. The matrix of pairwise F_{ST} values revealed that Grm is the most differentiated from other Swiss populations with F_{ST} -values of at least 0,045. In addition, although the STRUCTURE analysis suggested an affinity to provenance R33 from Montana, USA (interior variety), the genetic differentiation between Grm and R33 is rather high (Table 5). In other words, F_{ST} -calculation confirms that Grm is genetically different from all other Swiss populations, but does not provide further evidence of a narrow relationship with provenance R33. On the other hand, ordination based on a Principal Coordinate Analysis (PCoA) further supports a placement within the interior variety (Figure 4). Therefore, the genetic analysis supports an affinity to the interior variety, but do not allow a more exact assignment to a specific origin. Grm is genetically closer to R33 than to R39, but it is still genetically distinct from R33.

Another Swiss stand, Sca, is somewhat differentiated to other Swiss stands. The pairwise F_{ST} -indices between this stand and other Swiss stands varies between 0,024 and 0,036. When leaving Grm and Sca out, all other Swiss stands are genetically relatively similar with F_{ST} -values not exceeding 0,022 (Table 5). In comparison with the native provenances, Sca is somewhat closer to R05 which is the southernmost native population. In terms of pairwise F_{ST} , R05 and R32 are, on average, closer to the Swiss populations than to R12 (Table 5, Figure 5). A neighbour-joining tree constructed based upon the pairwise F_{ST} s further confirms the patterns of genetic differentiation discussed above (Figure 6).

Table 5 – Matrix of pairwise F_{ST} -values as measures of genetic differentiation with conditional formatting (increasingly dark red with increasing F_{ST} -value)

| | Cai | Ges | Grm | Kun | Rue | Sca | Som | Uet | R05 | R12 | R32 | R33 | R38 | R39 |
|-----|-------|-------|-------|-------|-------|-------|-------|-------|-------|-------|-------|-------|-------|-------|
| Cai | 0,000 | | | | | | | | | | | | | |
| Ges | 0,018 | 0,000 | | | | | | | | | | | | |
| Grm | 0,046 | 0,045 | 0,000 | | | | | | | | | | | |
| Kun | 0,018 | 0,020 | 0,045 | 0,000 | | | | | | | | | | |
| Rue | 0,016 | 0,020 | 0,045 | 0,019 | 0,000 | | | | | | | | | |
| Sca | 0,027 | 0,030 | 0,050 | 0,030 | 0,026 | 0,000 | | | | | | | | |
| Som | 0,016 | 0,022 | 0,050 | 0,020 | 0,019 | 0,027 | 0,000 | | | | | | | |
| Uet | 0,014 | 0,017 | 0,044 | 0,016 | 0,016 | 0,024 | 0,017 | 0,000 | | | | | | |
| R05 | 0,022 | 0,024 | 0,046 | 0,023 | 0,024 | 0,031 | 0,026 | 0,021 | 0,000 | | | | | |
| R12 | 0,033 | 0,030 | 0,049 | 0,030 | 0,029 | 0,036 | 0,038 | 0,028 | 0,030 | 0,000 | | | | |
| R32 | 0,021 | 0,025 | 0,055 | 0,022 | 0,021 | 0,036 | 0,024 | 0,023 | 0,030 | 0,035 | 0,000 | | | |
| R33 | 0,059 | 0,058 | 0,063 | 0,063 | 0,058 | 0,067 | 0,066 | 0,059 | 0,061 | 0,065 | 0,065 | 0,000 | | |
| R38 | 0,044 | 0,046 | 0,072 | 0,047 | 0,038 | 0,052 | 0,044 | 0,045 | 0,047 | 0,052 | 0,040 | 0,082 | 0,000 | |
| R39 | 0,066 | 0,064 | 0,069 | 0,071 | 0,063 | 0,075 | 0,074 | 0,065 | 0,058 | 0,061 | 0,070 | 0,074 | 0,082 | 0,000 |

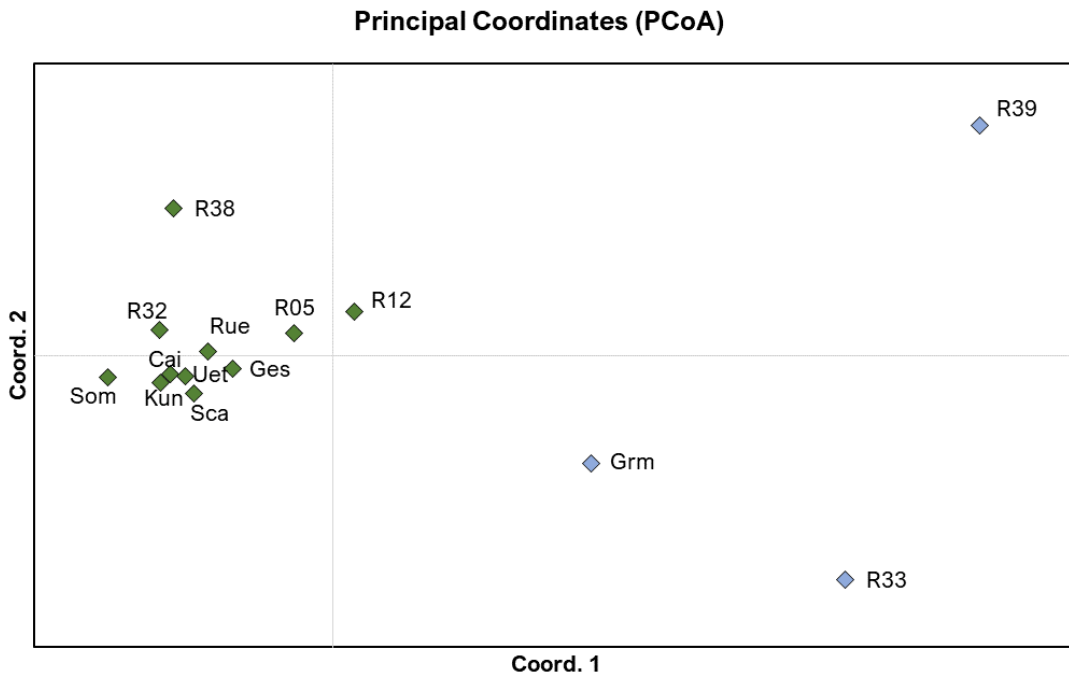


Figure 4 – Plot of the first two synthetic variables (coordinates) of a principal coordinate analysis (PCoA) based on pairwise F_{ST} s among all populations (Swiss and native). Different colours are used to depict the two varieties (green for coastal, blue for interior) as these were identified by the STRUCTURE analysis.

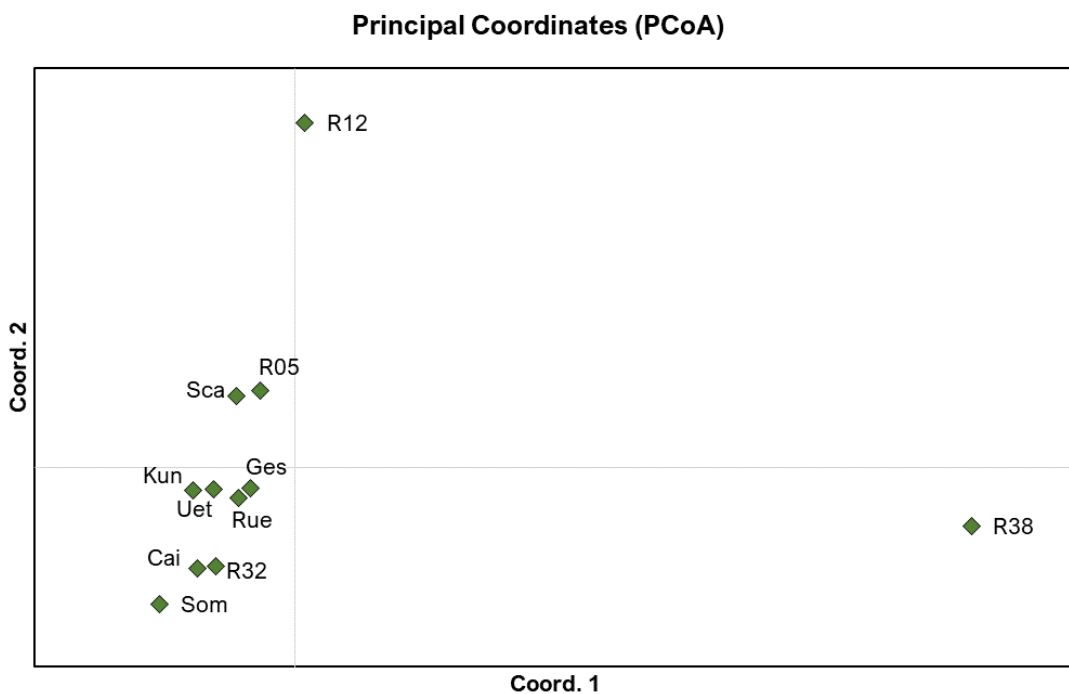


Figure 5 – Plot of the first two synthetic variables (coordinates) of a principal coordinate analysis (PCoA) based on pairwise F_{ST} s among all populations identified genetically as coastal Douglas fir.

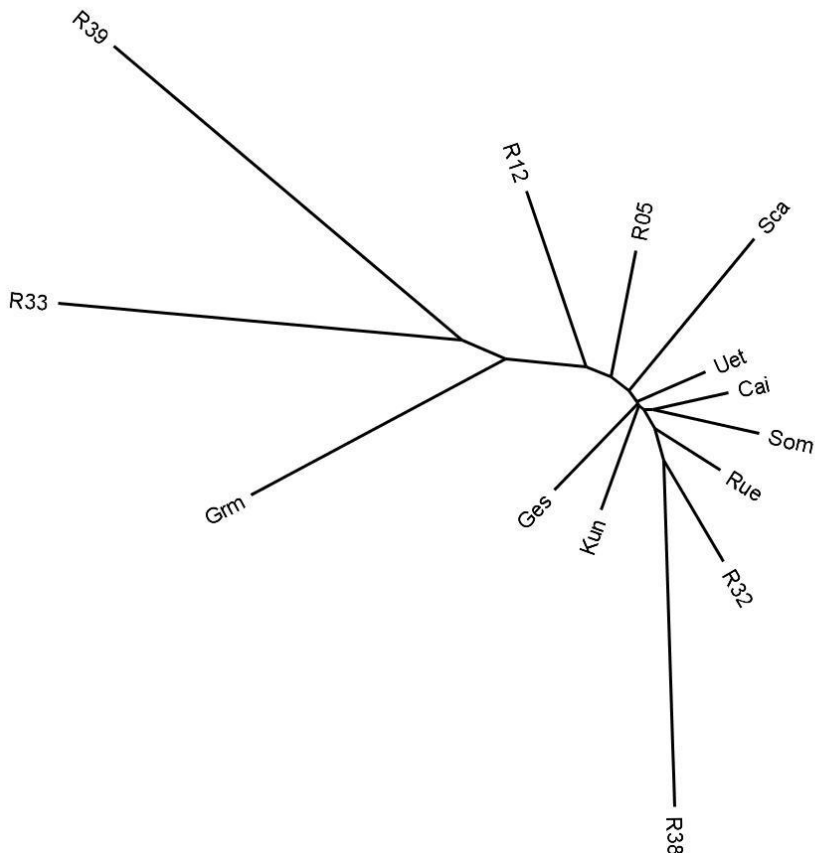


Figure 6 – Neighbour-joining tree based on pairwise F_{ST} -values among all populations included in the study

3.3. Genetic diversity

Comparatively high levels of genetic diversity were found for all Swiss populations. For those populations identified as coastal Douglas fir, the genetic diversity is high compared to the native range. Assuming an origin from the core area of the range between southern British Columbia in Canada and northern Oregon in the USA (which is suggested by both STRUCTURE and GeneClass2 analyses), values are comparable to the respective native populations R05, R12 and R32 or even higher (Table 6). Somewhat lower values could be observed for population Sca, whose origin might also differ from other Swiss stands assigned to the coastal variety. Even in this case, the diversity measures are within the standard error of all native coastal samples (R05, R12, R32 and R38, see Table 6 and Figure 7). The Swiss population Grm, which was assigned to the interior variety, also showed higher genetic diversity (although not significantly) than both native origins belonging to this variety (R33 and R39) and lower diversity than all Swiss stands assigned to the coastal variety. In the native range, genetic diversity is highest in the core of the range and reduced towards the periphery (Hintsteiner et al. 2018, Neophytou et al. 2020). This is reflected in the values found for the peripheral native stands R38 and R39. The high values found here are also in line with the hypothesis of origins that are rather from the centre than from the edge of the range.



Table 6 – Average and standard error of genetic diversity measures. N_a = mean number of alleles per locus, N_e = effective number of alleles (highest when all alleles are equally frequent), R_{18} = allelic richness after rarefaction in order to account for sample size differences (rarefaction size = 18 genes or 9 individuals = the minimum number of genotyped loci for an individual), H_o = observed heterozygosity, H_e = expected heterozygosity under Hardy-Weinberg Equilibrium, F = fixation index.

| Pop | N_a | N_e | R_{18} | H_o | H_e | F |
|------------|--------------|--------------|--------------|---------------|---------------|---------------|
| Cai | 16,23 ± 1,29 | 10,67 ± 1,06 | 10,85 ± 0,66 | 0,717 ± 0,046 | 0,885 ± 0,019 | 0,192 ± 0,048 |
| Ges | 15,15 ± 1,31 | 10,64 ± 1,06 | 10,55 ± 0,73 | 0,706 ± 0,042 | 0,887 ± 0,018 | 0,204 ± 0,045 |
| Grm | 13,62 ± 1,55 | 9,44 ± 1,33 | 9,82 ± 0,78 | 0,529 ± 0,072 | 0,860 ± 0,022 | 0,393 ± 0,077 |
| Kun | 15,92 ± 1,51 | 10,53 ± 1,21 | 10,54 ± 0,77 | 0,706 ± 0,051 | 0,879 ± 0,025 | 0,204 ± 0,051 |
| Rue | 15,31 ± 1,16 | 10,81 ± 1,08 | 10,87 ± 0,65 | 0,682 ± 0,053 | 0,892 ± 0,014 | 0,237 ± 0,057 |
| Sca | 13,54 ± 1,07 | 8,26 ± 0,85 | 9,37 ± 0,61 | 0,705 ± 0,057 | 0,860 ± 0,016 | 0,184 ± 0,064 |
| Som | 15,69 ± 1,18 | 9,31 ± 0,96 | 10,20 ± 0,63 | 0,717 ± 0,047 | 0,868 ± 0,022 | 0,173 ± 0,049 |
| Uet | 15,92 ± 1,25 | 10,64 ± 1,15 | 10,63 ± 0,64 | 0,720 ± 0,043 | 0,890 ± 0,015 | 0,194 ± 0,043 |
| R05 | 15,77 ± 1,18 | 10,28 ± 1,11 | 10,68 ± 0,69 | 0,697 ± 0,059 | 0,878 ± 0,021 | 0,210 ± 0,063 |
| R12 | 13,85 ± 1,04 | 8,62 ± 0,84 | 9,71 ± 0,59 | 0,682 ± 0,041 | 0,867 ± 0,015 | 0,217 ± 0,040 |
| R32 | 13,62 ± 1,01 | 8,42 ± 0,79 | 9,62 ± 0,58 | 0,682 ± 0,037 | 0,863 ± 0,019 | 0,210 ± 0,039 |
| R33 | 12,92 ± 1,69 | 8,94 ± 1,44 | 9,62 ± 0,95 | 0,455 ± 0,079 | 0,829 ± 0,037 | 0,469 ± 0,082 |
| R38 | 10,62 ± 0,85 | 5,89 ± 0,55 | 7,71 ± 0,47 | 0,623 ± 0,075 | 0,807 ± 0,023 | 0,228 ± 0,089 |
| R39 | 10,38 ± 0,85 | 6,14 ± 0,72 | 7,86 ± 0,53 | 0,555 ± 0,065 | 0,799 ± 0,030 | 0,298 ± 0,080 |

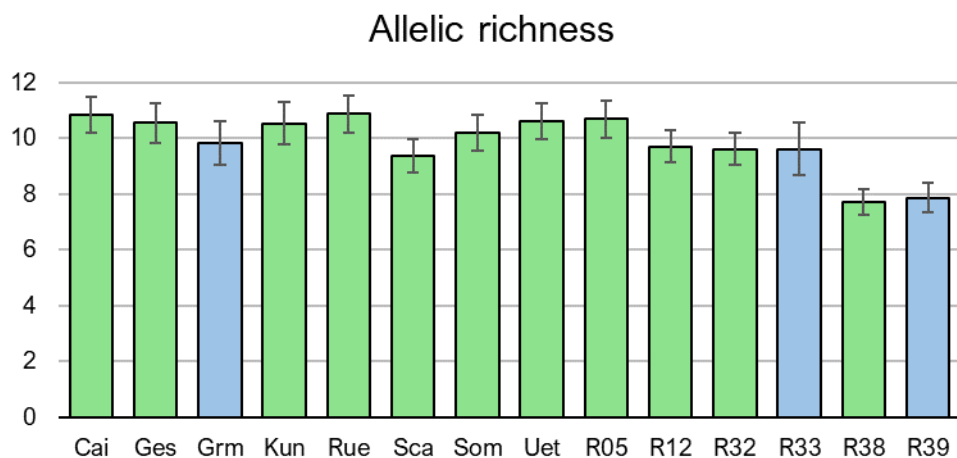


Figure 7 – Bar plot with mean and standard error of allelic richness with a rarefaction size of 18 genes or 9 individuals (R_{18}). Green coloured bars represent populations assigned to the coastal variety in this study, blue is used for the interior variety.



4. Conclusions

In summary, different genetic approaches suggest three genetic clusters among the studied Douglas fir populations from Switzerland:

- i) One cluster including populations Les Caïrfatas (Cai), Bois des Gésiaux (Ges), Küngoldingen (Kun), Rüsterwald (Rue), Sommerwies (Som) and Ütlberg (Uet): This group was genetically homogenous. Genetic differentiation among these six population was very low. An origin of these populations from the central part of the native distribution area of the coastal variety is suggested by the analysis. The close affinity to provenance R32 (Mount Benson, Vancouver Island, British Columbia, Canada) suggested by the assignment test for K = 6 should be treated with caution. Given the low differentiation in the core of the native range, the accuracy of assignment at the within-region level (i.e. assignment to either R05, R12 or R32) is reduced. All six populations of this group showed high genetic diversity which is characteristic for the core of the range in the case of the coastal variety of Douglas fir.
- ii) One cluster represented by population St. Germanerflüe (Grm): This population is significantly distinct from the remaining Swiss populations. It showed affinity to the interior variety. However, it exhibited relatively high genetic differentiation from the two native reference interior populations (R33, R39) used for the assignment test. This suggests an origin from a region of the interior variety range not included in this analysis. Compared to the native populations of the interior variety, it also shows a relatively high genetic diversity which is characteristic for the northern part of the native range where the most extensive forests occur. A diversity maximum has been observed at the region including southern British Columbia, Canada, northeastern Washington and Northern Idaho, USA, not far from the border between Canada and the USA. Inclusion of more provenances from this region would be necessary to refine the origin for population Grm.
- iii) One cluster represented by population Scaréuro (Sca): While this population is genetically assigned to the coastal variety, it exhibits a distinct gene pool compared to the other Swiss populations and a somewhat lower genetic diversity. No conclusive statement can be done about the origin of this population within the coastal variety. For K = 6, it was assigned to R05 (Tercer, Oregon, USA) (Table 4) and PCoA shows also an affinity to R05 (Figure 5), which may suggest a more southern origin. On the other hand, pairwise F_{ST} between Sca and R05 is rather high (Table 5).

Finally, it should be stressed that assignment of an introduced forest stand to an origin in the native range has its limits and may not be always possible or meaningful. First, more than one provenance could have been used for establishing a certain Douglas fir stand in Europe. Second, many stands belong to the second or higher order generations Douglas fir in Europe. In this case, the mother trees may have a different origin than the pollen



donors and a new gene pool may arise from this intermixing. Third, genetic drift may lead to strong shifts in the gene pool of a newly introduced stands. This is particularly the case when seeds used for plantation originate from a limited number of mother trees whose alleles will be overrepresented in the new generation. This can also inflate the genetic differentiation of a stand from others. These effects have to be kept in mind when interpreting genetic analyses aiming to identify the origin of a non-native forest tree.

In conclusion, all applied statistical methods agree on the subdivision of the Swiss Douglas fir into three clusters, with one of them showing an affinity to the interior variety (*P. menziesii* var. *glauca*). An assignment to native provenances at a finer spatial scale is rather uncertain or may even be impossible for the reasons discussed above. Concerning the genetic variation within populations, it can be said that all stands, perhaps with the exception of Sca, are highly diverse compared to the native origins.

5. Acknowledgements

Tissue preparation, DNA-extraction and quantification, PCR, agarose gel electrophoresis and documentation, as well as capillary electrophoresis were carried out by Jakob Ernst and Renata Milčevičová (Institute of Silviculture, BOKU). Their highly qualitative work is greatly acknowledged. I also express my gratitude to Simon Jansen (Institute of Silviculture, BOKU) for many hours of work on allele scoring using fragment length analysis, as well as for critically reviewing this report. DNA extracted in the frame of the project CC-Douglas (van Loo et al. 2015, Hintsteiner et al. 2018, Neophytou et al. 2020) was used to genotype the native populations. The opportunity to use these samples for the purposes of this work is kindly acknowledged.

6. Literature

Falush, D., Stephens, M., & Pritchard, J. K. (2003) Inference of population structure using multilocus genotype data: linked loci and correlated allele frequencies. *Genetics* 164:1567-1587

Felsenstein, J. (1993). PHYLIP (phylogeny inference package), version 3.5 c. Program distributed by the author, website: <https://evolution.genetics.washington.edu/phylip/getme-new1.html>

Fewster, R. M. (2017). Some applications of genetics in statistical ecology. *AStA Advances in Statistical Analysis*, 101:349-379.

Hintsteiner, W. J., van Loo, M., Neophytou, C., Schueler, S., & Hasenauer, H. (2018) The geographic origin of old Douglas-fir stands growing in Central Europe. *European Journal of Forest Research* 137:447-461

Jakobsson, M., & Rosenberg, N. A. (2007). CLUMPP: a cluster matching and permutation program for dealing with label switching and multimodality in analysis of population structure. *Bioinformatics*, 23:1801-1806.

Kopelman, N.M., Mayzel, J., Jakobsson, M., Rosenberg, N.A. (2015) CLUMPAK: a program for identifying clustering modes and packaging population structure inferences across KMolecular Ecology Resources 15:1179-1191

Matschiner, M., & Salzburger, W. (2009). TANDEM: integrating automated allele binning into genetics and genomics workflows. Bioinformatics, 25:1982-1983

Neophytou, C., van Loo, M., Hasenauer, H. (2019) Genetic diversity in introduced Douglas-fir and its natural regeneration in Europe. Forestry 93:535-544

Peakall, R.O., Smouse, P.E. (2006) GENALEX 6: genetic analysis in Excel. Population genetic software for teaching and research. Molecular Ecology Resources 6:288-295

Peakall R, Smouse PE (2012) GenAIEx 6.5: genetic analysis in Excel. Population genetic software for teaching and research - an update. Bioinformatics 28:2537-2539

Piry S, Alapetite A, Cornuet JM, Paetkau D, Baudouin L, Estoup A (2004) GeneClass2: a software for genetic assignment and first generation migrant detection. Journal of Heredity 95:536-539

Pritchard, J. K., Stephens, M., & Donnelly, P. (2000) Inference of population structure using multilocus genotype data. Genetics 155:945-959

Rambaut, A. (2017). FigTree-version 1.4. 3, a graphical viewer of phylogenetic trees. Computer program distributed by the author, website: <http://tree.bio.ed.ac.uk/software/figtree>.

Slavov, G. T., Howe, G. T., Yakovlev, I., Edwards, K. J., Krutovskii, K. V., Tuskan, G. A., ... & Adams, W. T. (2004) Highly variable SSR markers in Douglas-fir: Mendelian inheritance and map locations. Theoretical and Applied Genetics 108:873-880

Szpiech, Z.A., Jakobsson, M. and Rosenberg, N.A. (2008) ADZE: a rarefaction approach for counting alleles private to combinations of populations. Bioinformatics 24, 2498-2504.

van Loo, M., Hintsteiner, W., Pötzelsberger, E., Schüler, S., & Hasenauer, H. (2015). Intervarietal and intravarietal genetic structure in Douglas-fir: nuclear SSRs bring novel insights into past population demographic processes, phylogeography, and intervarietal hybridization. Ecology and Evolution 5:1802-1817.



Appendix 1 – DNA-extraction and quantification

Tissue samples (cambium) were shipped to the molecular genetics laboratory of the Institute of Silviculture in September 2021. Subsequently, DNA extraction was carried out using a commercial kit (Qiagen DNEasy plant mini kit). Isolation success was tested by a 1% agarose gel electrophoresis and DNA quantity and quality were measured using a spectrophotometer (NanoPhotometer®, Firma: Implen). The extracted DNA is stored at the molecular genetic laboratory of the Institute of Silviculture (BOKU).

The type and weight of the sample tissue used for extraction, the concentration of the extracted DNA in ng/µl, as well as the “260/280 ratio” (OD 260/280; i.e. the ratio of absorbance at a wave length (λ) equal to 260 nm divided by the absorbance at $\lambda = 280$ nm) are presented in the following table. The concentrations are generally high and adequate for PCR. The DNA quality is also generally good, as the 260/280 ratio is between 1,7 and 1,8 in most cases. It is expected that the extracted DNA is suitable for PCR.

DNA extraction had to be repeated for three samples due to low DNA concentrations.

Photographic documentation of the agarose gels carried out to control DNA extraction success. Please note that the “running number” of the sample from the table is used for sample identification on the gel.

Table A1.1 – Tissue weight, DNA concentration and ratio of absorbance at a wave length (λ) equal to 260 nm divided by the absorbance at $\lambda = 280$ nm

| Running No. | Tree_ID | Tissue | Weight | Concentration ng/µl | OD 260/280 |
|--------------------|----------------|---------------|---------------|--------------------------------|-------------------|
| 1 | CaiP01 | Cambium | 20,1 | 22,6 | 1,760 |
| 2 | CaiP02 | Cambium | 20 | 18,5 | 1,762 |
| 3 | CaiP03 | Cambium | 20,4 | 13,5 | 1,688 |
| 4 | CaiP04 | Cambium | 20,4 | 9 | 1,636 |
| 5 | CaiP05 | Cambium | 20 | 15,5 | 1,722 |
| 6 | CaiP06 | Cambium | 20,5 | 47,5 | 1,727 |
| 7 | CaiP07 | Cambium | 20 | 15 | 1,765 |
| 8 | CaiP08 | Cambium | 20 | 16,5 | 1,650 |
| 9 | CaiP09 | Cambium | 20,2 | 16 | 1,684 |
| 10 | CaiP10 | Cambium | 20,2 | 16,5 | 1,833 |
| 11 | CaiP11 | Cambium | 20,1 | 37,5 | 1,786 |
| 12 | CaiP12 | Cambium | 20,4 | 43,5 | 1,776 |
| 13 | CaiP13 | Cambium | 20,1 | 27 | 1,862 |
| 14 | CaiP14 | Cambium | 20,5 | 34,5 | 1,725 |
| 15 | CaiP15 | Cambium | 20,1 | 29 | 1,758 |
| 16 | CaiP16 | Cambium | 20,3 | 165 | 1,579 |
| 17 | CaiP17 | Cambium | 20,2 | 36,5 | 1,698 |
| 18 | CaiP18 | Cambium | 19,9 | 39 | 1,814 |
| 19 | CaiP19 | Cambium | 20,4 | 64,5 | 1,697 |
| 20 | CaiP20 | Cambium | 20,5 | 50,5 | 1,712 |
| 21 | GesP01 | Cambium | 20 | 29,5 | 1,844 |
| 22 | GesP02 | Cambium | 20 | 33,5 | 1,763 |



| Running No. | Tree_ID | Tissue | Weight | Concentration ng/µl | OD 260/280 |
|-------------|---------|---------|--------|------------------------|------------|
| 23 | GesP03 | Cambium | 20,1 | 31,5 | 1,800 |
| 24 | GesP04 | Cambium | 20,1 | 27 | 1,742 |
| 25 | GesP05 | Cambium | 20,3 | 31 | 1,722 |
| 26 | GesP06 | Cambium | 20 | 39 | 1,786 |
| 27 | GesP07 | Cambium | 20,1 | 48 | 1,680 |
| 28 | GesP08 | Cambium | 20,4 | 38 | 1,689 |
| 29 | GesP09 | Cambium | 20,2 | 32 | 1,684 |
| 30 | GesP10 | Cambium | 20,4 | 17 | 1,700 |
| 31 | GesP11 | Cambium | 20,3 | 36,5 | 1,553 |
| 32 | GesP12 | Cambium | 20 | 32 | 1,684 |
| 33 | GesP13 | Cambium | 19,9 | 62 | 1,632 |
| 34 | GesP14 | Cambium | 20,3 | 28 | 1,750 |
| 35 | GesP15 | Cambium | 20,4 | 34 | 1,700 |
| 36 | GesP16 | Cambium | 20,5 | 29,5 | 1,735 |
| 37 | GesP17 | Cambium | 20,2 | 30 | 1,765 |
| 38 | GesP18 | Cambium | 20,3 | 47 | 1,741 |
| 39 | GesP19 | Cambium | 20,1 | 29 | 1,758 |
| 40 | GesP20 | Cambium | 20,3 | 46,5 | 1,788 |
| 41 | GrmP01 | Cambium | 19,9 | 121 | 1,681 |
| 42 | GrmP02 | Cambium | 20,4 | 33,5 | 1,763 |
| 43 | GrmP03 | Cambium | 20 | 38,5 | 1,750 |
| 44 | GrmP04 | Cambium | 20,3 | 28 | 1,750 |
| 45 | GrmP05 | Cambium | 20,5 | 26,5 | 1,767 |
| 46 | GrmP06 | Cambium | 20,2 | 48 | 1,811 |
| 47 | GrmP07 | Cambium | 20,4 | 12 | 1,714 |
| 48 | GrmP08 | Cambium | 20,5 | 24,5 | 1,750 |
| 49 | GrmP09 | Cambium | 19,9 | 40 | 1,778 |
| 50 | GrmP10 | Cambium | 20,2 | 17,5 | 1,750 |
| 51 | GrmP11 | Cambium | 20,2 | 33,5 | 1,718 |
| 52 | GrmP12 | Cambium | 20,3 | 26,5 | 1,710 |
| 53 | GrmP13 | Cambium | 20,3 | 24,5 | 1,690 |
| 54 | GrmP14 | Cambium | 20 | 14,5 | 1,706 |
| 55 | GrmP15 | Cambium | 20,1 | 107 | 1,638 |
| 56 | GrmP16 | Cambium | 20,5 | 32,5 | 1,757 |
| 57 | GrmP17 | Cambium | 20 | 41,5 | 1,729 |
| 58 | GrmP18 | Cambium | 20,2 | 12,5 | 1,875 |
| 59 | GrmP19 | Cambium | 20,3 | 16 | 1,778 |
| 60 | GrmP20 | Cambium | 20,1 | 4 | 1,750 |
| 61 | KunP01 | Cambium | 20,3 | 17,5 | 1,842 |
| 62 | KunP02 | Cambium | 20,2 | 21 | 1,826 |
| 63 | KunP03 | Cambium | 20,2 | 19 | 1,727 |
| 64 | KunP04 | Cambium | 20,4 | 24 | 1,714 |
| 65 | KunP05 | Cambium | 20,5 | 35,5 | 1,651 |
| 66 | KunP06 | Cambium | 20,4 | 29 | 1,611 |
| 67 | KunP07 | Cambium | 20,4 | 45,5 | 1,625 |
| 68 | KunP08 | Cambium | 20,4 | 27,5 | 1,774 |
| 69 | KunP09 | Cambium | 20,4 | 30 | 1,765 |



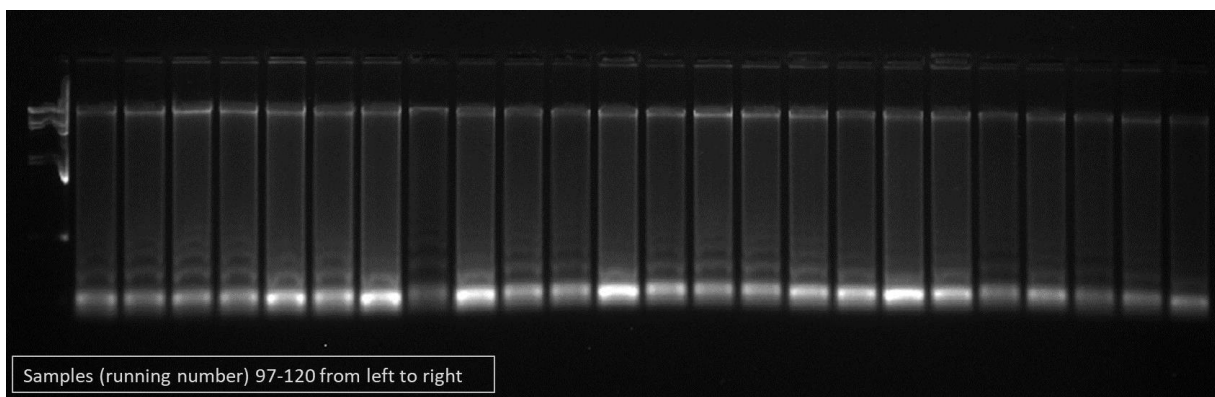
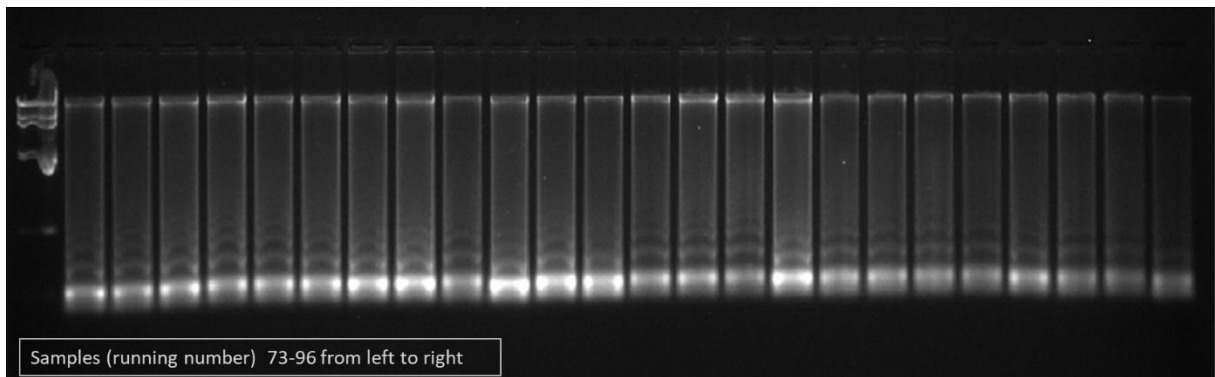
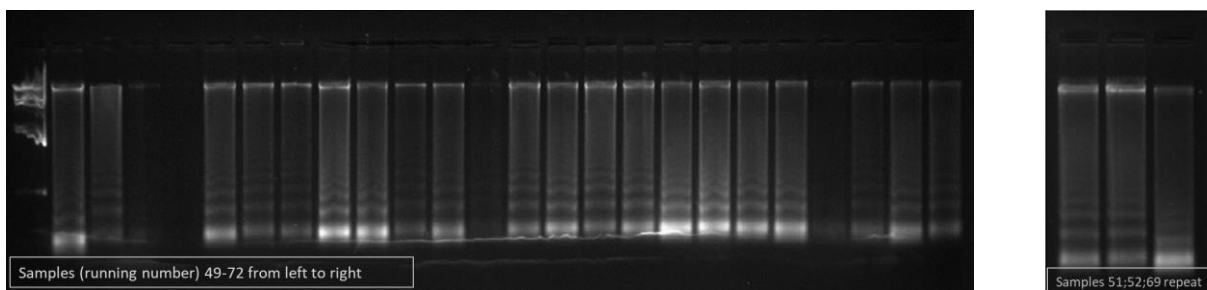
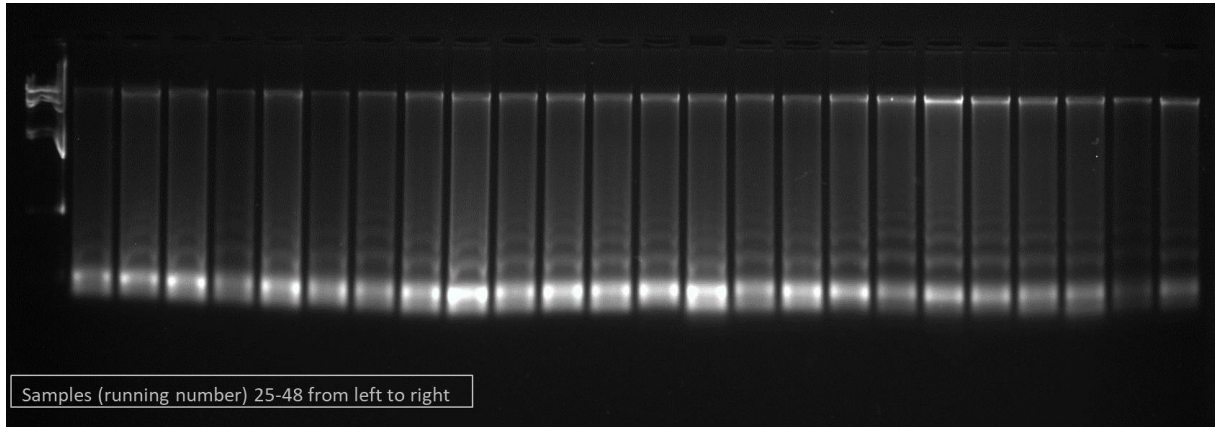
| Running No. | Tree_ID | Tissue | Weight | Concentration ng/µl | OD 260/280 |
|-------------|---------|---------|--------|---------------------|------------|
| 70 | KunP10 | Cambium | 20,3 | 33,5 | 1,914 |
| 71 | KunP11 | Cambium | 20,4 | 26,5 | 1,767 |
| 72 | KunP12 | Cambium | 20 | 37,5 | 1,705 |
| 73 | KunP13 | Cambium | 20 | 41,5 | 1,886 |
| 74 | KunP14 | Cambium | 20,4 | 33,5 | 1,971 |
| 75 | KunP15 | Cambium | 20,1 | 40,5 | 1,884 |
| 76 | KunP16 | Cambium | 20,3 | 33 | 2,000 |
| 77 | KunP17 | Cambium | 20 | 28,5 | 1,900 |
| 78 | KunP18 | Cambium | 20,1 | 35,5 | 1,868 |
| 79 | KunP19 | Cambium | 20,2 | 39,5 | 1,745 |
| 80 | KunP20 | Cambium | 20 | 52,5 | 1,750 |
| 81 | RueP01 | Cambium | 20 | 28,5 | 1,839 |
| 82 | RueP02 | Cambium | 20,5 | 43,5 | 1,813 |
| 83 | RueP03 | Cambium | 20 | 38,5 | 1,791 |
| 84 | RueP04 | Cambium | 20,5 | 46,5 | 1,691 |
| 85 | RueP05 | Cambium | 19,9 | 26 | 1,857 |
| 86 | RueP06 | Cambium | 20,4 | 33,5 | 1,861 |
| 87 | RueP07 | Cambium | 19,9 | 32 | 1,829 |
| 88 | RueP08 | Cambium | 20,4 | 48 | 1,811 |
| 89 | RueP09 | Cambium | 20 | 36,5 | 1,780 |
| 90 | RueP10 | Cambium | 20,5 | 46,5 | 1,722 |
| 91 | RueP11 | Cambium | 20,1 | 48 | 1,778 |
| 92 | RueP12 | Cambium | 20,5 | 39 | 1,773 |
| 93 | RueP13 | Cambium | 20,1 | 29,5 | 1,788 |
| 94 | RueP14 | Cambium | 20,1 | 27,5 | 1,833 |
| 95 | RueP15 | Cambium | 20,3 | 26 | 1,857 |
| 96 | RueP16 | Cambium | 20,5 | 26 | 1,793 |
| 97 | RueP17 | Cambium | 20,1 | 51,5 | 1,717 |
| 98 | RueP18 | Cambium | 20,2 | 35,5 | 1,449 |
| 99 | RueP19 | Cambium | 20,5 | 50,5 | 1,804 |
| 100 | RueP20 | Cambium | 20,1 | 46,5 | 1,788 |
| 101 | ScaP01 | Cambium | 20,5 | 69,5 | 1,738 |
| 102 | ScaP02 | Cambium | 20 | 49,0 | 1,782 |
| 103 | ScaP03 | Cambium | 19,9 | 67,5 | 1,753 |
| 104 | ScaP04 | Cambium | 20 | 19,0 | 1,727 |
| 105 | ScaP05 | Cambium | 20,4 | 46,5 | 1,755 |
| 106 | ScaP06 | Cambium | 19,9 | 33,5 | 1,811 |
| 107 | ScaP07 | Cambium | 20,4 | 28,5 | 1,541 |
| 108 | ScaP08 | Cambium | 20,3 | 51,0 | 1,759 |
| 109 | ScaP09 | Cambium | 20,4 | 35,5 | 1,775 |
| 110 | ScaP10 | Cambium | 20,5 | 38,5 | 1,750 |
| 111 | ScaP11 | Cambium | 20 | 36,5 | 1,780 |
| 112 | ScaP12 | Cambium | 20,4 | 40,5 | 1,761 |
| 113 | ScaP13 | Cambium | 20,4 | 33,0 | 1,833 |
| 114 | ScaP14 | Cambium | 20,2 | 61,0 | 1,794 |
| 115 | ScaP15 | Cambium | 20,3 | 61,0 | 1,718 |

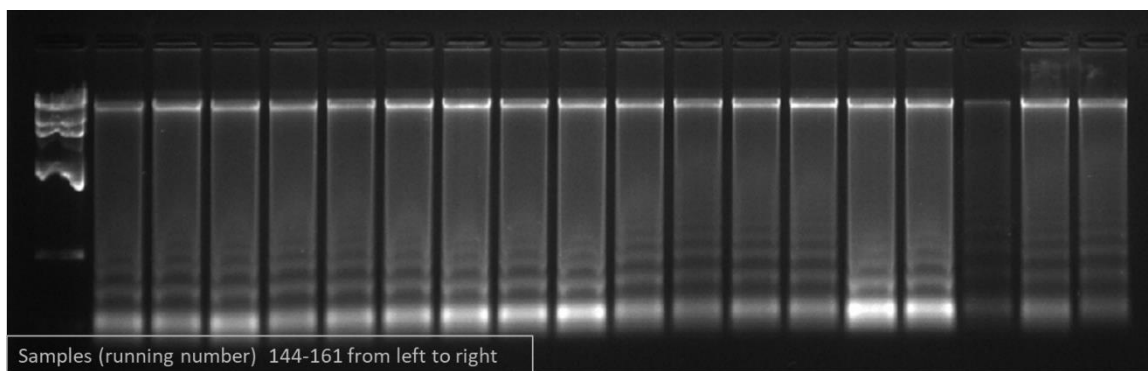
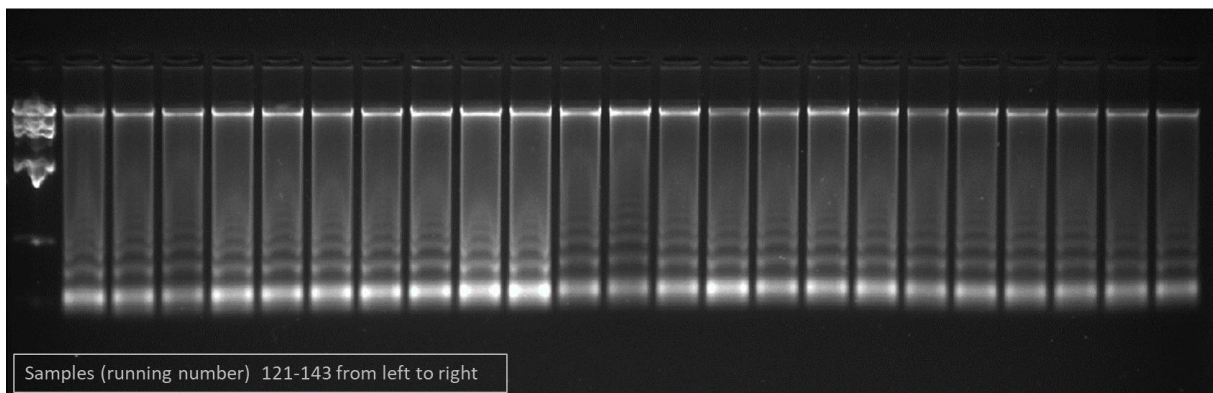


| Running No. | Tree_ID | Tissue | Weight | Concentration ng/µl | OD 260/280 |
|--------------------|----------------|---------------|---------------|--------------------------------|-------------------|
| 116 | ScaP16 | Cambium | 20,5 | 26,5 | 1,767 |
| 117 | ScaP17 | Cambium | 20 | 37,5 | 1,744 |
| 118 | ScaP18 | Cambium | 20,5 | 30,0 | 1,538 |
| 119 | ScaP19 | Cambium | 20,3 | 32,5 | 1,667 |
| 120 | ScaP20 | Cambium | 20,5 | 48,0 | 1,665 |
| 121 | SomP01 | Cambium | 20,2 | 42,5 | 1,667 |
| 122 | SomP02 | Cambium | 20,4 | 31,5 | 1,432 |
| 123 | SomP03 | Cambium | 20,1 | 28,0 | 1,750 |
| 124 | SomP04 | Cambium | 20,5 | 50,5 | 1,804 |
| 125 | SomP05 | Cambium | 20,5 | 51,5 | 1,661 |
| 126 | SomP06 | Cambium | 20 | 35,5 | 1,732 |
| 127 | SomP07 | Cambium | 20,3 | 34,5 | 1,769 |
| 128 | SomP08 | Cambium | 20,5 | 37,0 | 1,805 |
| 129 | SomP09 | Cambium | 20,5 | 48,5 | 1,830 |
| 130 | SomP10 | Cambium | 20,4 | 45,0 | 1,800 |
| 131 | SomP11 | Cambium | 20,1 | 28,0 | 1,750 |
| 132 | SomP12 | Cambium | 20,3 | 39,0 | 1,660 |
| 133 | SomP13 | Cambium | 20,5 | 29,0 | 1,812 |
| 134 | SomP14 | Cambium | 20,2 | 37,0 | 1,682 |
| 135 | SomP15 | Cambium | 19,9 | 29,0 | 1,758 |
| 136 | SomP16 | Cambium | 20,5 | 31,5 | 1,800 |
| 137 | SomP17 | Cambium | 20,5 | 30,0 | 1,818 |
| 138 | SomP18 | Cambium | 20 | 23,0 | 1,840 |
| 139 | SomP19 | Cambium | 19,9 | 29,0 | 1,758 |
| 140 | SomP20 | Cambium | 20 | 28,0 | 1,806 |
| 141 | SomP21 | Cambium | 20,3 | 40,5 | 1,761 |
| 142 | UetP01 | Cambium | 20,4 | 29,0 | 1,758 |
| 143 | UetP02 | Cambium | 20 | 33,5 | 1,811 |
| 144 | UetP03 | Cambium | 19,9 | 38,5 | 1,711 |
| 145 | UetP04 | Cambium | 20,5 | 43,0 | 1,792 |
| 146 | UetP05 | Cambium | 20,4 | 51,0 | 1,759 |
| 147 | UetP06 | Cambium | 20,3 | 46,5 | 1,755 |
| 148 | UetP07 | Cambium | 20,3 | 33,0 | 1,784 |
| 149 | UetP08 | Cambium | 20,2 | 40,5 | 1,761 |
| 150 | UetP09 | Cambium | 20,5 | 46,5 | 1,788 |
| 151 | UetP10 | Cambium | 20,5 | 37,0 | 1,805 |
| 152 | UetP11 | Cambium | 20,3 | 41,0 | 1,822 |
| 153 | UetP12 | Cambium | 20,1 | 35,0 | 1,750 |
| 154 | UetP13 | Cambium | 20,1 | 21,0 | 1,750 |
| 155 | UetP14 | Cambium | 20,5 | 35,0 | 1,795 |
| 156 | UetP15 | Cambium | 20,5 | 29,5 | 1,788 |
| 157 | UetP16 | Cambium | 20,3 | 47,0 | 1,808 |
| 158 | UetP17 | Cambium | 20 | 39,0 | 1,773 |
| 159 | UetP18 | Cambium | 20,5 | 27,0 | 1,800 |
| 160 | UetP19 | Cambium | 20,2 | 43,0 | 1,830 |
| 161 | UetP20 | Cambium | 20 | 21,0 | 1,680 |



Agarose gel documentation of DNA extraction (below)







Appendix 2 – Genotype lists

In this appendix, the unrounded fragment lengths measured by capillary electrophoresis, the scored alleles resulting from binning with Tandem, as well as the fixpoints used in Tandem are presented.

Table A2.1 – Unrounded fragment length sizes at loci 1C2, 1F9, 2C2, 2D4, 2D6, 2D9 and 2G12

| ID | 1C3 | 1F9 | 2C2 | 2D4 | 2D6 | 2D9 | 2G12 | | | | | | | |
|--------|--------|--------|--------|--------|--------|--------|--------|--------|--------|--------|--------|--------|--------|--------|
| CaiP01 | 186,11 | 232,29 | 243,11 | 270,44 | 161,32 | 172,85 | 121,27 | 127,65 | 232,29 | 245,35 | 130,21 | 180,39 | 256,57 | 260,45 |
| CaiP02 | 0 | 0 | 233,57 | 276,29 | 153,95 | 170,7 | 0 | 0 | 181,03 | 188,91 | 164,24 | 164,24 | 258,5 | 270,19 |
| CaiP03 | 0 | 0 | 223,72 | 251,03 | 153,95 | 155,84 | 146,68 | 159,35 | 210,02 | 210,02 | 128,18 | 128,18 | 248,91 | 254,88 |
| CaiP04 | 0 | 0 | 227,7 | 248,94 | 170,76 | 190,11 | 125,47 | 125,47 | 237,37 | 237,37 | 130,67 | 164,24 | 256,63 | 275,98 |
| CaiP05 | 168,03 | 187,97 | 212,15 | 250,96 | 147,63 | 168,81 | 152,62 | 152,62 | 168,31 | 188,24 | 130,28 | 130,28 | 260,41 | 264,22 |
| CaiP06 | 201,45 | 201,45 | 248,99 | 291,13 | 159,39 | 161,33 | 148,21 | 148,21 | 216,71 | 242,48 | 130,39 | 130,39 | 252,75 | 262,32 |
| CaiP07 | 200,36 | 200,36 | 223,78 | 251,42 | 145,27 | 153,86 | 176,74 | 176,74 | 217,69 | 232,34 | 130,25 | 138,71 | 248,88 | 260,47 |
| CaiP08 | 188,43 | 200,72 | 223,8 | 235,45 | 147,63 | 166,88 | 0 | 0 | 173,58 | 211,51 | 132,52 | 132,52 | 264,29 | 266,17 |
| CaiP09 | 0 | 0 | 239,28 | 239,28 | 146,67 | 157,26 | 139,42 | 139,42 | 202,89 | 213,84 | 130 | 132,02 | 252,77 | 264,29 |
| CaiP10 | 167,93 | 184,29 | 264,64 | 264,64 | 160,57 | 172,44 | 126,84 | 126,84 | 168,21 | 236,97 | 128,08 | 130,2 | 264,4 | 270,14 |
| CaiP11 | 0 | 0 | 250,94 | 266,57 | 153,23 | 168,44 | 125,86 | 174,27 | 173,65 | 225,44 | 128,36 | 130,18 | 260,49 | 266,17 |
| CaiP12 | 0 | 0 | 249,06 | 249,06 | 158,79 | 158,79 | 134,81 | 148,22 | 163,83 | 163,83 | 128,18 | 130,29 | 248,83 | 264,23 |
| CaiP13 | 187,9 | 234,78 | 208,03 | 268,55 | 153,32 | 155,25 | 154,64 | 154,64 | 181,29 | 219,82 | 130,26 | 165,41 | 258,54 | 271,98 |
| CaiP14 | 187,85 | 223,23 | 247,49 | 284,07 | 153,24 | 195,5 | 125,88 | 178,6 | 220,4 | 220,4 | 160,19 | 177,21 | 260,47 | 264,25 |
| CaiP15 | 187,38 | 210,95 | 202,44 | 214,12 | 153,3 | 157,2 | 174,08 | 178,99 | 210,95 | 210,95 | 126,22 | 130,16 | 256,53 | 258,34 |
| CaiP16 | 199,37 | 199,37 | 248,95 | 256,74 | 153,27 | 170,34 | 130,97 | 130,97 | 168,96 | 211,94 | 130,1 | 130,1 | 264,25 | 266,22 |
| CaiP17 | 174 | 178,25 | 237,33 | 250,89 | 155,25 | 199,19 | 126,84 | 155,6 | 181,2 | 225,26 | 128,09 | 176,21 | 260,51 | 264,29 |
| CaiP18 | 183,64 | 183,64 | 247,05 | 247,05 | 153,33 | 174,4 | 154,01 | 180,96 | 184,01 | 184,01 | 128,27 | 130,3 | 260,47 | 262,27 |
| CaiP19 | 0 | 0 | 200,45 | 206,06 | 168,32 | 195,44 | 168,5 | 183,05 | 187,38 | 192,15 | 160,09 | 179,52 | 231,36 | 271,96 |
| CaiP20 | 0 | 0 | 246,87 | 248,95 | 146,68 | 158,79 | 135,1 | 152,43 | 206,31 | 225,43 | 130 | 162,24 | 258,33 | 262,29 |
| GesP01 | 185,91 | 238,41 | 218,13 | 243,27 | 153,21 | 168,41 | 125,44 | 159,54 | 176,49 | 176,49 | 128,25 | 181,57 | 262,47 | 273,94 |
| GesP02 | 220,61 | 220,61 | 199,45 | 261,14 | 160,85 | 168,29 | 137,43 | 167,14 | 178,57 | 219,88 | 128,24 | 132,32 | 256,65 | 277,75 |
| GesP03 | 184,39 | 210,98 | 262,66 | 262,66 | 155,31 | 160,75 | 0 | 0 | 210,98 | 221,97 | 130,07 | 138,61 | 270,08 | 273,88 |
| GesP04 | 0 | 0 | 237,38 | 237,38 | 155,31 | 197,37 | 123,2 | 164,58 | 225,16 | 225,16 | 128,37 | 177,11 | 270,06 | 271,95 |
| GesP05 | 189,91 | 189,91 | 253,32 | 253,32 | 153,32 | 153,32 | 135,02 | 135,02 | 190,19 | 253,88 | 130,1 | 132,12 | 275,95 | 299 |
| GesP06 | 193,28 | 203,83 | 247,16 | 252,63 | 153,23 | 168,3 | 152,92 | 152,92 | 168,96 | 206,3 | 128,12 | 128,12 | 273,94 | 277,83 |
| GesP07 | 200,09 | 200,09 | 202,35 | 264,61 | 158,79 | 168,33 | 154,74 | 178,56 | 223,5 | 250,33 | 128,03 | 128,03 | 262,43 | 275,84 |
| GesP08 | 0 | 0 | 210,17 | 250,98 | 155,3 | 170,81 | 134,92 | 134,92 | 0 | 0 | 130,28 | 136,47 | 268,12 | 277,74 |
| GesP09 | 168,14 | 180,19 | 247,07 | 272,45 | 153,13 | 162,81 | 156,6 | 174,41 | 176,59 | 221,45 | 132,5 | 136,57 | 252,69 | 254,67 |
| GesP10 | 203,74 | 203,74 | 204,51 | 208,13 | 153,13 | 168,3 | 152,45 | 152,45 | 176,65 | 207,76 | 128,07 | 128,07 | 264,25 | 264,25 |
| GesP11 | 0 | 0 | 198,55 | 260,75 | 146,65 | 157,2 | 124,56 | 151,08 | 189 | 229,27 | 130,27 | 191,46 | 260,46 | 262,45 |
| GesP12 | 193,54 | 219,67 | 227,72 | 249,04 | 153,3 | 160,75 | 123,29 | 194,22 | 219,58 | 219,58 | 132,01 | 191,17 | 252,66 | 271,97 |
| GesP13 | 193,52 | 193,52 | 254,85 | 254,85 | 153,3 | 199,27 | 123,33 | 148,13 | 223,44 | 252,22 | 162,25 | 191,14 | 248,95 | 252,74 |
| GesP14 | 192,17 | 192,17 | 212,08 | 231,73 | 170,28 | 170,28 | 141,35 | 141,35 | 163,97 | 163,97 | 181,4 | 192,91 | 262,29 | 262,29 |
| GesP15 | 0 | 0 | 237,45 | 237,45 | 153,1 | 158,7 | 0 | 0 | 225,08 | 225,08 | 130,25 | 130,25 | 254,58 | 271,96 |
| GesP16 | 0 | 0 | 225,79 | 249,02 | 153,2 | 168,3 | 123,22 | 160,93 | 0 | 0 | 130,19 | 130,19 | 260,45 | 266,21 |
| GesP17 | 170,01 | 170,01 | 231,74 | 272,35 | 166,37 | 170,85 | 121,21 | 169,09 | 214,15 | 219,86 | 138,61 | 165,15 | 256,63 | 268,08 |
| GesP18 | 188,37 | 235,52 | 208,47 | 270,57 | 157,17 | 160,76 | 160,94 | 178,59 | 176,65 | 211,58 | 128,07 | 191,45 | 258,56 | 268,12 |
| GesP19 | 0 | 0 | 198,46 | 248,93 | 153,3 | 160,75 | 0 | 0 | 188,45 | 188,45 | 162,16 | 181,34 | 260,55 | 260,55 |



| ID | 1C3 | 1F9 | 2C2 | 2D4 | 2D6 | 2D9 | 2G12 |
|--------|--------|--------|--------|--------|--------|--------|--------|
| GesP20 | 179,79 | 179,79 | 245,17 | 249,02 | 153,23 | 170,36 | 135,05 |
| GrmP01 | 185,72 | 197,81 | 260,77 | 260,77 | 164,59 | 164,59 | 0 |
| GrmP02 | 166,51 | 196,14 | 279,84 | 279,84 | 151,08 | 151,08 | 156,03 |
| GrmP03 | 187,89 | 187,89 | 258,9 | 295,71 | 155,31 | 155,31 | 0 |
| GrmP04 | 0 | 0 | 229,67 | 235,45 | 157,01 | 160,75 | 153,58 |
| GrmP05 | 169,15 | 184,16 | 229,7 | 279,86 | 155,11 | 155,11 | 138,9 |
| GrmP06 | 173,91 | 188,59 | 229,66 | 237,49 | 155,07 | 156,98 | 158,21 |
| GrmP07 | 205,9 | 205,9 | 214,13 | 214,13 | 153,3 | 155,31 | 158,3 |
| GrmP08 | 0 | 0 | 212,44 | 241,33 | 164,58 | 164,58 | 135,02 |
| GrmP09 | 182,03 | 189,36 | 233,57 | 233,57 | 150,98 | 150,98 | 129,34 |
| GrmP10 | 166,5 | 166,5 | 319,84 | 319,84 | 155,26 | 155,26 | 134,87 |
| GrmP11 | 166,56 | 172,15 | 214,03 | 214,03 | 153,3 | 153,3 | 129,32 |
| GrmP12 | 0 | 0 | 274,43 | 274,43 | 146,68 | 146,68 | 0 |
| GrmP13 | 174,17 | 191,41 | 260,77 | 260,77 | 151,08 | 151,08 | 0 |
| GrmP14 | 174,03 | 203,01 | 237,42 | 251,02 | 151,09 | 151,09 | 131,29 |
| GrmP15 | 183,83 | 199,54 | 264,61 | 264,61 | 155,31 | 155,31 | 0 |
| GrmP16 | 184,66 | 197,09 | 245,29 | 260,86 | 160,75 | 164,58 | 129,23 |
| GrmP17 | 180,47 | 199,64 | 258,84 | 258,84 | 150,98 | 150,98 | 142,38 |
| GrmP18 | 171,18 | 175,47 | 227,66 | 227,66 | 150,99 | 157,26 | 0 |
| GrmP19 | 172,15 | 190,56 | 260,79 | 285,66 | 153,3 | 153,3 | 0 |
| GrmP20 | 0 | 0 | 233,54 | 233,54 | 153,3 | 160,75 | 0 |
| KunP01 | 177,51 | 199,64 | 250,92 | 282,21 | 146,65 | 180,47 | 148,34 |
| KunP02 | 201,73 | 214,96 | 223,81 | 249,05 | 153,14 | 168,38 | 0 |
| KunP03 | 210,08 | 210,08 | 225,76 | 282,19 | 160,75 | 178,19 | 121,2 |
| KunP04 | 196,82 | 222,84 | 214,16 | 214,16 | 153,3 | 158,79 | 141,01 |
| KunP05 | 202,26 | 234,74 | 208,4 | 229,55 | 155,3 | 174,36 | 194,74 |
| KunP06 | 177,49 | 199,54 | 219,83 | 219,83 | 146,75 | 155,26 | 148,42 |
| KunP07 | 0 | 0 | 241,64 | 241,64 | 153,3 | 155,31 | 125,2 |
| KunP08 | 0 | 0 | 243,3 | 276,27 | 155,26 | 155,26 | 159,07 |
| KunP09 | 188,75 | 202,62 | 227,5 | 227,5 | 155,21 | 160,75 | 136,85 |
| KunP10 | 203,01 | 211,22 | 198,81 | 237,47 | 153,13 | 168,3 | 162,64 |
| KunP11 | 184,29 | 184,29 | 208,15 | 252,87 | 153,11 | 195,3 | 123,26 |
| KunP12 | 187,87 | 218,06 | 264,59 | 264,59 | 153,3 | 168,4 | 132,61 |
| KunP13 | 195,29 | 195,29 | 198,55 | 204,52 | 153,23 | 166,46 | 151,08 |
| KunP14 | 172,88 | 185,82 | 247,14 | 289,09 | 146,83 | 160,76 | 135,08 |
| KunP15 | 196,52 | 196,52 | 219,85 | 270,41 | 155,21 | 172,43 | 169,06 |
| KunP16 | 204,69 | 210,92 | 202,52 | 221,91 | 153,2 | 160,75 | 125,98 |
| KunP17 | 185,63 | 234,78 | 270,49 | 284,14 | 153,3 | 172,5 | 135,03 |
| KunP18 | 226,92 | 226,92 | 251,33 | 258,73 | 146,44 | 170,84 | 0 |
| KunP19 | 183,51 | 211,16 | 202,53 | 210,5 | 158,89 | 160,75 | 155,69 |
| KunP20 | 0 | 0 | 250,89 | 250,89 | 155,21 | 160,75 | 155,59 |
| RueP01 | 200,72 | 200,72 | 231,62 | 249,01 | 153,3 | 157,29 | 160,66 |
| RueP02 | 0 | 0 | 199,54 | 208,08 | 153,23 | 155,26 | 124,58 |
| RueP03 | 0 | 0 | 225,72 | 235,52 | 155,21 | 168,8 | 148,33 |
| RueP04 | 226,31 | 226,31 | 0 | 0 | 160,75 | 195,45 | 135,03 |
| RueP05 | 185,81 | 185,81 | 208,12 | 256,79 | 153,2 | 153,2 | 126,94 |
| RueP06 | 177,49 | 177,49 | 208,07 | 208,07 | 153,23 | 155,26 | 138,9 |
| RueP07 | 165,43 | 193,23 | 252,97 | 262,52 | 155,12 | 155,12 | 119,22 |



| ID | 1C3 | 1F9 | 2C2 | 2D4 | 2D6 | 2D9 | 2G12 |
|--------|--------|--------|--------|--------|--------|--------|--------|
| RueP08 | 0 | 0 | 248,99 | 260,4 | 146,75 | 146,75 | 162,33 |
| RueP09 | 0 | 0 | 252,87 | 270,4 | 155,3 | 160,66 | 160,66 |
| RueP10 | 0 | 0 | 243,56 | 250,95 | 146,65 | 158,78 | 146,01 |
| RueP11 | 197,26 | 197,26 | 210,24 | 251,03 | 146,75 | 153,3 | 134,99 |
| RueP12 | 0 | 0 | 199,64 | 235,35 | 170,46 | 172,47 | 123,38 |
| RueP13 | 188,13 | 235,02 | 206,47 | 270,41 | 153,18 | 172,38 | 176,01 |
| RueP14 | 0 | 0 | 198,75 | 214,1 | 0 | 0 | 156,91 |
| RueP15 | 0 | 0 | 227,65 | 247,14 | 146,4 | 160,74 | 156,82 |
| RueP16 | 187,89 | 210,06 | 204,6 | 239,31 | 153,11 | 153,11 | 162,52 |
| RueP17 | 178,14 | 187,54 | 206,35 | 225,7 | 153,24 | 170,27 | 124,48 |
| RueP18 | 0 | 0 | 207,33 | 262,74 | 146,57 | 155,16 | 125,91 |
| RueP19 | 181,34 | 191,71 | 210,19 | 272,44 | 158,87 | 162,72 | 184,7 |
| RueP20 | 0 | 0 | 198,73 | 208,21 | 166,37 | 168,05 | 148,55 |
| ScaP01 | 0 | 0 | 204,27 | 235,4 | 154,92 | 170,6 | 156,35 |
| ScaP02 | 190,32 | 190,32 | 221,93 | 239,28 | 153,01 | 154,93 | 123,31 |
| ScaP03 | 197,63 | 205,54 | 221,99 | 249,04 | 153,03 | 160,75 | 156,44 |
| ScaP04 | 186,36 | 186,36 | 200,72 | 204,42 | 155,07 | 195,44 | 155,59 |
| ScaP05 | 181,54 | 227,21 | 200,73 | 204,54 | 168,22 | 170,76 | 166,87 |
| ScaP06 | 187,76 | 187,76 | 200,72 | 204,3 | 153,04 | 154,97 | 137,26 |
| ScaP07 | 187,67 | 224 | 239,29 | 239,29 | 153,3 | 199,27 | 123,14 |
| ScaP08 | 181,7 | 181,7 | 251,33 | 251,33 | 153,04 | 155,07 | 134,93 |
| ScaP09 | 181,58 | 223,5 | 204,54 | 239,33 | 154,88 | 170,5 | 166,87 |
| ScaP10 | 190,32 | 197,7 | 204,62 | 235,46 | 146,62 | 153,02 | 124,58 |
| ScaP11 | 197,62 | 202,91 | 210,47 | 249,42 | 154,97 | 168,18 | 155,59 |
| ScaP12 | 181,69 | 223,49 | 199,54 | 233,49 | 153,04 | 193,5 | 123,16 |
| ScaP13 | 187,65 | 187,65 | 204,36 | 221,99 | 154,97 | 193,51 | 123,25 |
| ScaP14 | 181,64 | 223,48 | 204,33 | 204,33 | 152,94 | 166,22 | 156,25 |
| ScaP15 | 169,12 | 169,12 | 202,61 | 214,25 | 154,97 | 193,5 | 152,43 |
| ScaP16 | 187,89 | 190,1 | 237,36 | 270,07 | 155,07 | 158,97 | 150,29 |
| ScaP17 | 187,68 | 187,68 | 239,33 | 262,64 | 152,97 | 155,02 | 123,26 |
| ScaP18 | 197,62 | 227,66 | 256,87 | 262,7 | 153,04 | 156,98 | 163,18 |
| ScaP19 | 220,74 | 220,74 | 200,81 | 222,05 | 153,04 | 168,28 | 121,26 |
| ScaP20 | 0 | 0 | 200,72 | 204,34 | 155,12 | 193,55 | 156,58 |
| SomP01 | 187,24 | 187,24 | 206,46 | 266,6 | 152,94 | 168,06 | 135,58 |
| SomP02 | 0 | 0 | 200,54 | 225,69 | 160,76 | 170,63 | 135,01 |
| SomP03 | 210,9 | 210,9 | 248,95 | 258,76 | 170,24 | 172,21 | 123,28 |
| SomP04 | 194,8 | 201,64 | 225,65 | 250,95 | 153,13 | 170,32 | 152,33 |
| SomP05 | 0 | 0 | 210,18 | 210,18 | 153,04 | 180,36 | 156,79 |
| SomP06 | 0 | 0 | 227,66 | 235,39 | 160,38 | 160,38 | 135,01 |
| SomP07 | 218,53 | 218,53 | 212,29 | 239,39 | 153,04 | 191,6 | 135,03 |
| SomP08 | 183,92 | 224,04 | 247,06 | 268,52 | 153,04 | 155,07 | 138,9 |
| SomP09 | 197,87 | 197,87 | 247,13 | 286,2 | 158,5 | 195,45 | 138,9 |
| SomP10 | 193,76 | 227 | 206,32 | 247,13 | 158,78 | 174,1 | 135,11 |
| SomP11 | 189,43 | 222,47 | 247,04 | 250,95 | 193,48 | 193,48 | 125,33 |
| SomP12 | 230,74 | 230,74 | 196,73 | 198,73 | 160,75 | 162,73 | 121,21 |
| SomP13 | 191,47 | 191,47 | 250,93 | 264,65 | 146,37 | 160,66 | 156,92 |
| SomP14 | 185,73 | 203,01 | 251,32 | 251,32 | 153,13 | 155,16 | 132,83 |
| SomP15 | 0 | 0 | 225,68 | 229,57 | 160,47 | 160,47 | 125,94 |



| ID | 1C3 | 1F9 | 2C2 | 2D4 | 2D6 | 2D9 | 2G12 | | | | | | | |
|--------|--------|--------|--------|--------|--------|--------|--------|--------|--------|--------|--------|--------|--------|--------|
| SomP16 | 210,91 | 210,91 | 235,43 | 247,04 | 153,04 | 160,66 | 121,29 | 121,29 | 211,46 | 211,46 | 130 | 130 | 254,57 | 260,31 |
| SomP17 | 172,66 | 172,66 | 250,93 | 260,53 | 146,3 | 146,3 | 121,25 | 121,25 | 176,61 | 211,55 | 0 | 0 | 266,2 | 275,76 |
| SomP18 | 0 | 0 | 256,84 | 268,56 | 152,94 | 152,94 | 134,93 | 165,01 | 176,8 | 211,59 | 189,58 | 189,58 | 258,47 | 260,48 |
| SomP19 | 182,25 | 182,25 | 202,56 | 210,25 | 155,16 | 193,59 | 123,23 | 125,47 | 194,14 | 194,14 | 128,09 | 132,31 | 256,58 | 258,58 |
| SomP20 | 182,34 | 199,54 | 196,74 | 250,95 | 146,43 | 160,75 | 121,1 | 157,01 | 261,82 | 261,82 | 130,29 | 130,29 | 254,59 | 266,17 |
| SomP21 | 191,49 | 191,49 | 198,63 | 264,65 | 146,41 | 160,66 | 132,76 | 156,98 | 211,09 | 211,09 | 130,18 | 185,27 | 254,6 | 266,28 |
| UetP01 | 200,73 | 200,73 | 233,52 | 235,43 | 156,92 | 158,61 | 174,27 | 174,27 | 211,57 | 238,93 | 132,08 | 180,4 | 260,39 | 260,39 |
| UetP02 | 195,32 | 225,82 | 252,95 | 274,33 | 153,01 | 155,02 | 125,84 | 174,12 | 208,27 | 214,54 | 171,42 | 171,42 | 260,42 | 266,26 |
| UetP03 | 163,66 | 182,03 | 202,62 | 208,49 | 153,11 | 162,72 | 132,62 | 132,62 | 183,23 | 225,36 | 128,28 | 130,29 | 260,33 | 260,33 |
| UetP04 | 177,36 | 191,56 | 225,74 | 233,49 | 156,98 | 168,14 | 121,2 | 152,36 | 226,4 | 226,4 | 132,03 | 132,03 | 277,78 | 277,78 |
| UetP05 | 210,85 | 232,75 | 208,15 | 208,15 | 146,43 | 199,27 | 148,76 | 152,53 | 181,41 | 211,58 | 131,99 | 191,45 | 262,32 | 262,32 |
| UetP06 | 0 | 0 | 190,98 | 270,41 | 162,73 | 170,22 | 123,27 | 132,9 | 209,72 | 217,72 | 132,41 | 165,26 | 260,31 | 262,32 |
| UetP07 | 183,59 | 190,31 | 206,22 | 250,93 | 168,45 | 174,42 | 125,93 | 125,93 | 206,26 | 206,26 | 156,12 | 191,71 | 254,75 | 262,32 |
| UetP08 | 187,37 | 200,27 | 200,73 | 200,73 | 154,88 | 168,05 | 152,53 | 152,53 | 209,99 | 209,99 | 179,76 | 191,49 | 258,48 | 264,18 |
| UetP09 | 190,41 | 190,41 | 214,21 | 241,33 | 146,76 | 199,26 | 156,91 | 164,68 | 188,84 | 190,69 | 129,96 | 179,52 | 260,32 | 268,08 |
| UetP10 | 201,91 | 201,91 | 202,53 | 214,27 | 153,11 | 197,34 | 155,59 | 155,59 | 189,06 | 211,62 | 128,35 | 130,27 | 252,69 | 268,07 |
| UetP11 | 188,08 | 188,08 | 223,77 | 266,61 | 146,54 | 155,12 | 166,81 | 178,77 | 234,98 | 236,89 | 130,26 | 184,43 | 260,4 | 269,97 |
| UetP12 | 210,8 | 210,8 | 249,06 | 254,9 | 156,98 | 160,66 | 134,6 | 164,9 | 168,97 | 214,83 | 130,18 | 138,51 | 258,5 | 266,22 |
| UetP13 | 211,57 | 211,57 | 262,7 | 317,21 | 153,04 | 160,75 | 121,26 | 132,7 | 225,43 | 225,43 | 130,18 | 130,18 | 258,45 | 264,3 |
| UetP14 | 184,29 | 199,82 | 208,21 | 223,84 | 146,44 | 170,29 | 121,2 | 128,78 | 225,18 | 225,18 | 136,27 | 182,87 | 258,31 | 279,72 |
| UetP15 | 201 | 201 | 202,71 | 239,69 | 155,21 | 197,35 | 146,57 | 166,91 | 211,44 | 238,53 | 132,11 | 193,52 | 262,28 | 273,86 |
| UetP16 | 177,46 | 177,46 | 243,16 | 298,9 | 153,14 | 193,51 | 124,58 | 164,97 | 173,61 | 206,31 | 138,61 | 203,29 | 266,17 | 270,12 |
| UetP17 | 190,53 | 202,64 | 206,43 | 268,52 | 146,41 | 168,15 | 146,54 | 159,72 | 215,68 | 218,05 | 130,13 | 183,6 | 258,57 | 273,91 |
| UetP18 | 223,78 | 223,78 | 249,47 | 252,92 | 153,23 | 168,36 | 123,27 | 123,27 | 236,87 | 261,94 | 130,1 | 132,02 | 260,41 | 277,72 |
| UetP19 | 218,54 | 218,54 | 239,69 | 245,05 | 153,23 | 189,67 | 121,25 | 130,44 | 211,54 | 211,54 | 0 | 0 | 260,52 | 268,18 |
| UetP20 | 182,1 | 215,39 | 214,17 | 250,91 | 152,94 | 152,94 | 160,57 | 170,61 | 211,54 | 211,54 | 129,91 | 194,55 | 262,34 | 264,18 |



Table A2.2 – Unrounded fragment length sizes at loci 3B2, 3B9, 3D5, 3F1, 4A7 and 5A8

| ID | 3B2 | 3B9 | 3D5 | | 3F1 | | 4A7 | | 5A8 | |
|--------|--------|--------|--------|--------|--------|--------|--------|--------|--------|--------|
| CaiP01 | 100,88 | 153,93 | 130,4 | 130,4 | 145,91 | 145,91 | 217,06 | 228,55 | 268,24 | 290,97 |
| CaiP02 | 100,98 | 158,25 | 192,77 | 192,77 | 136,46 | 140,71 | 211,11 | 219,01 | 273,71 | 273,71 |
| CaiP03 | 130,43 | 143,76 | 173,43 | 182,5 | 140,7 | 142,07 | 214,85 | 222,91 | 268,25 | 298,59 |
| CaiP04 | 119,02 | 124,12 | 0 | 0 | 147,4 | 155,26 | 168,25 | 211,33 | 230,84 | 277,89 |
| CaiP05 | 122,06 | 150,58 | 194,16 | 226,25 | 142,74 | 147,49 | 211,16 | 219,27 | 230,27 | 284,26 |
| CaiP06 | 118,82 | 130,45 | 179,69 | 211,31 | 147,36 | 147,36 | 216,93 | 222,92 | 242,71 | 295,35 |
| CaiP07 | 148,22 | 156,07 | 142,85 | 186,97 | 147,18 | 151,17 | 224,68 | 228,48 | 231,03 | 231,03 |
| CaiP08 | 107,39 | 152,69 | 186,66 | 196,03 | 149,48 | 170,54 | 216,85 | 224,98 | 218,67 | 286,3 |
| CaiP09 | 127,65 | 158,7 | 197,17 | 197,17 | 145,49 | 145,49 | 216,96 | 216,96 | 254,03 | 301,61 |
| CaiP10 | 130,44 | 152,89 | 130,49 | 190,75 | 153,4 | 153,4 | 216,96 | 220,87 | 252,92 | 276,79 |
| CaiP11 | 150,69 | 150,69 | 199,18 | 199,18 | 153,23 | 160 | 218,74 | 218,74 | 252,83 | 267,71 |
| CaiP12 | 136,97 | 152,89 | 184,38 | 197,09 | 153,2 | 165,23 | 193,54 | 195,36 | 223,89 | 274,64 |
| CaiP13 | 127,75 | 127,75 | 159,73 | 182,24 | 147,39 | 147,39 | 226,62 | 226,62 | 230,3 | 230,3 |
| CaiP14 | 134,55 | 134,55 | 182,62 | 196,32 | 140,28 | 140,28 | 207,16 | 212,78 | 230,33 | 254,09 |
| CaiP15 | 113,31 | 124,05 | 195,32 | 195,32 | 129,87 | 149,17 | 222,54 | 226,53 | 242,1 | 260,96 |
| CaiP16 | 124,07 | 139 | 181,72 | 188,24 | 149,69 | 149,69 | 220,83 | 220,83 | 252,12 | 285,21 |
| CaiP17 | 123,93 | 123,93 | 130,39 | 194,16 | 147,49 | 159,91 | 203,42 | 220,54 | 245,29 | 252,85 |
| CaiP18 | 111,34 | 142,07 | 197,15 | 197,15 | 149,16 | 149,16 | 230,31 | 230,31 | 219,25 | 231,98 |
| CaiP19 | 150,68 | 152,82 | 123,68 | 130,57 | 151,47 | 151,47 | 226,35 | 232,33 | 230,37 | 252,04 |
| CaiP20 | 113,73 | 139,11 | 184,38 | 194 | 143,27 | 143,27 | 210,99 | 210,99 | 230,23 | 274,72 |
| GesP01 | 103,12 | 111,43 | 137,05 | 232,19 | 147,17 | 149,69 | 210,91 | 220,75 | 273,4 | 295,83 |
| GesP02 | 120,8 | 132,61 | 167,08 | 186,8 | 147,15 | 149,68 | 211,16 | 220,98 | 223,93 | 278,03 |
| GesP03 | 136,75 | 150,68 | 181,81 | 193,36 | 140,82 | 157,76 | 228,35 | 230,43 | 223,94 | 289,65 |
| GesP04 | 138,03 | 167,53 | 185,03 | 199,09 | 160 | 160 | 215,15 | 232,68 | 223,85 | 274,65 |
| GesP05 | 128,1 | 150,69 | 199 | 199 | 0 | 0 | 214,97 | 232,5 | 230,21 | 230,21 |
| GesP06 | 111,16 | 136,67 | 176,77 | 184,47 | 149,79 | 149,79 | 218,61 | 230,51 | 269,88 | 285,06 |
| GesP07 | 123,96 | 123,96 | 132,47 | 185,03 | 142,95 | 161,31 | 211,22 | 211,22 | 231,88 | 290,18 |
| GesP08 | 113,32 | 165,03 | 130,38 | 196,36 | 149,27 | 149,27 | 224,87 | 232,54 | 220,8 | 285,13 |
| GesP09 | 150,69 | 162,99 | 137,05 | 211,32 | 140,9 | 140,9 | 182,04 | 234,42 | 242,25 | 242,25 |
| GesP10 | 148,45 | 162,9 | 190,81 | 222,38 | 153,72 | 153,72 | 193,91 | 207,49 | 281,33 | 312,57 |
| GesP11 | 103,13 | 113,25 | 137,24 | 191,46 | 140,82 | 151,37 | 211,18 | 234,49 | 268,52 | 292,1 |
| GesP12 | 100,46 | 127,78 | 131,34 | 194,36 | 134,43 | 165,04 | 224,76 | 226,82 | 278,09 | 285,12 |
| GesP13 | 100,46 | 120,9 | 130,39 | 130,39 | 143,16 | 145,17 | 211,1 | 221,14 | 241,57 | 252,92 |
| GesP14 | 119,68 | 119,68 | 184,47 | 187,17 | 138,41 | 149,69 | 211,36 | 228,55 | 252,02 | 252,02 |
| GesP15 | 120,83 | 150,68 | 167,02 | 186,97 | 140,39 | 140,39 | 213,23 | 223,02 | 230,28 | 230,28 |
| GesP16 | 136,87 | 150,68 | 200,09 | 222,42 | 0 | 0 | 220,73 | 220,73 | 232,55 | 247,34 |
| GesP17 | 110,04 | 150,59 | 173,34 | 186,37 | 138,41 | 138,41 | 224,56 | 228,68 | 269,79 | 278,01 |
| GesP18 | 150,69 | 168,78 | 130,49 | 130,49 | 131,85 | 131,85 | 225,05 | 225,05 | 230,23 | 230,23 |
| GesP19 | 127,68 | 143,79 | 201 | 201 | 160,09 | 160,09 | 226,65 | 226,65 | 230,37 | 318,97 |
| GesP20 | 136,79 | 141,33 | 167 | 196,09 | 140,18 | 149,69 | 213,05 | 215,28 | 0 | 184,02 |
| GrmP01 | 93,01 | 100,84 | 138,71 | 147,38 | 120,67 | 149,16 | 167,01 | 167,01 | 244,99 | 244,99 |
| GrmP02 | 89,95 | 115,55 | 139,96 | 190,78 | 140,39 | 161,14 | 211,26 | 213,17 | 244,97 | 244,97 |
| | | | | | | | | | 0 | 0 |



| ID | 3B2 | 3B9 | 3D5 | 3F1 | 4A7 | 5A8 | | | | | | |
|--------|--------|--------|--------|--------|--------|--------|--------|--------|--------|--------|--------|--------|
| GrmP03 | 100,49 | 100,49 | 137,63 | 156,73 | 147,39 | 147,39 | 213,32 | 213,32 | 245,14 | 245,14 | 179,63 | 186,28 |
| GrmP04 | 100,69 | 102,66 | 159,63 | 228,38 | 120,8 | 179,97 | 0 | 0 | 281,01 | 281,01 | 0 | 0 |
| GrmP05 | 100,53 | 100,53 | 139,86 | 164,3 | 136,37 | 164,49 | 166,92 | 166,92 | 232,97 | 244,96 | 186,26 | 186,26 |
| GrmP06 | 100,63 | 122,33 | 196,31 | 230,32 | 138,7 | 179,88 | 0 | 0 | 232,93 | 245,13 | 177,77 | 177,77 |
| GrmP07 | 100,6 | 110,43 | 159,63 | 181,06 | 138,12 | 181,8 | 0 | 0 | 233,1 | 245,22 | 177,85 | 189,75 |
| GrmP08 | 92,77 | 100,62 | 139,86 | 186,37 | 154,98 | 169,21 | 221,28 | 221,28 | 245,64 | 245,64 | 183,97 | 183,97 |
| GrmP09 | 0 | 0 | 136,47 | 188,2 | 126,56 | 189,58 | 167,02 | 167,02 | 227,94 | 245,14 | 0 | 0 |
| GrmP10 | 110,26 | 114,02 | 131,3 | 159,63 | 166,3 | 180,12 | 209,09 | 209,09 | 245,08 | 245,08 | 0 | 0 |
| GrmP11 | 110,33 | 126,66 | 136,46 | 157,67 | 138,51 | 164,5 | 0 | 0 | 233,1 | 233,1 | 186,08 | 186,08 |
| GrmP12 | 100,63 | 114,12 | 137,64 | 138,42 | 172,2 | 172,2 | 213,36 | 217,16 | 229,99 | 245,1 | 0 | 0 |
| GrmP13 | 92,56 | 92,56 | 159,63 | 196,09 | 144,96 | 202,89 | 0 | 0 | 245,17 | 245,17 | 179,69 | 179,69 |
| GrmP14 | 100,45 | 100,45 | 136,55 | 165,37 | 149,69 | 170,35 | 166,96 | 166,96 | 230,07 | 245,22 | 186,61 | 186,61 |
| GrmP15 | 100,62 | 128,67 | 137,24 | 188,29 | 134,52 | 174,17 | 0 | 0 | 247,2 | 247,2 | 188,33 | 188,33 |
| GrmP16 | 89,86 | 100,54 | 156,63 | 159,54 | 140,91 | 142,7 | 0 | 0 | 245,09 | 269,84 | 177,9 | 188,34 |
| GrmP17 | 100,54 | 124,41 | 130,48 | 156,73 | 149,27 | 151,27 | 167,02 | 167,02 | 236,1 | 269,38 | 0 | 0 |
| GrmP18 | 122,38 | 142,6 | 136,44 | 159,72 | 134,48 | 179,69 | 0 | 0 | 245,17 | 245,17 | 179,79 | 179,79 |
| GrmP19 | 125,43 | 127,57 | 141,46 | 181,06 | 150,68 | 164,31 | 0 | 0 | 218,01 | 245,16 | 179,54 | 184,13 |
| GrmP20 | 102,72 | 165,44 | 138,51 | 159,63 | 147,09 | 147,09 | 0 | 0 | 219,21 | 245,61 | 186,52 | 186,52 |
| KunP01 | 143,75 | 143,75 | 130,38 | 180,52 | 142,74 | 142,74 | 214,92 | 217,01 | 269,82 | 289,93 | 188,78 | 188,78 |
| KunP02 | 139,11 | 163,45 | 186,95 | 199,17 | 140,19 | 140,19 | 195,86 | 215,17 | 261,16 | 274,88 | 0 | 0 |
| KunP03 | 136,98 | 163,03 | 186,4 | 187,22 | 143,22 | 165,07 | 209,07 | 226,94 | 287,56 | 294,36 | 189,53 | 189,53 |
| KunP04 | 165,54 | 165,54 | 199 | 199 | 145,63 | 149,59 | 217,14 | 222,74 | 274,76 | 289,98 | 186,02 | 186,02 |
| KunP05 | 101 | 130,45 | 186,95 | 194,27 | 138,32 | 138,32 | 216,98 | 246,13 | 292,24 | 300,66 | 186,02 | 186,02 |
| KunP06 | 130,41 | 165,97 | 187,21 | 198,26 | 142,67 | 142,67 | 172,01 | 232,57 | 230,51 | 274,02 | 188,73 | 188,73 |
| KunP07 | 124,07 | 132,77 | 181,8 | 181,8 | 151,36 | 151,36 | 228,56 | 228,56 | 274,68 | 283,29 | 186,16 | 188,41 |
| KunP08 | 122,13 | 171,73 | 181,77 | 199 | 146,16 | 153,39 | 187,91 | 226,58 | 262,5 | 274,72 | 183,89 | 188,35 |
| KunP09 | 111,38 | 136,87 | 173,41 | 173,41 | 129,93 | 138,71 | 213,19 | 218,89 | 240,42 | 269,89 | 0 | 0 |
| KunP10 | 113,31 | 126,25 | 192,63 | 192,63 | 136,34 | 143,21 | 0 | 0 | 230,4 | 273,8 | 185,99 | 185,99 |
| KunP11 | 162,96 | 162,96 | 181,8 | 181,8 | 138,51 | 153,49 | 224,64 | 224,64 | 253,04 | 276,9 | 185,98 | 185,98 |
| KunP12 | 130,45 | 171,73 | 130,5 | 167 | 147,51 | 153,39 | 172,09 | 217,03 | 230,42 | 261,01 | 188,07 | 188,07 |
| KunP13 | 117,84 | 122,07 | 186,49 | 191,26 | 128,21 | 147,09 | 226,58 | 228,48 | 224,01 | 230,4 | 188,86 | 188,86 |
| KunP14 | 89,77 | 165,05 | 199,08 | 199,08 | 141,03 | 149,79 | 226,55 | 228,37 | 230,41 | 291,7 | 186,28 | 186,28 |
| KunP15 | 89,75 | 115,6 | 131,4 | 179,82 | 0 | 0 | 222,75 | 224,48 | 279,18 | 279,18 | 186,62 | 188,8 |
| KunP16 | 122,16 | 163,43 | 194,38 | 194,38 | 145,07 | 157,39 | 217,03 | 223,08 | 231,47 | 274,78 | 183,85 | 183,85 |
| KunP17 | 107,32 | 128,29 | 159,81 | 192,17 | 140,91 | 140,91 | 207,14 | 217,08 | 230,16 | 279,98 | 188,96 | 188,96 |
| KunP18 | 130,46 | 165,58 | 194,4 | 194,4 | 144,96 | 149,79 | 213,08 | 217,08 | 252,06 | 266,53 | 177,76 | 186,35 |
| KunP19 | 143,8 | 163,06 | 195,43 | 195,43 | 136,76 | 143,23 | 215,03 | 218,83 | 252,03 | 252,03 | 186,01 | 186,01 |
| KunP20 | 136,89 | 148,14 | 130,5 | 132,52 | 153,39 | 157,38 | 224,78 | 226,76 | 285,1 | 285,1 | 185,98 | 188,87 |
| RueP01 | 125,98 | 125,98 | 194,27 | 199 | 138,22 | 138,22 | 205,23 | 212,82 | 271,86 | 277,01 | 188,8 | 188,8 |
| RueP02 | 152,92 | 164,95 | 194,4 | 194,4 | 153,62 | 185,91 | 216,81 | 216,81 | 252,08 | 273,41 | 188,7 | 188,7 |
| RueP03 | 130,4 | 141,04 | 138,9 | 195,43 | 145,39 | 159,91 | 220,83 | 232,53 | 232,01 | 269,8 | 186,05 | 190,8 |
| RueP04 | 103,38 | 121,96 | 194,27 | 194,27 | 0 | 0 | 213,17 | 213,17 | 231,41 | 269,79 | 186,22 | 186,22 |
| RueP05 | 125,11 | 134,75 | 181,68 | 203,61 | 138,32 | 146,89 | 164,22 | 212,81 | 270,29 | 277,02 | 188,76 | 188,76 |
| RueP06 | 89,79 | 146,01 | 130,51 | 181,7 | 146,94 | 146,94 | 219,05 | 228,5 | 287,87 | 301,44 | 185,99 | 185,99 |



| ID | 3B2 | | 3B9 | | 3D5 | | 3F1 | | 4A7 | | 5A8 | |
|--------|--------|--------|--------|--------|--------|--------|--------|--------|--------|--------|--------|--------|
| RueP07 | 0 | 0 | 194,34 | 194,34 | 142,1 | 142,1 | 195,46 | 215,3 | 240,22 | 245,31 | 177,79 | 177,79 |
| RueP08 | 154,49 | 168,48 | 184,99 | 198,18 | 144,97 | 147,07 | 220,72 | 223,07 | 267,67 | 294,27 | 188,72 | 190,75 |
| RueP09 | 143,69 | 162,92 | 179,65 | 197,08 | 143,38 | 155,08 | 195,47 | 219,25 | 230,31 | 252,71 | 188,73 | 192,86 |
| RueP10 | 101,11 | 113,38 | 159,72 | 222,46 | 153,65 | 153,65 | 224,98 | 226,8 | 251,99 | 283,24 | 183,96 | 183,96 |
| RueP11 | 101,11 | 124,09 | 180,6 | 194,14 | 151,36 | 154,16 | 213,06 | 215,05 | 217,87 | 217,87 | 177,74 | 177,74 |
| RueP12 | 143,8 | 150,68 | 132,21 | 194,97 | 167,14 | 167,14 | 230,52 | 230,52 | 275,92 | 287,49 | 188,89 | 188,89 |
| RueP13 | 150,59 | 150,59 | 159,81 | 198,91 | 138,61 | 152,26 | 222,66 | 222,66 | 273,85 | 287,41 | 183,87 | 188,79 |
| RueP14 | 113,48 | 136,98 | 194,16 | 194,16 | 129,62 | 144,94 | 212,85 | 212,85 | 269,77 | 288,09 | 183,97 | 188,79 |
| RueP15 | 145 | 168,62 | 190,37 | 194,88 | 147,3 | 166,87 | 184,16 | 220,84 | 252,02 | 252,02 | 186,2 | 186,2 |
| RueP16 | 126,03 | 143,85 | 180,49 | 184,98 | 0 | 0 | 209,47 | 214,98 | 230,39 | 230,39 | 185,99 | 192,92 |
| RueP17 | 148,12 | 163,39 | 186,93 | 196,61 | 159,25 | 159,25 | 207,35 | 207,35 | 274,76 | 281,27 | 184,38 | 188,63 |
| RueP18 | 123,97 | 162,99 | 130,47 | 184,95 | 134,81 | 151,36 | 213,13 | 224,82 | 252,95 | 295,15 | 186,04 | 186,04 |
| RueP19 | 122,02 | 130,49 | 186,35 | 187,09 | 130,04 | 138,61 | 217,14 | 223,01 | 231,38 | 285,06 | 183,97 | 183,97 |
| RueP20 | 130,42 | 152,82 | 138,71 | 141,99 | 153,88 | 153,88 | 195,54 | 211,37 | 231,45 | 294,25 | 190,8 | 190,8 |
| ScaP01 | 113,25 | 141,27 | 137,13 | 207,93 | 142,13 | 147,57 | 211,45 | 222,64 | 230,34 | 258,14 | 183,79 | 190,62 |
| ScaP02 | 150,68 | 159,26 | 167,02 | 204,98 | 136,46 | 157,76 | 212,95 | 222,65 | 247,28 | 279,17 | 185,91 | 190,68 |
| ScaP03 | 100,37 | 141,44 | 130,38 | 138,71 | 147,38 | 147,38 | 216,94 | 216,94 | 231,97 | 335,86 | 188,55 | 188,55 |
| ScaP04 | 118,92 | 143,75 | 188,88 | 188,88 | 142,9 | 142,9 | 211,1 | 222,85 | 254,17 | 299,36 | 188,7 | 188,7 |
| ScaP05 | 99,61 | 143,69 | 190,48 | 190,48 | 147,59 | 147,59 | 0 | 0 | 230,19 | 230,19 | 190,62 | 190,62 |
| ScaP06 | 143,65 | 159,16 | 130,44 | 204,99 | 147,6 | 157,76 | 212,9 | 222,86 | 247,22 | 274,76 | 187,93 | 187,93 |
| ScaP07 | 141,33 | 159,16 | 194,62 | 208,03 | 157,67 | 157,67 | 222,92 | 222,92 | 247,29 | 247,29 | 187,96 | 190,71 |
| ScaP08 | 150,68 | 152,82 | 194,16 | 198,91 | 138,32 | 162,06 | 218,79 | 228,48 | 278,02 | 283,76 | 188,15 | 189,34 |
| ScaP09 | 99,42 | 150,59 | 131,34 | 132,42 | 151,18 | 151,18 | 211,09 | 211,09 | 296,59 | 315,95 | 185,76 | 190,56 |
| ScaP10 | 89,7 | 113,3 | 131,4 | 197,99 | 157,76 | 157,76 | 164,41 | 222,65 | 247,33 | 247,33 | 0 | 0 |
| ScaP11 | 126,92 | 162,99 | 130,36 | 199 | 145,07 | 145,07 | 209,21 | 234,45 | 232,61 | 294,34 | 186,08 | 186,08 |
| ScaP12 | 123,78 | 128,17 | 190,38 | 203,53 | 147,38 | 147,38 | 215,13 | 222,57 | 230,4 | 271,91 | 188,7 | 188,7 |
| ScaP13 | 119,67 | 128,1 | 131,47 | 137,13 | 149,06 | 149,06 | 212,98 | 222,71 | 232,02 | 315,99 | 185,35 | 190,62 |
| ScaP14 | 107,15 | 121,33 | 136,95 | 204,99 | 140,82 | 158,98 | 164,39 | 164,39 | 232,68 | 315,94 | 186 | 190,59 |
| ScaP15 | 121,75 | 121,75 | 184,34 | 197,9 | 132,29 | 152,82 | 0 | 0 | 278,04 | 278,04 | 183,74 | 183,74 |
| ScaP16 | 103,1 | 103,1 | 152,72 | 152,72 | 132,68 | 151,17 | 217,16 | 225,03 | 271,45 | 275,37 | 188,79 | 188,79 |
| ScaP17 | 127,97 | 150,59 | 199,08 | 199,08 | 158,97 | 158,97 | 178,35 | 222,73 | 231,94 | 247,13 | 190,48 | 190,48 |
| ScaP18 | 150,59 | 171,69 | 137,14 | 180,82 | 147,39 | 147,39 | 216,95 | 230,57 | 242,16 | 335,75 | 183,74 | 186,05 |
| ScaP19 | 143,75 | 150,78 | 167,03 | 184,74 | 136,57 | 136,57 | 164,39 | 164,39 | 230,19 | 230,19 | 185,49 | 185,49 |
| ScaP20 | 100,55 | 113,36 | 130,39 | 131,35 | 147,59 | 147,59 | 212,93 | 222,88 | 274,77 | 295,79 | 190,77 | 190,77 |
| SomP01 | 150,49 | 150,49 | 159,91 | 189,39 | 153,43 | 153,43 | 224,75 | 224,75 | 230,22 | 230,22 | 180,1 | 190,69 |
| SomP02 | 113,21 | 127,58 | 194,43 | 228,12 | 146,88 | 151,57 | 213,06 | 220,78 | 230,18 | 230,18 | 188,44 | 188,44 |
| SomP03 | 143,8 | 153,88 | 180,84 | 195,26 | 143,27 | 157,76 | 220,86 | 222,67 | 230,29 | 230,29 | 185,95 | 188,6 |
| SomP04 | 148,34 | 150,69 | 130,48 | 138,81 | 149,79 | 149,79 | 168,3 | 218,87 | 231,45 | 274,68 | 0 | 0 |
| SomP05 | 103,04 | 165,46 | 208,05 | 222,42 | 143,1 | 153,72 | 211,18 | 215 | 217,73 | 283,32 | 0 | 0 |
| SomP06 | 146,02 | 172,15 | 195,23 | 195,23 | 140,82 | 147,28 | 214,95 | 219,31 | 230,25 | 231,25 | 183,74 | 188,54 |
| SomP07 | 121,9 | 150,78 | 185,02 | 185,02 | 142,8 | 154,19 | 211,21 | 211,21 | 287,48 | 287,48 | 183,74 | 185,85 |
| SomP08 | 121,95 | 150,78 | 173,46 | 197,09 | 143,11 | 151,28 | 164,31 | 218,97 | 230,39 | 230,39 | 188,66 | 188,66 |
| SomP09 | 100,37 | 158,02 | 194,38 | 194,38 | 147,6 | 171,26 | 220,75 | 226,68 | 230,36 | 269,85 | 188 | 188 |
| SomP10 | 103,13 | 123,93 | 194,14 | 194,14 | 136,36 | 140,82 | 223,13 | 232,63 | 274,72 | 274,72 | 185,96 | 189,46 |



| ID | 3B2 | 3B9 | 3D5 | 3F1 | 4A7 | 5A8 | | | | | | |
|--------|--------|--------|--------|--------|--------|--------|--------|--------|--------|--------|--------|--------|
| SomP11 | 124 | 127,04 | 192,06 | 196,08 | 146,88 | 153,13 | 193,79 | 215,07 | 230,24 | 327,27 | 174,45 | 185,81 |
| SomP12 | 113,39 | 127,19 | 198,91 | 198,91 | 138,71 | 147,51 | 174,24 | 207,22 | 279,05 | 294,23 | 186,09 | 186,09 |
| SomP13 | 126,98 | 150,59 | 130,38 | 142,74 | 147,59 | 157,74 | 228,47 | 228,47 | 274,73 | 276,02 | 0 | 0 |
| SomP14 | 113,24 | 143,69 | 190,26 | 192,1 | 138,31 | 149,48 | 217,2 | 232,53 | 242,21 | 274,72 | 183,83 | 188,63 |
| SomP15 | 136,86 | 150,68 | 182,54 | 190,52 | 149,69 | 149,69 | 209,03 | 211,11 | 230,38 | 285,2 | 188,48 | 188,48 |
| SomP16 | 126,08 | 143,74 | 180,6 | 194,27 | 147,09 | 147,09 | 211,1 | 224,84 | 224,01 | 287,91 | 186,03 | 188,78 |
| SomP17 | 115,41 | 130,27 | 197,23 | 197,23 | 153,62 | 153,62 | 170,21 | 223,01 | 230,33 | 258,94 | 183,82 | 189,48 |
| SomP18 | 130,27 | 152,92 | 137,14 | 195,35 | 142,73 | 147,49 | 182,17 | 211,51 | 283,34 | 287,27 | 188,44 | 188,44 |
| SomP19 | 143,8 | 143,8 | 167,01 | 178,53 | 146,86 | 146,86 | 193,85 | 211,49 | 230,42 | 283,92 | 188,57 | 188,57 |
| SomP20 | 127,1 | 127,1 | 130,39 | 194,16 | 147,59 | 147,59 | 207,22 | 228,46 | 274,66 | 294,23 | 186,27 | 186,27 |
| SomP21 | 113,36 | 127,01 | 142,78 | 199,08 | 138,7 | 147,57 | 207,18 | 228,47 | 276,03 | 279,25 | 0 | 0 |
| UetP01 | 113,65 | 132,68 | 199,18 | 199,18 | 0 | 0 | 224,9 | 224,9 | 262,49 | 262,49 | 185,96 | 185,96 |
| UetP02 | 111,15 | 161,31 | 176,71 | 195,27 | 147,51 | 157,83 | 217,15 | 220,68 | 247,3 | 279,14 | 177,6 | 186,09 |
| UetP03 | 100,46 | 123,99 | 186,95 | 198,91 | 142,06 | 153,42 | 212,91 | 220,87 | 230,39 | 252,86 | 188,66 | 188,66 |
| UetP04 | 126,14 | 132,63 | 187,2 | 200,37 | 140,82 | 153,36 | 205,36 | 215 | 230,47 | 247,35 | 183,92 | 188,65 |
| UetP05 | 148,43 | 163,37 | 132,47 | 184,99 | 147,28 | 147,28 | 195,71 | 217,04 | 231,25 | 274,74 | 188,54 | 188,54 |
| UetP06 | 121,14 | 162,9 | 130,48 | 130,48 | 153,42 | 160 | 220,77 | 230,54 | 231,96 | 252,04 | 174,55 | 188,02 |
| UetP07 | 153,91 | 153,91 | 131,35 | 186,95 | 146,88 | 149,07 | 220,66 | 222,74 | 230,37 | 276,66 | 186,71 | 188,72 |
| UetP08 | 132,51 | 148,52 | 137,13 | 191,4 | 149,79 | 149,79 | 216,92 | 222,93 | 289,95 | 289,95 | 183,73 | 183,73 |
| UetP09 | 143,86 | 152,81 | 130,45 | 184,44 | 139 | 149,9 | 211,49 | 232,52 | 230,43 | 287,46 | 186,23 | 186,23 |
| UetP10 | 122,18 | 143,75 | 142,8 | 142,8 | 134,72 | 151,08 | 213,09 | 223,04 | 252,06 | 276 | 186 | 188,66 |
| UetP11 | 127,89 | 150,68 | 180,56 | 186,92 | 144,86 | 151,17 | 213,19 | 224,85 | 274,71 | 274,71 | 186,09 | 186,09 |
| UetP12 | 130,39 | 153,81 | 180,56 | 194,66 | 147,15 | 153,14 | 224,81 | 224,81 | 223,95 | 252,17 | 185,4 | 185,4 |
| UetP13 | 162,99 | 162,99 | 173,49 | 187 | 0 | 0 | 211,51 | 211,51 | 296,7 | 316,7 | 183,78 | 188,57 |
| UetP14 | 143,8 | 172,67 | 130,38 | 196,08 | 144,75 | 144,75 | 215,16 | 222,84 | 231,42 | 231,42 | 188,24 | 188,24 |
| UetP15 | 89,79 | 143,86 | 131,34 | 190,13 | 146,75 | 146,75 | 226,65 | 228,46 | 230,36 | 242,17 | 186,18 | 190,77 |
| UetP16 | 113,11 | 113,11 | 188,9 | 192,24 | 161,42 | 161,42 | 218,55 | 224,74 | 242,19 | 272,89 | 183,77 | 190,62 |
| UetP17 | 132,68 | 160,84 | 180,54 | 184,99 | 153,11 | 153,11 | 211,14 | 220,84 | 231,39 | 231,39 | 183,83 | 183,83 |
| UetP18 | 134,72 | 134,72 | 190,16 | 201,99 | 136,37 | 136,37 | 168,3 | 168,3 | 231,33 | 231,33 | 0 | 0 |
| UetP19 | 119,63 | 119,63 | 0 | 0 | 0 | 0 | 203,43 | 214,89 | 252,86 | 285,08 | 183,83 | 190,8 |
| UetP20 | 123,93 | 150,4 | 130,3 | 130,3 | 153,62 | 153,62 | 207,44 | 213,17 | 230,43 | 281,38 | 188,5 | 188,5 |

Table A2.3 – Fixpoints used for Tandem scoring

| Locus | Fragment size | Allele |
|-------|---------------|--------|
| 1C3 | 177,46 | 178 |
| 1F9 | 204,45 | 205 |
| 2C2 | 155,15 | 156 |
| 2D4 | 121,23 | 122 |
| 2D6 | 206,30 | 208 |
| 2D9 | 130,19 | 130 |
| 2G12 | 260,46 | 260 |
| 3B2 | 122,07 | 123 |
| 3B9 | 194,29 | 196 |
| 3D5 | 140,68 | 140 |
| 3F1 | 220,83 | 221 |
| 4A7 | 295,53 | 296 |
| 5A8 | 186,18 | 187 |



Table A2.4 – Genotype data after allele binning with Tandem for loci 1C2, 1F9, 2C2, 2D4, 2D6, 2D9 and 2G12

| | 1C3 | | 1F9 | | 2C2 | | 2D4 | | 2D6 | | 2D9 | | 2G12 | |
|--------|-----|-----|-----|-----|-----|-----|-----|-----|-----|-----|-----|-----|------|-----|
| CaiP01 | 188 | 234 | 245 | 273 | 162 | 174 | 122 | 128 | 228 | 240 | 130 | 180 | 256 | 260 |
| CaiP02 | 0 | 0 | 235 | 279 | 154 | 172 | 0 | 0 | 188 | 194 | 164 | 164 | 258 | 270 |
| CaiP03 | 0 | 0 | 225 | 253 | 154 | 156 | 148 | 160 | 212 | 212 | 128 | 128 | 248 | 254 |
| CaiP04 | 0 | 0 | 229 | 251 | 172 | 194 | 126 | 126 | 232 | 232 | 130 | 164 | 256 | 274 |
| CaiP05 | 170 | 188 | 213 | 253 | 148 | 170 | 154 | 154 | 178 | 194 | 130 | 130 | 260 | 264 |
| CaiP06 | 202 | 202 | 251 | 295 | 160 | 162 | 150 | 150 | 216 | 236 | 130 | 130 | 252 | 262 |
| CaiP07 | 202 | 202 | 225 | 253 | 146 | 154 | 178 | 178 | 216 | 228 | 130 | 138 | 248 | 260 |
| CaiP08 | 190 | 202 | 225 | 237 | 148 | 168 | 0 | 0 | 182 | 212 | 132 | 132 | 264 | 266 |
| CaiP09 | 0 | 0 | 241 | 241 | 146 | 158 | 140 | 140 | 204 | 214 | 130 | 132 | 252 | 264 |
| CaiP10 | 168 | 186 | 267 | 267 | 162 | 174 | 128 | 128 | 178 | 232 | 128 | 130 | 264 | 270 |
| CaiP11 | 0 | 0 | 253 | 269 | 154 | 170 | 126 | 176 | 182 | 224 | 128 | 130 | 260 | 266 |
| CaiP12 | 0 | 0 | 251 | 251 | 160 | 160 | 136 | 150 | 174 | 174 | 128 | 130 | 248 | 264 |
| CaiP13 | 188 | 236 | 209 | 271 | 154 | 156 | 156 | 156 | 188 | 218 | 130 | 166 | 258 | 270 |
| CaiP14 | 188 | 224 | 249 | 287 | 154 | 198 | 126 | 180 | 220 | 220 | 160 | 178 | 260 | 264 |
| CaiP15 | 188 | 212 | 203 | 215 | 154 | 158 | 176 | 180 | 212 | 212 | 126 | 130 | 256 | 258 |
| CaiP16 | 200 | 200 | 251 | 259 | 154 | 172 | 132 | 132 | 178 | 212 | 130 | 130 | 264 | 266 |
| CaiP17 | 176 | 180 | 239 | 253 | 156 | 202 | 128 | 156 | 188 | 224 | 128 | 176 | 260 | 264 |
| CaiP18 | 184 | 184 | 249 | 249 | 154 | 176 | 156 | 182 | 190 | 190 | 128 | 130 | 260 | 262 |
| CaiP19 | 0 | 0 | 201 | 207 | 170 | 198 | 170 | 184 | 192 | 196 | 160 | 180 | 232 | 270 |
| CaiP20 | 0 | 0 | 249 | 251 | 146 | 160 | 136 | 154 | 208 | 224 | 130 | 162 | 258 | 262 |
| GesP01 | 186 | 240 | 219 | 245 | 154 | 170 | 126 | 160 | 184 | 184 | 128 | 182 | 262 | 272 |
| GesP02 | 222 | 222 | 199 | 263 | 162 | 170 | 138 | 168 | 186 | 218 | 128 | 132 | 256 | 276 |
| GesP03 | 186 | 212 | 265 | 265 | 156 | 162 | 0 | 0 | 212 | 220 | 130 | 138 | 270 | 272 |
| GesP04 | 0 | 0 | 239 | 239 | 156 | 200 | 124 | 166 | 224 | 224 | 128 | 178 | 270 | 270 |
| GesP05 | 190 | 190 | 255 | 255 | 154 | 154 | 136 | 136 | 196 | 246 | 130 | 132 | 274 | 298 |
| GesP06 | 194 | 204 | 249 | 255 | 154 | 170 | 154 | 154 | 178 | 208 | 128 | 128 | 272 | 276 |
| GesP07 | 202 | 202 | 203 | 267 | 160 | 170 | 156 | 180 | 222 | 244 | 128 | 128 | 262 | 274 |
| GesP08 | 0 | 0 | 211 | 253 | 156 | 172 | 136 | 136 | 0 | 0 | 130 | 136 | 268 | 276 |
| GesP09 | 170 | 182 | 249 | 275 | 154 | 164 | 158 | 176 | 184 | 220 | 132 | 136 | 252 | 254 |
| GesP10 | 204 | 204 | 205 | 209 | 154 | 170 | 154 | 154 | 184 | 208 | 128 | 128 | 264 | 264 |
| GesP11 | 0 | 0 | 199 | 263 | 146 | 158 | 126 | 152 | 194 | 226 | 130 | 192 | 260 | 262 |
| GesP12 | 194 | 220 | 229 | 251 | 154 | 162 | 124 | 196 | 218 | 218 | 132 | 192 | 252 | 270 |
| GesP13 | 194 | 194 | 257 | 257 | 154 | 202 | 124 | 150 | 222 | 244 | 162 | 192 | 248 | 252 |
| GesP14 | 194 | 194 | 213 | 233 | 172 | 172 | 142 | 142 | 174 | 174 | 182 | 192 | 262 | 262 |
| GesP15 | 0 | 0 | 239 | 239 | 154 | 160 | 0 | 0 | 224 | 224 | 130 | 130 | 254 | 270 |
| GesP16 | 0 | 0 | 227 | 251 | 154 | 170 | 124 | 162 | 0 | 0 | 130 | 130 | 260 | 266 |
| GesP17 | 172 | 172 | 233 | 275 | 168 | 172 | 122 | 170 | 214 | 218 | 138 | 166 | 256 | 268 |
| GesP18 | 190 | 236 | 209 | 273 | 158 | 162 | 162 | 180 | 184 | 212 | 128 | 192 | 258 | 268 |
| GesP19 | 0 | 0 | 199 | 251 | 154 | 162 | 0 | 0 | 194 | 194 | 162 | 182 | 260 | 260 |
| GesP20 | 180 | 180 | 247 | 251 | 154 | 172 | 136 | 138 | 226 | 226 | 130 | 132 | 268 | 274 |
| GrmP01 | 186 | 198 | 263 | 263 | 166 | 166 | 0 | 0 | 0 | 0 | 180 | 180 | 216 | 246 |
| GrmP02 | 168 | 198 | 283 | 283 | 152 | 152 | 158 | 158 | 176 | 200 | 204 | 204 | 224 | 238 |



| | 1C3 | | 1F9 | | 2C2 | | 2D4 | | 2D6 | | 2D9 | | 2G12 | |
|--------|-----|-----|-----|-----|-----|-----|-----|-----|-----|-----|-----|-----|------|-----|
| GrmP03 | 188 | 188 | 261 | 299 | 156 | 156 | 0 | 0 | 194 | 194 | 176 | 176 | 250 | 276 |
| GrmP04 | 0 | 0 | 231 | 237 | 158 | 162 | 154 | 156 | 168 | 168 | 132 | 218 | 240 | 242 |
| GrmP05 | 170 | 186 | 231 | 283 | 156 | 156 | 140 | 140 | 0 | 0 | 168 | 168 | 238 | 258 |
| GrmP06 | 174 | 190 | 231 | 239 | 156 | 158 | 160 | 160 | 182 | 194 | 174 | 220 | 230 | 250 |
| GrmP07 | 206 | 206 | 215 | 215 | 154 | 156 | 160 | 160 | 208 | 208 | 178 | 184 | 226 | 226 |
| GrmP08 | 0 | 0 | 213 | 243 | 166 | 166 | 136 | 136 | 184 | 186 | 186 | 186 | 276 | 276 |
| GrmP09 | 184 | 190 | 235 | 235 | 150 | 150 | 130 | 130 | 212 | 212 | 214 | 214 | 224 | 224 |
| GrmP10 | 168 | 168 | 323 | 323 | 156 | 156 | 136 | 144 | 194 | 194 | 168 | 168 | 230 | 234 |
| GrmP11 | 168 | 174 | 215 | 215 | 154 | 154 | 130 | 130 | 176 | 180 | 136 | 188 | 224 | 268 |
| GrmP12 | 0 | 0 | 277 | 277 | 146 | 146 | 0 | 0 | 0 | 0 | 180 | 180 | 236 | 242 |
| GrmP13 | 176 | 192 | 263 | 263 | 152 | 152 | 0 | 0 | 212 | 212 | 128 | 128 | 240 | 262 |
| GrmP14 | 176 | 204 | 239 | 253 | 152 | 152 | 132 | 132 | 168 | 182 | 182 | 182 | 224 | 242 |
| GrmP15 | 184 | 200 | 267 | 267 | 156 | 156 | 0 | 0 | 0 | 0 | 178 | 178 | 224 | 260 |
| GrmP16 | 186 | 198 | 247 | 263 | 162 | 166 | 130 | 132 | 0 | 0 | 184 | 184 | 238 | 238 |
| GrmP17 | 182 | 200 | 261 | 261 | 150 | 150 | 144 | 144 | 0 | 0 | 162 | 166 | 224 | 238 |
| GrmP18 | 172 | 176 | 229 | 229 | 150 | 158 | 0 | 0 | 210 | 210 | 156 | 174 | 230 | 238 |
| GrmP19 | 174 | 192 | 263 | 289 | 154 | 154 | 0 | 0 | 180 | 196 | 194 | 194 | 242 | 242 |
| GrmP20 | 0 | 0 | 235 | 235 | 154 | 162 | 0 | 0 | 0 | 0 | 196 | 196 | 228 | 228 |
| KunP01 | 178 | 200 | 253 | 285 | 146 | 182 | 150 | 160 | 196 | 196 | 198 | 198 | 260 | 264 |
| KunP02 | 202 | 216 | 225 | 251 | 154 | 170 | 0 | 0 | 184 | 218 | 132 | 138 | 272 | 272 |
| KunP03 | 212 | 212 | 227 | 285 | 162 | 180 | 122 | 164 | 192 | 194 | 132 | 132 | 260 | 260 |
| KunP04 | 198 | 224 | 215 | 215 | 154 | 160 | 142 | 142 | 220 | 220 | 132 | 132 | 258 | 266 |
| KunP05 | 204 | 236 | 209 | 231 | 156 | 176 | 196 | 196 | 184 | 184 | 128 | 178 | 256 | 270 |
| KunP06 | 178 | 200 | 221 | 221 | 146 | 156 | 150 | 162 | 188 | 224 | 130 | 164 | 254 | 258 |
| KunP07 | 0 | 0 | 243 | 243 | 154 | 156 | 126 | 156 | 194 | 208 | 130 | 130 | 260 | 268 |
| KunP08 | 0 | 0 | 245 | 279 | 156 | 156 | 160 | 160 | 212 | 212 | 130 | 178 | 256 | 258 |
| KunP09 | 190 | 204 | 229 | 229 | 156 | 162 | 138 | 148 | 212 | 212 | 134 | 166 | 260 | 262 |
| KunP10 | 204 | 212 | 199 | 239 | 154 | 170 | 164 | 182 | 194 | 194 | 128 | 166 | 248 | 262 |
| KunP11 | 186 | 186 | 209 | 255 | 154 | 198 | 124 | 156 | 224 | 224 | 140 | 184 | 260 | 262 |
| KunP12 | 188 | 220 | 267 | 267 | 154 | 170 | 134 | 160 | 218 | 238 | 132 | 182 | 264 | 268 |
| KunP13 | 196 | 196 | 199 | 205 | 154 | 168 | 152 | 152 | 188 | 194 | 130 | 192 | 260 | 262 |
| KunP14 | 174 | 186 | 249 | 293 | 146 | 162 | 136 | 154 | 188 | 228 | 130 | 164 | 260 | 262 |
| KunP15 | 198 | 198 | 221 | 273 | 156 | 174 | 170 | 180 | 216 | 224 | 128 | 130 | 280 | 280 |
| KunP16 | 206 | 212 | 203 | 223 | 154 | 162 | 126 | 140 | 178 | 178 | 130 | 132 | 264 | 264 |
| KunP17 | 186 | 236 | 273 | 287 | 154 | 174 | 136 | 156 | 224 | 224 | 176 | 184 | 262 | 268 |
| KunP18 | 228 | 228 | 253 | 261 | 146 | 172 | 0 | 0 | 184 | 194 | 130 | 138 | 260 | 274 |
| KunP19 | 184 | 212 | 203 | 211 | 160 | 162 | 156 | 156 | 184 | 216 | 132 | 132 | 260 | 266 |
| KunP20 | 0 | 0 | 253 | 253 | 156 | 162 | 156 | 156 | 182 | 204 | 134 | 136 | 264 | 268 |
| RueP01 | 202 | 202 | 233 | 251 | 154 | 158 | 162 | 162 | 222 | 222 | 130 | 192 | 272 | 272 |
| RueP02 | 0 | 0 | 199 | 209 | 154 | 156 | 126 | 138 | 248 | 248 | 180 | 204 | 270 | 272 |
| RueP03 | 0 | 0 | 227 | 237 | 156 | 170 | 150 | 164 | 0 | 0 | 130 | 182 | 248 | 268 |
| RueP04 | 228 | 228 | 0 | 0 | 162 | 198 | 136 | 156 | 226 | 240 | 130 | 130 | 264 | 274 |
| RueP05 | 186 | 186 | 209 | 259 | 154 | 154 | 128 | 156 | 192 | 192 | 130 | 132 | 270 | 276 |
| RueP06 | 178 | 178 | 209 | 209 | 154 | 156 | 140 | 140 | 246 | 246 | 130 | 178 | 262 | 270 |



| | 1C3 | | 1F9 | | 2C2 | | 2D4 | | 2D6 | | 2D9 | | 2G12 | |
|--------|-----|-----|-----|-----|-----|-----|-----|-----|-----|-----|-----|-----|------|-----|
| RueP07 | 166 | 194 | 255 | 265 | 156 | 156 | 120 | 148 | 214 | 214 | 138 | 180 | 248 | 248 |
| RueP08 | 0 | 0 | 251 | 263 | 146 | 146 | 164 | 184 | 188 | 218 | 128 | 128 | 258 | 260 |
| RueP09 | 0 | 0 | 255 | 273 | 156 | 162 | 162 | 172 | 0 | 0 | 184 | 192 | 260 | 260 |
| RueP10 | 0 | 0 | 245 | 253 | 146 | 160 | 148 | 158 | 0 | 0 | 132 | 132 | 258 | 266 |
| RueP11 | 198 | 198 | 211 | 253 | 146 | 154 | 136 | 136 | 220 | 226 | 130 | 192 | 262 | 268 |
| RueP12 | 0 | 0 | 199 | 237 | 172 | 174 | 124 | 146 | 180 | 180 | 162 | 182 | 248 | 260 |
| RueP13 | 190 | 236 | 207 | 273 | 154 | 174 | 178 | 178 | 214 | 214 | 136 | 166 | 266 | 268 |
| RueP14 | 0 | 0 | 199 | 215 | 0 | 0 | 158 | 158 | 0 | 0 | 128 | 130 | 262 | 266 |
| RueP15 | 0 | 0 | 229 | 249 | 146 | 162 | 158 | 178 | 212 | 216 | 130 | 130 | 260 | 268 |
| RueP16 | 188 | 212 | 205 | 241 | 154 | 154 | 164 | 164 | 190 | 190 | 130 | 162 | 260 | 266 |
| RueP17 | 180 | 188 | 207 | 227 | 154 | 172 | 126 | 156 | 186 | 192 | 130 | 130 | 260 | 266 |
| RueP18 | 0 | 0 | 209 | 265 | 146 | 156 | 126 | 158 | 232 | 232 | 136 | 136 | 248 | 260 |
| RueP19 | 182 | 192 | 211 | 275 | 160 | 164 | 186 | 186 | 188 | 188 | 132 | 186 | 248 | 264 |
| RueP20 | 0 | 0 | 199 | 209 | 168 | 170 | 150 | 150 | 210 | 238 | 130 | 130 | 258 | 262 |
| ScaP01 | 0 | 0 | 205 | 237 | 156 | 172 | 158 | 160 | 194 | 212 | 130 | 174 | 270 | 274 |
| ScaP02 | 192 | 192 | 223 | 241 | 154 | 156 | 124 | 124 | 212 | 212 | 134 | 192 | 260 | 266 |
| ScaP03 | 198 | 206 | 223 | 251 | 154 | 162 | 158 | 164 | 196 | 200 | 128 | 186 | 258 | 272 |
| ScaP04 | 188 | 188 | 201 | 205 | 156 | 198 | 156 | 166 | 192 | 192 | 128 | 184 | 260 | 264 |
| ScaP05 | 182 | 228 | 201 | 205 | 170 | 172 | 168 | 168 | 224 | 232 | 130 | 130 | 260 | 262 |
| ScaP06 | 188 | 188 | 201 | 205 | 154 | 156 | 138 | 166 | 184 | 184 | 184 | 190 | 260 | 272 |
| ScaP07 | 188 | 226 | 241 | 241 | 154 | 202 | 124 | 138 | 194 | 224 | 164 | 190 | 274 | 284 |
| ScaP08 | 182 | 182 | 253 | 253 | 154 | 156 | 136 | 136 | 168 | 188 | 130 | 186 | 260 | 262 |
| ScaP09 | 182 | 224 | 205 | 241 | 156 | 172 | 168 | 178 | 208 | 212 | 138 | 190 | 258 | 260 |
| ScaP10 | 192 | 198 | 205 | 237 | 146 | 154 | 126 | 126 | 184 | 184 | 130 | 130 | 260 | 260 |
| ScaP11 | 198 | 204 | 211 | 251 | 156 | 170 | 156 | 176 | 208 | 208 | 128 | 138 | 254 | 272 |
| ScaP12 | 182 | 224 | 199 | 235 | 154 | 196 | 124 | 136 | 212 | 212 | 130 | 162 | 258 | 260 |
| ScaP13 | 188 | 188 | 205 | 223 | 156 | 196 | 124 | 164 | 224 | 224 | 130 | 182 | 258 | 260 |
| ScaP14 | 182 | 224 | 205 | 205 | 154 | 168 | 158 | 162 | 224 | 224 | 130 | 188 | 260 | 266 |
| ScaP15 | 170 | 170 | 203 | 215 | 156 | 196 | 154 | 170 | 178 | 178 | 178 | 178 | 264 | 264 |
| ScaP16 | 188 | 192 | 239 | 273 | 156 | 160 | 152 | 164 | 194 | 196 | 182 | 208 | 240 | 252 |
| ScaP17 | 188 | 188 | 241 | 265 | 154 | 156 | 124 | 140 | 202 | 224 | 130 | 192 | 268 | 272 |
| ScaP18 | 198 | 228 | 259 | 265 | 154 | 158 | 164 | 164 | 0 | 0 | 162 | 192 | 248 | 264 |
| ScaP19 | 222 | 222 | 201 | 223 | 154 | 170 | 122 | 138 | 196 | 232 | 130 | 192 | 262 | 266 |
| ScaP20 | 0 | 0 | 201 | 205 | 156 | 196 | 158 | 166 | 184 | 184 | 134 | 174 | 260 | 260 |
| SomP01 | 188 | 188 | 207 | 269 | 154 | 170 | 136 | 154 | 208 | 220 | 130 | 160 | 258 | 262 |
| SomP02 | 0 | 0 | 201 | 227 | 162 | 172 | 136 | 150 | 190 | 196 | 134 | 174 | 212 | 268 |
| SomP03 | 212 | 212 | 251 | 261 | 172 | 174 | 124 | 152 | 216 | 230 | 132 | 136 | 260 | 268 |
| SomP04 | 196 | 202 | 227 | 253 | 154 | 172 | 154 | 162 | 224 | 232 | 130 | 130 | 266 | 268 |
| SomP05 | 0 | 0 | 211 | 211 | 154 | 182 | 158 | 162 | 216 | 220 | 138 | 182 | 248 | 248 |
| SomP06 | 0 | 0 | 229 | 237 | 162 | 162 | 136 | 138 | 178 | 212 | 128 | 128 | 260 | 266 |
| SomP07 | 220 | 220 | 213 | 241 | 154 | 194 | 136 | 138 | 196 | 196 | 130 | 132 | 270 | 270 |
| SomP08 | 184 | 226 | 249 | 271 | 154 | 156 | 140 | 166 | 184 | 188 | 130 | 184 | 260 | 260 |
| SomP09 | 198 | 198 | 249 | 289 | 160 | 198 | 140 | 154 | 210 | 210 | 130 | 172 | 266 | 274 |
| SomP10 | 194 | 228 | 207 | 249 | 160 | 176 | 136 | 150 | 180 | 180 | 130 | 130 | 256 | 274 |



| | 1C3 | | 1F9 | | 2C2 | | 2D4 | | 2D6 | | 2D9 | | 2G12 | |
|--------|-----|-----|-----|-----|-----|-----|-----|-----|-----|-----|-----|-----|------|-----|
| SomP11 | 190 | 224 | 249 | 253 | 196 | 196 | 126 | 180 | 218 | 218 | 128 | 130 | 260 | 276 |
| SomP12 | 232 | 232 | 197 | 199 | 162 | 164 | 122 | 134 | 212 | 212 | 186 | 190 | 254 | 258 |
| SomP13 | 192 | 192 | 253 | 267 | 146 | 162 | 158 | 162 | 196 | 252 | 130 | 198 | 252 | 266 |
| SomP14 | 186 | 204 | 253 | 253 | 154 | 156 | 134 | 188 | 180 | 180 | 128 | 192 | 258 | 270 |
| SomP15 | 0 | 0 | 227 | 231 | 162 | 162 | 126 | 154 | 226 | 226 | 168 | 214 | 254 | 274 |
| SomP16 | 212 | 212 | 237 | 249 | 154 | 162 | 122 | 122 | 212 | 212 | 130 | 130 | 254 | 260 |
| SomP17 | 174 | 174 | 253 | 263 | 146 | 146 | 122 | 122 | 184 | 212 | 0 | 0 | 266 | 274 |
| SomP18 | 0 | 0 | 259 | 271 | 154 | 154 | 136 | 166 | 184 | 212 | 190 | 190 | 258 | 260 |
| SomP19 | 184 | 184 | 203 | 211 | 156 | 196 | 124 | 126 | 198 | 198 | 128 | 132 | 256 | 258 |
| SomP20 | 184 | 200 | 197 | 253 | 146 | 162 | 122 | 158 | 252 | 252 | 130 | 130 | 254 | 266 |
| SomP21 | 192 | 192 | 199 | 267 | 146 | 162 | 134 | 158 | 212 | 212 | 130 | 186 | 254 | 266 |
| UetP01 | 202 | 202 | 235 | 237 | 158 | 160 | 176 | 176 | 212 | 234 | 132 | 180 | 260 | 260 |
| UetP02 | 196 | 226 | 255 | 277 | 154 | 156 | 126 | 176 | 210 | 214 | 172 | 172 | 260 | 266 |
| UetP03 | 164 | 184 | 203 | 209 | 154 | 164 | 134 | 134 | 190 | 224 | 128 | 130 | 260 | 260 |
| UetP04 | 178 | 192 | 227 | 235 | 158 | 170 | 122 | 154 | 224 | 224 | 132 | 132 | 276 | 276 |
| UetP05 | 212 | 234 | 209 | 209 | 146 | 202 | 150 | 154 | 188 | 212 | 130 | 192 | 262 | 262 |
| UetP06 | 0 | 0 | 191 | 273 | 164 | 172 | 124 | 134 | 210 | 216 | 132 | 166 | 260 | 262 |
| UetP07 | 184 | 192 | 207 | 253 | 170 | 176 | 126 | 126 | 208 | 208 | 156 | 192 | 254 | 262 |
| UetP08 | 188 | 202 | 201 | 201 | 156 | 170 | 154 | 154 | 210 | 210 | 180 | 192 | 258 | 264 |
| UetP09 | 192 | 192 | 215 | 243 | 146 | 202 | 158 | 166 | 194 | 196 | 128 | 180 | 260 | 268 |
| UetP10 | 202 | 202 | 203 | 215 | 154 | 200 | 156 | 156 | 194 | 212 | 128 | 130 | 252 | 268 |
| UetP11 | 190 | 190 | 225 | 269 | 146 | 156 | 168 | 180 | 230 | 232 | 130 | 184 | 260 | 268 |
| UetP12 | 212 | 212 | 251 | 257 | 158 | 162 | 136 | 166 | 178 | 214 | 130 | 138 | 258 | 266 |
| UetP13 | 212 | 212 | 265 | 321 | 154 | 162 | 122 | 134 | 224 | 224 | 130 | 130 | 258 | 264 |
| UetP14 | 186 | 200 | 209 | 225 | 146 | 172 | 122 | 130 | 224 | 224 | 136 | 182 | 258 | 278 |
| UetP15 | 202 | 202 | 203 | 241 | 156 | 200 | 148 | 168 | 212 | 234 | 132 | 194 | 262 | 272 |
| UetP16 | 178 | 178 | 245 | 301 | 154 | 196 | 126 | 166 | 182 | 208 | 138 | 204 | 266 | 270 |
| UetP17 | 192 | 204 | 207 | 271 | 146 | 170 | 148 | 160 | 216 | 218 | 130 | 184 | 258 | 272 |
| UetP18 | 224 | 224 | 251 | 255 | 154 | 170 | 124 | 124 | 232 | 252 | 130 | 132 | 260 | 276 |
| UetP19 | 220 | 220 | 241 | 247 | 154 | 192 | 122 | 132 | 212 | 212 | 0 | 0 | 260 | 268 |
| UetP20 | 184 | 216 | 215 | 253 | 154 | 154 | 162 | 172 | 212 | 212 | 128 | 194 | 262 | 264 |



Table A2.5 – Genotype data after allele binning with Tandem for loci 3B2, 3B9, 3D5, 3F1, 4A7 and 5A8

| | 3B2 | | 3B9 | | 3D5 | | 3F1 | | 4A7 | | 5A8 | |
|--------|-----|-----|-----|-----|-----|-----|-----|-----|-----|-----|-----|-----|
| CaiP01 | 103 | 153 | 128 | 128 | 144 | 144 | 219 | 229 | 264 | 290 | 187 | 189 |
| CaiP02 | 103 | 157 | 194 | 194 | 136 | 140 | 213 | 221 | 270 | 270 | 187 | 199 |
| CaiP03 | 131 | 143 | 174 | 184 | 140 | 142 | 215 | 223 | 264 | 300 | 185 | 187 |
| CaiP04 | 121 | 125 | 0 | 0 | 146 | 154 | 171 | 213 | 220 | 276 | 185 | 185 |
| CaiP05 | 123 | 149 | 196 | 230 | 142 | 146 | 213 | 221 | 220 | 284 | 189 | 189 |
| CaiP06 | 119 | 131 | 180 | 214 | 146 | 146 | 217 | 223 | 234 | 296 | 185 | 187 |
| CaiP07 | 147 | 155 | 142 | 188 | 146 | 150 | 225 | 229 | 222 | 222 | 189 | 189 |
| CaiP08 | 109 | 151 | 188 | 198 | 148 | 168 | 217 | 225 | 206 | 286 | 189 | 189 |
| CaiP09 | 129 | 157 | 200 | 200 | 144 | 144 | 217 | 217 | 248 | 304 | 189 | 189 |
| CaiP10 | 131 | 151 | 128 | 192 | 152 | 152 | 217 | 221 | 246 | 274 | 185 | 185 |
| CaiP11 | 149 | 149 | 202 | 202 | 152 | 158 | 219 | 219 | 246 | 264 | 0 | 0 |
| CaiP12 | 137 | 151 | 186 | 200 | 152 | 164 | 195 | 197 | 212 | 272 | 189 | 189 |
| CaiP13 | 129 | 129 | 160 | 184 | 146 | 146 | 227 | 227 | 220 | 220 | 177 | 203 |
| CaiP14 | 135 | 135 | 184 | 198 | 140 | 140 | 209 | 213 | 220 | 248 | 189 | 189 |
| CaiP15 | 115 | 125 | 198 | 198 | 130 | 148 | 223 | 227 | 234 | 256 | 0 | 0 |
| CaiP16 | 125 | 139 | 182 | 190 | 148 | 148 | 221 | 221 | 246 | 284 | 185 | 187 |
| CaiP17 | 125 | 125 | 128 | 196 | 146 | 158 | 205 | 221 | 238 | 246 | 189 | 189 |
| CaiP18 | 113 | 143 | 200 | 200 | 148 | 148 | 231 | 231 | 208 | 222 | 0 | 0 |
| CaiP19 | 149 | 151 | 120 | 128 | 150 | 150 | 227 | 233 | 220 | 246 | 187 | 187 |
| CaiP20 | 115 | 139 | 186 | 196 | 142 | 142 | 211 | 211 | 220 | 272 | 179 | 187 |
| GesP01 | 105 | 113 | 136 | 236 | 146 | 148 | 211 | 221 | 270 | 296 | 189 | 189 |
| GesP02 | 121 | 133 | 168 | 188 | 146 | 148 | 213 | 221 | 212 | 276 | 177 | 177 |
| GesP03 | 137 | 149 | 182 | 196 | 140 | 156 | 229 | 231 | 212 | 290 | 0 | 0 |
| GesP04 | 139 | 165 | 186 | 202 | 158 | 158 | 217 | 233 | 212 | 272 | 185 | 189 |
| GesP05 | 129 | 149 | 202 | 202 | 0 | 0 | 215 | 233 | 220 | 220 | 185 | 189 |
| GesP06 | 113 | 137 | 178 | 186 | 148 | 148 | 219 | 231 | 266 | 284 | 185 | 187 |
| GesP07 | 125 | 125 | 130 | 186 | 142 | 160 | 213 | 213 | 222 | 290 | 189 | 189 |
| GesP08 | 115 | 163 | 128 | 198 | 148 | 148 | 225 | 233 | 208 | 284 | 185 | 187 |
| GesP09 | 149 | 161 | 136 | 214 | 140 | 140 | 185 | 235 | 234 | 234 | 185 | 185 |
| GesP10 | 147 | 161 | 192 | 226 | 152 | 152 | 195 | 209 | 280 | 316 | 185 | 185 |
| GesP11 | 105 | 115 | 136 | 194 | 140 | 150 | 213 | 235 | 264 | 294 | 187 | 189 |
| GesP12 | 103 | 129 | 130 | 196 | 134 | 164 | 225 | 227 | 276 | 284 | 185 | 189 |
| GesP13 | 103 | 121 | 128 | 128 | 142 | 144 | 213 | 223 | 234 | 246 | 187 | 189 |
| GesP14 | 121 | 121 | 186 | 188 | 138 | 148 | 213 | 229 | 246 | 246 | 0 | 0 |
| GesP15 | 121 | 149 | 168 | 188 | 140 | 140 | 215 | 225 | 220 | 220 | 187 | 187 |
| GesP16 | 137 | 149 | 202 | 226 | 0 | 0 | 221 | 221 | 222 | 240 | 189 | 189 |
| GesP17 | 113 | 149 | 174 | 188 | 138 | 138 | 225 | 229 | 266 | 276 | 187 | 187 |
| GesP18 | 149 | 165 | 128 | 128 | 132 | 132 | 227 | 227 | 220 | 220 | 189 | 189 |
| GesP19 | 129 | 143 | 204 | 204 | 158 | 158 | 227 | 227 | 220 | 324 | 185 | 187 |
| GesP20 | 137 | 141 | 168 | 198 | 140 | 148 | 215 | 217 | 0 | 0 | 185 | 187 |
| GrmP01 | 97 | 103 | 136 | 146 | 122 | 148 | 169 | 169 | 236 | 236 | 185 | 189 |
| GrmP02 | 93 | 117 | 138 | 192 | 140 | 160 | 213 | 215 | 236 | 236 | 0 | 0 |



| | 3B2 | | 3B9 | | 3D5 | | 3F1 | | 4A7 | | 5A8 | |
|--------|-----|-----|-----|-----|-----|-----|-----|-----|-----|-----|-----|-----|
| GrmP03 | 103 | 103 | 136 | 156 | 146 | 146 | 215 | 215 | 238 | 238 | 181 | 187 |
| GrmP04 | 103 | 105 | 160 | 232 | 122 | 176 | 0 | 0 | 280 | 280 | 0 | 0 |
| GrmP05 | 103 | 103 | 138 | 164 | 136 | 162 | 169 | 169 | 222 | 236 | 187 | 187 |
| GrmP06 | 103 | 123 | 198 | 234 | 138 | 176 | 0 | 0 | 222 | 238 | 179 | 179 |
| GrmP07 | 103 | 113 | 160 | 182 | 138 | 178 | 0 | 0 | 224 | 238 | 179 | 189 |
| GrmP08 | 95 | 103 | 138 | 188 | 152 | 168 | 223 | 223 | 238 | 238 | 185 | 185 |
| GrmP09 | 0 | 0 | 134 | 190 | 126 | 186 | 169 | 169 | 216 | 238 | 0 | 0 |
| GrmP10 | 113 | 117 | 130 | 160 | 164 | 178 | 211 | 211 | 238 | 238 | 0 | 0 |
| GrmP11 | 113 | 127 | 134 | 158 | 138 | 162 | 0 | 0 | 224 | 224 | 187 | 187 |
| GrmP12 | 103 | 117 | 136 | 136 | 170 | 170 | 215 | 219 | 220 | 238 | 0 | 0 |
| GrmP13 | 95 | 95 | 160 | 198 | 144 | 198 | 0 | 0 | 238 | 238 | 181 | 181 |
| GrmP14 | 103 | 103 | 134 | 166 | 148 | 168 | 169 | 169 | 220 | 238 | 187 | 187 |
| GrmP15 | 103 | 129 | 136 | 190 | 134 | 172 | 0 | 0 | 240 | 240 | 189 | 189 |
| GrmP16 | 93 | 103 | 156 | 160 | 140 | 142 | 0 | 0 | 238 | 266 | 179 | 189 |
| GrmP17 | 103 | 125 | 128 | 156 | 148 | 150 | 169 | 169 | 228 | 266 | 0 | 0 |
| GrmP18 | 123 | 143 | 134 | 160 | 134 | 176 | 0 | 0 | 238 | 238 | 181 | 181 |
| GrmP19 | 127 | 129 | 140 | 182 | 150 | 162 | 0 | 0 | 206 | 238 | 181 | 185 |
| GrmP20 | 105 | 163 | 136 | 160 | 146 | 146 | 0 | 0 | 208 | 238 | 187 | 187 |
| KunP01 | 143 | 143 | 128 | 182 | 142 | 142 | 215 | 219 | 266 | 290 | 189 | 189 |
| KunP02 | 139 | 161 | 188 | 202 | 140 | 140 | 197 | 217 | 256 | 272 | 0 | 0 |
| KunP03 | 137 | 161 | 188 | 188 | 142 | 164 | 211 | 227 | 288 | 296 | 189 | 189 |
| KunP04 | 163 | 163 | 202 | 202 | 144 | 148 | 219 | 223 | 272 | 290 | 187 | 187 |
| KunP05 | 105 | 131 | 188 | 196 | 138 | 138 | 217 | 247 | 294 | 302 | 187 | 187 |
| KunP06 | 131 | 163 | 188 | 200 | 142 | 142 | 175 | 233 | 220 | 272 | 189 | 189 |
| KunP07 | 125 | 133 | 182 | 182 | 150 | 150 | 229 | 229 | 272 | 282 | 187 | 189 |
| KunP08 | 123 | 169 | 182 | 202 | 146 | 152 | 189 | 227 | 258 | 272 | 185 | 189 |
| KunP09 | 113 | 137 | 174 | 174 | 130 | 138 | 215 | 219 | 232 | 266 | 0 | 0 |
| KunP10 | 115 | 127 | 194 | 194 | 136 | 142 | 0 | 0 | 220 | 270 | 187 | 187 |
| KunP11 | 161 | 161 | 182 | 182 | 138 | 152 | 225 | 225 | 248 | 274 | 187 | 187 |
| KunP12 | 131 | 169 | 128 | 168 | 146 | 152 | 175 | 219 | 220 | 256 | 189 | 189 |
| KunP13 | 119 | 123 | 188 | 194 | 128 | 146 | 227 | 229 | 214 | 220 | 189 | 189 |
| KunP14 | 93 | 163 | 202 | 202 | 140 | 148 | 227 | 229 | 220 | 292 | 187 | 187 |
| KunP15 | 93 | 117 | 130 | 180 | 0 | 0 | 223 | 225 | 278 | 278 | 187 | 189 |
| KunP16 | 123 | 161 | 196 | 196 | 144 | 156 | 219 | 225 | 222 | 272 | 185 | 185 |
| KunP17 | 109 | 129 | 160 | 194 | 140 | 140 | 209 | 219 | 220 | 278 | 189 | 189 |
| KunP18 | 131 | 163 | 196 | 196 | 144 | 148 | 215 | 219 | 246 | 262 | 179 | 187 |
| KunP19 | 143 | 161 | 198 | 198 | 136 | 142 | 217 | 219 | 246 | 246 | 187 | 187 |
| KunP20 | 137 | 147 | 128 | 130 | 152 | 156 | 225 | 227 | 284 | 284 | 187 | 189 |
| RueP01 | 127 | 127 | 196 | 202 | 138 | 138 | 207 | 213 | 268 | 276 | 189 | 189 |
| RueP02 | 151 | 163 | 196 | 196 | 152 | 182 | 217 | 217 | 246 | 270 | 189 | 189 |
| RueP03 | 131 | 141 | 136 | 198 | 144 | 158 | 221 | 233 | 222 | 266 | 187 | 191 |
| RueP04 | 105 | 123 | 196 | 196 | 0 | 0 | 215 | 215 | 222 | 266 | 187 | 187 |
| RueP05 | 127 | 135 | 182 | 206 | 138 | 146 | 167 | 213 | 268 | 276 | 189 | 189 |
| RueP06 | 93 | 145 | 128 | 182 | 146 | 146 | 221 | 229 | 288 | 304 | 187 | 187 |



| | 3B2 | | 3B9 | | 3D5 | | 3F1 | | 4A7 | | 5A8 | |
|--------|-----|-----|-----|-----|-----|-----|-----|-----|-----|-----|-----|-----|
| RueP07 | 0 | 0 | 196 | 196 | 142 | 142 | 197 | 217 | 232 | 238 | 179 | 179 |
| RueP08 | 153 | 165 | 186 | 200 | 144 | 146 | 221 | 225 | 264 | 296 | 189 | 191 |
| RueP09 | 143 | 161 | 180 | 200 | 142 | 154 | 197 | 221 | 220 | 246 | 189 | 193 |
| RueP10 | 105 | 115 | 160 | 226 | 152 | 152 | 225 | 227 | 244 | 282 | 185 | 185 |
| RueP11 | 105 | 125 | 182 | 196 | 150 | 152 | 215 | 217 | 206 | 206 | 179 | 179 |
| RueP12 | 143 | 149 | 130 | 196 | 166 | 166 | 231 | 231 | 274 | 288 | 189 | 189 |
| RueP13 | 149 | 149 | 160 | 200 | 138 | 150 | 223 | 223 | 270 | 288 | 185 | 189 |
| RueP14 | 115 | 137 | 196 | 196 | 130 | 144 | 213 | 213 | 266 | 288 | 185 | 189 |
| RueP15 | 145 | 165 | 192 | 196 | 146 | 164 | 187 | 221 | 246 | 246 | 187 | 187 |
| RueP16 | 127 | 143 | 182 | 186 | 0 | 0 | 211 | 215 | 220 | 220 | 187 | 193 |
| RueP17 | 147 | 161 | 188 | 198 | 158 | 158 | 209 | 209 | 272 | 280 | 185 | 189 |
| RueP18 | 125 | 161 | 128 | 186 | 134 | 150 | 215 | 225 | 246 | 296 | 187 | 187 |
| RueP19 | 123 | 131 | 188 | 188 | 130 | 138 | 219 | 225 | 222 | 284 | 185 | 185 |
| RueP20 | 131 | 151 | 136 | 140 | 152 | 152 | 197 | 213 | 222 | 296 | 191 | 191 |
| ScaP01 | 115 | 141 | 136 | 210 | 142 | 146 | 213 | 223 | 220 | 254 | 185 | 191 |
| ScaP02 | 149 | 157 | 168 | 206 | 136 | 156 | 213 | 223 | 240 | 278 | 187 | 191 |
| ScaP03 | 103 | 141 | 128 | 136 | 146 | 146 | 217 | 217 | 222 | 344 | 189 | 189 |
| ScaP04 | 119 | 143 | 190 | 190 | 142 | 142 | 213 | 223 | 248 | 302 | 189 | 189 |
| ScaP05 | 103 | 143 | 192 | 192 | 146 | 146 | 0 | 0 | 220 | 220 | 191 | 191 |
| ScaP06 | 143 | 157 | 128 | 206 | 146 | 156 | 213 | 223 | 240 | 272 | 189 | 189 |
| ScaP07 | 141 | 157 | 196 | 212 | 156 | 156 | 223 | 223 | 240 | 240 | 189 | 191 |
| ScaP08 | 149 | 151 | 196 | 200 | 138 | 160 | 219 | 229 | 276 | 282 | 189 | 189 |
| ScaP09 | 103 | 149 | 130 | 130 | 150 | 150 | 213 | 213 | 298 | 320 | 187 | 191 |
| ScaP10 | 93 | 115 | 130 | 200 | 156 | 156 | 167 | 223 | 240 | 240 | 0 | 0 |
| ScaP11 | 127 | 161 | 128 | 202 | 144 | 144 | 211 | 235 | 222 | 296 | 187 | 187 |
| ScaP12 | 125 | 129 | 192 | 206 | 146 | 146 | 217 | 223 | 220 | 268 | 189 | 189 |
| ScaP13 | 121 | 129 | 130 | 136 | 148 | 148 | 213 | 223 | 222 | 320 | 187 | 191 |
| ScaP14 | 109 | 123 | 134 | 206 | 140 | 156 | 167 | 167 | 222 | 320 | 187 | 191 |
| ScaP15 | 123 | 123 | 186 | 200 | 132 | 150 | 0 | 0 | 276 | 276 | 185 | 185 |
| ScaP16 | 105 | 105 | 152 | 152 | 132 | 150 | 219 | 227 | 268 | 274 | 189 | 189 |
| ScaP17 | 129 | 149 | 202 | 202 | 156 | 156 | 181 | 223 | 222 | 240 | 191 | 191 |
| ScaP18 | 149 | 169 | 136 | 182 | 146 | 146 | 217 | 231 | 234 | 344 | 185 | 187 |
| ScaP19 | 143 | 149 | 168 | 186 | 136 | 136 | 167 | 167 | 220 | 220 | 187 | 187 |
| ScaP20 | 103 | 115 | 128 | 130 | 146 | 146 | 213 | 223 | 272 | 296 | 191 | 191 |
| SomP01 | 149 | 149 | 160 | 192 | 152 | 152 | 225 | 225 | 220 | 220 | 183 | 191 |
| SomP02 | 115 | 129 | 196 | 232 | 146 | 150 | 215 | 221 | 220 | 220 | 189 | 189 |
| SomP03 | 143 | 153 | 182 | 198 | 142 | 156 | 221 | 223 | 220 | 220 | 187 | 189 |
| SomP04 | 147 | 149 | 128 | 136 | 148 | 148 | 171 | 219 | 222 | 272 | 0 | 0 |
| SomP05 | 105 | 163 | 212 | 226 | 142 | 152 | 213 | 217 | 206 | 282 | 0 | 0 |
| SomP06 | 145 | 169 | 198 | 198 | 140 | 146 | 215 | 221 | 220 | 222 | 185 | 189 |
| SomP07 | 123 | 149 | 186 | 186 | 142 | 152 | 213 | 213 | 288 | 288 | 185 | 187 |
| SomP08 | 123 | 149 | 174 | 200 | 142 | 150 | 167 | 219 | 220 | 220 | 189 | 189 |
| SomP09 | 103 | 157 | 196 | 196 | 146 | 168 | 221 | 227 | 220 | 266 | 189 | 189 |
| SomP10 | 105 | 125 | 196 | 196 | 136 | 140 | 225 | 233 | 272 | 272 | 187 | 189 |



| | 3B2 | | 3B9 | | 3D5 | | 3F1 | | 4A7 | | 5A8 | |
|--------|-----|-----|-----|-----|-----|-----|-----|-----|-----|-----|-----|-----|
| SomP11 | 125 | 129 | 194 | 198 | 146 | 152 | 195 | 217 | 220 | 334 | 177 | 187 |
| SomP12 | 115 | 129 | 200 | 200 | 138 | 146 | 177 | 209 | 278 | 296 | 187 | 187 |
| SomP13 | 127 | 149 | 128 | 142 | 146 | 156 | 229 | 229 | 272 | 274 | 0 | 0 |
| SomP14 | 115 | 143 | 192 | 194 | 138 | 148 | 219 | 233 | 234 | 272 | 185 | 189 |
| SomP15 | 137 | 149 | 184 | 192 | 148 | 148 | 211 | 213 | 220 | 284 | 189 | 189 |
| SomP16 | 127 | 143 | 182 | 196 | 146 | 146 | 213 | 225 | 214 | 288 | 187 | 189 |
| SomP17 | 117 | 131 | 200 | 200 | 152 | 152 | 173 | 225 | 220 | 254 | 185 | 189 |
| SomP18 | 131 | 151 | 136 | 198 | 142 | 146 | 185 | 213 | 282 | 288 | 189 | 189 |
| SomP19 | 143 | 143 | 168 | 180 | 146 | 146 | 195 | 213 | 220 | 282 | 189 | 189 |
| SomP20 | 129 | 129 | 128 | 196 | 146 | 146 | 209 | 229 | 272 | 296 | 187 | 187 |
| SomP21 | 115 | 129 | 142 | 202 | 138 | 146 | 209 | 229 | 274 | 278 | 0 | 0 |
| UetP01 | 115 | 133 | 202 | 202 | 0 | 0 | 225 | 225 | 258 | 258 | 187 | 187 |
| UetP02 | 113 | 159 | 178 | 198 | 146 | 156 | 219 | 221 | 240 | 278 | 179 | 187 |
| UetP03 | 103 | 125 | 188 | 200 | 142 | 152 | 213 | 221 | 220 | 246 | 189 | 189 |
| UetP04 | 127 | 133 | 188 | 202 | 140 | 152 | 207 | 217 | 220 | 240 | 185 | 189 |
| UetP05 | 147 | 161 | 130 | 186 | 146 | 146 | 197 | 219 | 222 | 272 | 189 | 189 |
| UetP06 | 123 | 161 | 128 | 128 | 152 | 158 | 221 | 231 | 222 | 246 | 177 | 189 |
| UetP07 | 153 | 153 | 130 | 188 | 146 | 148 | 221 | 223 | 220 | 274 | 187 | 189 |
| UetP08 | 133 | 147 | 136 | 194 | 148 | 148 | 217 | 223 | 290 | 290 | 185 | 185 |
| UetP09 | 143 | 151 | 128 | 186 | 138 | 148 | 213 | 233 | 220 | 288 | 187 | 187 |
| UetP10 | 123 | 143 | 142 | 142 | 134 | 150 | 215 | 225 | 246 | 274 | 187 | 189 |
| UetP11 | 129 | 149 | 182 | 188 | 144 | 150 | 215 | 225 | 272 | 272 | 187 | 187 |
| UetP12 | 131 | 153 | 182 | 196 | 146 | 152 | 225 | 225 | 212 | 246 | 187 | 187 |
| UetP13 | 161 | 161 | 174 | 188 | 0 | 0 | 213 | 213 | 298 | 322 | 185 | 189 |
| UetP14 | 143 | 169 | 128 | 198 | 144 | 144 | 217 | 223 | 222 | 222 | 189 | 189 |
| UetP15 | 93 | 143 | 130 | 192 | 146 | 146 | 227 | 229 | 220 | 234 | 187 | 191 |
| UetP16 | 115 | 115 | 190 | 194 | 160 | 160 | 219 | 225 | 234 | 270 | 185 | 191 |
| UetP17 | 133 | 159 | 182 | 186 | 152 | 152 | 213 | 221 | 222 | 222 | 185 | 185 |
| UetP18 | 135 | 135 | 192 | 204 | 136 | 136 | 171 | 171 | 222 | 222 | 0 | 0 |
| UetP19 | 121 | 121 | 0 | 0 | 0 | 0 | 205 | 215 | 246 | 284 | 185 | 191 |
| UetP20 | 125 | 149 | 128 | 128 | 152 | 152 | 209 | 215 | 220 | 280 | 189 | 189 |



Appendix 3 – Individual membership proportions with STRUCTURE and assignments with GeneClass2

Here, results of STRUCTURE and GeneClass2 are presented at the individual level for different cluster configurations.

Table A3.1 – Individual STRUCTURE membership proportions and individual assignment scores computed with GeneClass2 for K = 2 (conditional formatting with green tones for coastal and blue tones for interior clusters) (BC = British Columbia, Canada, OR = Oregon, USA, WA = Washington, USA)

| Tree # | STRUCTURE (27.1.22) | | GeneClass2 (27.1.22) | |
|--------|---------------------|----------|----------------------|----------|
| | Coastal | Interior | Coastal | Interior |
| CaiP01 | 0,990 | 0,010 | 100,0 | 0,0 |
| CaiP02 | 0,877 | 0,123 | 100,0 | 0,0 |
| CaiP03 | 0,995 | 0,005 | 100,0 | 0,0 |
| CaiP04 | 0,996 | 0,004 | 100,0 | 0,0 |
| CaiP05 | 0,992 | 0,008 | 99,5 | 0,5 |
| CaiP06 | 0,990 | 0,010 | 100,0 | 0,0 |
| CaiP07 | 0,997 | 0,003 | 100,0 | 0,0 |
| CaiP08 | 0,986 | 0,014 | 100,0 | 0,0 |
| CaiP09 | 0,994 | 0,006 | 100,0 | 0,0 |
| CaiP10 | 0,986 | 0,014 | 100,0 | 0,0 |
| CaiP11 | 0,997 | 0,003 | 100,0 | 0,0 |
| CaiP12 | 0,997 | 0,003 | 100,0 | 0,0 |
| CaiP13 | 0,995 | 0,005 | 100,0 | 0,0 |
| CaiP14 | 0,997 | 0,003 | 100,0 | 0,0 |
| CaiP15 | 0,990 | 0,010 | 100,0 | 0,0 |
| CaiP16 | 0,992 | 0,008 | 100,0 | 0,0 |
| CaiP17 | 0,868 | 0,132 | 100,0 | 0,0 |
| CaiP18 | 0,992 | 0,008 | 100,0 | 0,0 |
| CaiP19 | 0,977 | 0,023 | 99,9 | 0,1 |
| CaiP20 | 0,996 | 0,004 | 100,0 | 0,0 |
| GesP01 | 0,977 | 0,023 | 100,0 | 0,0 |
| GesP02 | 0,995 | 0,005 | 100,0 | 0,0 |
| GesP03 | 0,997 | 0,003 | 100,0 | 0,0 |
| GesP04 | 0,997 | 0,003 | 100,0 | 0,0 |
| GesP05 | 0,996 | 0,004 | 100,0 | 0,0 |
| GesP06 | 0,992 | 0,008 | 100,0 | 0,0 |
| GesP07 | 0,997 | 0,003 | 100,0 | 0,0 |
| GesP08 | 0,995 | 0,005 | 100,0 | 0,0 |
| GesP09 | 0,994 | 0,006 | 100,0 | 0,0 |
| GesP10 | 0,995 | 0,005 | 100,0 | 0,0 |
| GesP11 | 0,982 | 0,018 | 100,0 | 0,0 |
| GesP12 | 0,994 | 0,006 | 100,0 | 0,0 |



| Tree # | STRUCTURE (27.1.22) | | GeneClass2 (27.1.22) | |
|--------|---------------------|----------|----------------------|----------|
| | Coastal | Interior | Coastal | Interior |
| GesP13 | 0,987 | 0,013 | 100,0 | 0,0 |
| GesP14 | 0,996 | 0,004 | 100,0 | 0,0 |
| GesP15 | 0,996 | 0,004 | 100,0 | 0,0 |
| GesP16 | 0,996 | 0,004 | 100,0 | 0,0 |
| GesP17 | 0,975 | 0,025 | 100,0 | 0,0 |
| GesP18 | 0,991 | 0,009 | 100,0 | 0,0 |
| GesP19 | 0,995 | 0,005 | 100,0 | 0,0 |
| GesP20 | 0,996 | 0,004 | 100,0 | 0,0 |
| GrmP01 | 0,004 | 0,996 | 0,0 | 100,0 |
| GrmP02 | 0,007 | 0,993 | 0,0 | 100,0 |
| GrmP03 | 0,011 | 0,989 | 89,4 | 10,6 |
| GrmP04 | 0,045 | 0,955 | 0,0 | 100,0 |
| GrmP05 | 0,006 | 0,994 | 0,0 | 100,0 |
| GrmP06 | 0,007 | 0,993 | 0,1 | 99,9 |
| GrmP07 | 0,031 | 0,969 | 100,0 | 0,0 |
| GrmP08 | 0,089 | 0,911 | 100,0 | 0,0 |
| GrmP09 | 0,003 | 0,997 | 0,0 | 100,0 |
| GrmP10 | 0,005 | 0,995 | 0,0 | 100,0 |
| GrmP11 | 0,017 | 0,983 | 18,8 | 81,2 |
| GrmP12 | 0,026 | 0,974 | 57,7 | 42,3 |
| GrmP13 | 0,018 | 0,982 | 0,0 | 100,0 |
| GrmP14 | 0,006 | 0,994 | 0,0 | 100,0 |
| GrmP15 | 0,446 | 0,554 | 99,9 | 0,1 |
| GrmP16 | 0,006 | 0,994 | 7,0 | 93,0 |
| GrmP17 | 0,007 | 0,993 | 1,4 | 98,6 |
| GrmP18 | 0,005 | 0,995 | 0,0 | 100,0 |
| GrmP19 | 0,268 | 0,732 | 99,5 | 0,5 |
| GrmP20 | 0,161 | 0,839 | 100,0 | 0,0 |
| KunP01 | 0,996 | 0,004 | 100,0 | 0,0 |
| KunP02 | 0,997 | 0,003 | 100,0 | 0,0 |
| KunP03 | 0,996 | 0,004 | 100,0 | 0,0 |
| KunP04 | 0,997 | 0,003 | 100,0 | 0,0 |
| KunP05 | 0,990 | 0,010 | 100,0 | 0,0 |
| KunP06 | 0,994 | 0,006 | 100,0 | 0,0 |
| KunP07 | 0,996 | 0,004 | 100,0 | 0,0 |
| KunP08 | 0,982 | 0,018 | 100,0 | 0,0 |
| KunP09 | 0,990 | 0,010 | 100,0 | 0,0 |
| KunP10 | 0,993 | 0,007 | 100,0 | 0,0 |
| KunP11 | 0,996 | 0,004 | 100,0 | 0,0 |
| KunP12 | 0,996 | 0,004 | 100,0 | 0,0 |
| KunP13 | 0,995 | 0,005 | 100,0 | 0,0 |
| KunP14 | 0,964 | 0,036 | 100,0 | 0,0 |
| KunP15 | 0,948 | 0,052 | 100,0 | 0,0 |



| Tree # | STRUCTURE (27.1.22) | | GeneClass2 (27.1.22) | |
|--------|---------------------|----------|----------------------|----------|
| | Coastal | Interior | Coastal | Interior |
| KunP16 | 0,997 | 0,003 | 100,0 | 0,0 |
| KunP17 | 0,964 | 0,036 | 100,0 | 0,0 |
| KunP18 | 0,996 | 0,004 | 100,0 | 0,0 |
| KunP19 | 0,997 | 0,003 | 100,0 | 0,0 |
| KunP20 | 0,996 | 0,004 | 100,0 | 0,0 |
| RueP01 | 0,988 | 0,012 | 100,0 | 0,0 |
| RueP02 | 0,979 | 0,021 | 100,0 | 0,0 |
| RueP03 | 0,995 | 0,005 | 100,0 | 0,0 |
| RueP04 | 0,996 | 0,004 | 100,0 | 0,0 |
| RueP05 | 0,996 | 0,004 | 100,0 | 0,0 |
| RueP06 | 0,996 | 0,004 | 100,0 | 0,0 |
| RueP07 | 0,886 | 0,114 | 100,0 | 0,0 |
| RueP08 | 0,996 | 0,004 | 100,0 | 0,0 |
| RueP09 | 0,993 | 0,007 | 100,0 | 0,0 |
| RueP10 | 0,917 | 0,083 | 100,0 | 0,0 |
| RueP11 | 0,994 | 0,006 | 100,0 | 0,0 |
| RueP12 | 0,996 | 0,004 | 100,0 | 0,0 |
| RueP13 | 0,991 | 0,009 | 100,0 | 0,0 |
| RueP14 | 0,994 | 0,006 | 100,0 | 0,0 |
| RueP15 | 0,995 | 0,005 | 100,0 | 0,0 |
| RueP16 | 0,989 | 0,011 | 100,0 | 0,0 |
| RueP17 | 0,996 | 0,004 | 100,0 | 0,0 |
| RueP18 | 0,997 | 0,003 | 100,0 | 0,0 |
| RueP19 | 0,994 | 0,006 | 100,0 | 0,0 |
| RueP20 | 0,991 | 0,009 | 100,0 | 0,0 |
| ScaP01 | 0,985 | 0,015 | 100,0 | 0,0 |
| ScaP02 | 0,997 | 0,003 | 100,0 | 0,0 |
| ScaP03 | 0,965 | 0,035 | 100,0 | 0,0 |
| ScaP04 | 0,993 | 0,007 | 100,0 | 0,0 |
| ScaP05 | 0,997 | 0,003 | 100,0 | 0,0 |
| ScaP06 | 0,996 | 0,004 | 100,0 | 0,0 |
| ScaP07 | 0,997 | 0,003 | 100,0 | 0,0 |
| ScaP08 | 0,984 | 0,016 | 100,0 | 0,0 |
| ScaP09 | 0,996 | 0,004 | 100,0 | 0,0 |
| ScaP10 | 0,997 | 0,003 | 100,0 | 0,0 |
| ScaP11 | 0,997 | 0,003 | 100,0 | 0,0 |
| ScaP12 | 0,997 | 0,003 | 100,0 | 0,0 |
| ScaP13 | 0,996 | 0,004 | 100,0 | 0,0 |
| ScaP14 | 0,986 | 0,014 | 100,0 | 0,0 |
| ScaP15 | 0,971 | 0,029 | 100,0 | 0,0 |
| ScaP16 | 0,644 | 0,356 | 98,3 | 1,7 |
| ScaP17 | 0,994 | 0,006 | 100,0 | 0,0 |
| ScaP18 | 0,984 | 0,016 | 99,8 | 0,2 |



| Tree # | STRUCTURE (27.1.22) | | GeneClass2 (27.1.22) | |
|--------|---------------------|----------|----------------------|----------|
| | Coastal | Interior | Coastal | Interior |
| ScaP19 | 0,997 | 0,003 | 100,0 | 0,0 |
| ScaP20 | 0,994 | 0,006 | 100,0 | 0,0 |
| SomP01 | 0,995 | 0,005 | 100,0 | 0,0 |
| SomP02 | 0,983 | 0,017 | 100,0 | 0,0 |
| SomP03 | 0,997 | 0,003 | 100,0 | 0,0 |
| SomP04 | 0,997 | 0,003 | 100,0 | 0,0 |
| SomP05 | 0,994 | 0,006 | 100,0 | 0,0 |
| SomP06 | 0,996 | 0,004 | 100,0 | 0,0 |
| SomP07 | 0,997 | 0,003 | 100,0 | 0,0 |
| SomP08 | 0,996 | 0,004 | 100,0 | 0,0 |
| SomP09 | 0,965 | 0,035 | 100,0 | 0,0 |
| SomP10 | 0,996 | 0,004 | 100,0 | 0,0 |
| SomP11 | 0,997 | 0,003 | 100,0 | 0,0 |
| SomP12 | 0,996 | 0,004 | 100,0 | 0,0 |
| SomP13 | 0,996 | 0,004 | 100,0 | 0,0 |
| SomP14 | 0,996 | 0,004 | 100,0 | 0,0 |
| SomP15 | 0,981 | 0,019 | 100,0 | 0,0 |
| SomP16 | 0,997 | 0,003 | 100,0 | 0,0 |
| SomP17 | 0,979 | 0,021 | 100,0 | 0,0 |
| SomP18 | 0,995 | 0,005 | 100,0 | 0,0 |
| SomP19 | 0,987 | 0,013 | 100,0 | 0,0 |
| SomP20 | 0,997 | 0,003 | 100,0 | 0,0 |
| SomP21 | 0,996 | 0,004 | 100,0 | 0,0 |
| UetP01 | 0,993 | 0,007 | 100,0 | 0,0 |
| UetP02 | 0,985 | 0,015 | 100,0 | 0,0 |
| UetP03 | 0,994 | 0,006 | 100,0 | 0,0 |
| UetP04 | 0,994 | 0,006 | 100,0 | 0,0 |
| UetP05 | 0,997 | 0,003 | 100,0 | 0,0 |
| UetP06 | 0,997 | 0,003 | 100,0 | 0,0 |
| UetP07 | 0,995 | 0,005 | 100,0 | 0,0 |
| UetP08 | 0,984 | 0,016 | 90,1 | 9,9 |
| UetP09 | 0,994 | 0,006 | 100,0 | 0,0 |
| UetP10 | 0,995 | 0,005 | 100,0 | 0,0 |
| UetP11 | 0,994 | 0,006 | 100,0 | 0,0 |
| UetP12 | 0,996 | 0,004 | 100,0 | 0,0 |
| UetP13 | 0,997 | 0,003 | 100,0 | 0,0 |
| UetP14 | 0,992 | 0,008 | 100,0 | 0,0 |
| UetP15 | 0,997 | 0,003 | 100,0 | 0,0 |
| UetP16 | 0,987 | 0,013 | 100,0 | 0,0 |
| UetP17 | 0,995 | 0,005 | 100,0 | 0,0 |
| UetP18 | 0,997 | 0,003 | 100,0 | 0,0 |
| UetP19 | 0,993 | 0,007 | 100,0 | 0,0 |
| UetP20 | 0,994 | 0,006 | 100,0 | 0,0 |



| Tree # | STRUCTURE (27.1.22) | | GeneClass2 (27.1.22) | |
|--------|---------------------|----------|----------------------|----------|
| | Coastal | Interior | Coastal | Interior |
| R05_01 | 0,968 | 0,032 | - | - |
| R05_02 | 0,976 | 0,024 | - | - |
| R05_03 | 0,987 | 0,013 | - | - |
| R05_04 | 0,599 | 0,401 | - | - |
| R05_05 | 0,746 | 0,254 | - | - |
| R05_06 | 0,995 | 0,005 | - | - |
| R05_07 | 0,987 | 0,013 | - | - |
| R05_08 | 0,852 | 0,148 | - | - |
| R05_09 | 0,997 | 0,003 | - | - |
| R05_10 | 0,986 | 0,014 | - | - |
| R05_11 | 0,989 | 0,011 | - | - |
| R05_12 | 0,993 | 0,007 | - | - |
| R05_13 | 0,188 | 0,812 | - | - |
| R05_14 | 0,966 | 0,034 | - | - |
| R05_15 | 0,996 | 0,004 | - | - |
| R05_16 | 0,969 | 0,031 | - | - |
| R05_17 | 0,985 | 0,015 | - | - |
| R05_18 | 0,751 | 0,249 | - | - |
| R05_19 | 0,988 | 0,012 | - | - |
| R05_20 | 0,995 | 0,005 | - | - |
| R12_01 | 0,994 | 0,006 | - | - |
| R12_02 | 0,993 | 0,007 | - | - |
| R12_03 | 0,971 | 0,029 | - | - |
| R12_04 | 0,994 | 0,006 | - | - |
| R12_05 | 0,991 | 0,009 | - | - |
| R12_06 | 0,976 | 0,024 | - | - |
| R12_07 | 0,995 | 0,005 | - | - |
| R12_08 | 0,970 | 0,030 | - | - |
| R12_09 | 0,861 | 0,139 | - | - |
| R12_10 | 0,986 | 0,014 | - | - |
| R12_11 | 0,990 | 0,010 | - | - |
| R12_12 | 0,996 | 0,004 | - | - |
| R12_13 | 0,864 | 0,136 | - | - |
| R12_14 | 0,994 | 0,006 | - | - |
| R12_15 | 0,994 | 0,006 | - | - |
| R12_16 | 0,962 | 0,038 | - | - |
| R12_17 | 0,996 | 0,004 | - | - |
| R12_18 | 0,987 | 0,013 | - | - |
| R12_19 | 0,991 | 0,009 | - | - |
| R12_20 | 0,755 | 0,245 | - | - |
| R32_01 | 0,997 | 0,003 | - | - |
| R32_02 | 0,988 | 0,012 | - | - |
| R32_03 | 0,995 | 0,005 | - | - |



| Tree # | STRUCTURE (27.1.22) | | GeneClass2 (27.1.22) | |
|--------|---------------------|----------|----------------------|----------|
| | Coastal | Interior | Coastal | Interior |
| R32_04 | 0,997 | 0,003 | - | - |
| R32_05 | 0,996 | 0,004 | - | - |
| R32_06 | 0,990 | 0,010 | - | - |
| R32_07 | 0,995 | 0,005 | - | - |
| R32_08 | 0,993 | 0,007 | - | - |
| R32_09 | 0,982 | 0,018 | - | - |
| R32_10 | 0,995 | 0,005 | - | - |
| R32_11 | 0,996 | 0,004 | - | - |
| R32_12 | 0,995 | 0,005 | - | - |
| R32_13 | 0,935 | 0,065 | - | - |
| R32_14 | 0,998 | 0,002 | - | - |
| R32_15 | 0,996 | 0,004 | - | - |
| R32_17 | 0,994 | 0,006 | - | - |
| R32_18 | 0,997 | 0,003 | - | - |
| R32_19 | 0,996 | 0,004 | - | - |
| R32_20 | 0,997 | 0,003 | - | - |
| R33_02 | 0,022 | 0,978 | - | - |
| R33_03 | 0,004 | 0,996 | - | - |
| R33_04 | 0,006 | 0,994 | - | - |
| R33_05 | 0,005 | 0,995 | - | - |
| R33_06 | 0,005 | 0,995 | - | - |
| R33_07 | 0,065 | 0,935 | - | - |
| R33_08 | 0,013 | 0,987 | - | - |
| R33_09 | 0,004 | 0,996 | - | - |
| R33_10 | 0,055 | 0,945 | - | - |
| R33_11 | 0,007 | 0,993 | - | - |
| R33_12 | 0,003 | 0,997 | - | - |
| R33_13 | 0,006 | 0,994 | - | - |
| R33_14 | 0,005 | 0,995 | - | - |
| R33_15 | 0,005 | 0,995 | - | - |
| R33_16 | 0,005 | 0,995 | - | - |
| R33_17 | 0,005 | 0,995 | - | - |
| R33_19 | 0,007 | 0,993 | - | - |
| R33_20 | 0,009 | 0,991 | - | - |
| R38_01 | 0,995 | 0,005 | - | - |
| R38_02 | 0,990 | 0,010 | - | - |
| R38_03 | 0,997 | 0,003 | - | - |
| R38_04 | 0,919 | 0,081 | - | - |
| R38_05 | 0,992 | 0,008 | - | - |
| R38_06 | 0,996 | 0,004 | - | - |
| R38_07 | 0,973 | 0,027 | - | - |
| R38_08 | 0,996 | 0,004 | - | - |
| R38_09 | 0,994 | 0,006 | - | - |



| Tree # | STRUCTURE (27.1.22) | | GeneClass2 (27.1.22) | |
|--------|---------------------|----------|----------------------|----------|
| | Coastal | Interior | Coastal | Interior |
| R38_10 | 0,995 | 0,005 | - | - |
| R38_11 | 0,989 | 0,011 | - | - |
| R38_12 | 0,997 | 0,003 | - | - |
| R38_13 | 0,980 | 0,020 | - | - |
| R38_14 | 0,984 | 0,016 | - | - |
| R38_15 | 0,994 | 0,006 | - | - |
| R38_16 | 0,992 | 0,008 | - | - |
| R38_17 | 0,971 | 0,029 | - | - |
| R38_18 | 0,956 | 0,044 | - | - |
| R38_19 | 0,975 | 0,025 | - | - |
| R38_20 | 0,995 | 0,005 | - | - |
| R39_01 | 0,004 | 0,996 | - | - |
| R39_02 | 0,003 | 0,997 | - | - |
| R39_03 | 0,004 | 0,996 | - | - |
| R39_04 | 0,006 | 0,994 | - | - |
| R39_05 | 0,006 | 0,994 | - | - |
| R39_06 | 0,007 | 0,993 | - | - |
| R39_07 | 0,115 | 0,885 | - | - |
| R39_08 | 0,006 | 0,994 | - | - |
| R39_09 | 0,005 | 0,995 | - | - |
| R39_10 | 0,043 | 0,957 | - | - |
| R39_11 | 0,003 | 0,997 | - | - |
| R39_12 | 0,021 | 0,979 | - | - |
| R39_13 | 0,005 | 0,995 | - | - |
| R39_14 | 0,006 | 0,994 | - | - |
| R39_15 | 0,005 | 0,995 | - | - |
| R39_16 | 0,007 | 0,993 | - | - |
| R39_17 | 0,005 | 0,995 | - | - |
| R39_18 | 0,005 | 0,995 | - | - |
| R39_19 | 0,240 | 0,760 | - | - |
| R39_20 | 0,010 | 0,990 | - | - |



Table A3.2 – Individual STRUCTURE membership proportions and individual assignment scores computed with GeneClass2 for K = 3 (conditional formatting with green tones for coastal and blue tones for interior clusters) (BC = British Columbia, Canada, OR = Oregon, USA, WA = Washington, USA)

| Tree # | STRUCTURE (27.1.22) | | | GeneClass2 (27.1.22) | | |
|--------|---------------------|--------|----------|----------------------|------------|----------|
| | R05+32 | R12+38 | Interior | Oth. coastal | BC-coastal | Interior |
| CaiP01 | 0,965 | 0,021 | 0,014 | 100,0 | 0,0 | 0,0 |
| CaiP02 | 0,319 | 0,497 | 0,184 | 100,0 | 0,0 | 0,0 |
| CaiP03 | 0,987 | 0,008 | 0,005 | 100,0 | 0,0 | 0,0 |
| CaiP04 | 0,978 | 0,018 | 0,005 | 100,0 | 0,0 | 0,0 |
| CaiP05 | 0,970 | 0,018 | 0,012 | 98,2 | 0,0 | 1,8 |
| CaiP06 | 0,980 | 0,009 | 0,011 | 100,0 | 0,0 | 0,0 |
| CaiP07 | 0,993 | 0,004 | 0,003 | 100,0 | 0,0 | 0,0 |
| CaiP08 | 0,499 | 0,483 | 0,018 | 100,0 | 0,0 | 0,0 |
| CaiP09 | 0,956 | 0,037 | 0,007 | 100,0 | 0,0 | 0,0 |
| CaiP10 | 0,950 | 0,034 | 0,016 | 100,0 | 0,0 | 0,0 |
| CaiP11 | 0,992 | 0,005 | 0,003 | 100,0 | 0,0 | 0,0 |
| CaiP12 | 0,991 | 0,006 | 0,003 | 100,0 | 0,0 | 0,0 |
| CaiP13 | 0,990 | 0,006 | 0,004 | 100,0 | 0,0 | 0,0 |
| CaiP14 | 0,991 | 0,006 | 0,003 | 100,0 | 0,0 | 0,0 |
| CaiP15 | 0,951 | 0,038 | 0,011 | 100,0 | 0,0 | 0,0 |
| CaiP16 | 0,890 | 0,098 | 0,012 | 100,0 | 0,0 | 0,0 |
| CaiP17 | 0,830 | 0,012 | 0,158 | 100,0 | 0,0 | 0,0 |
| CaiP18 | 0,981 | 0,009 | 0,010 | 100,0 | 0,0 | 0,0 |
| CaiP19 | 0,956 | 0,014 | 0,030 | 99,8 | 0,0 | 0,2 |
| CaiP20 | 0,905 | 0,089 | 0,006 | 100,0 | 0,0 | 0,0 |
| GesP01 | 0,951 | 0,025 | 0,024 | 100,0 | 0,0 | 0,0 |
| GesP02 | 0,988 | 0,007 | 0,005 | 100,0 | 0,0 | 0,0 |
| GesP03 | 0,989 | 0,008 | 0,003 | 100,0 | 0,0 | 0,0 |
| GesP04 | 0,811 | 0,185 | 0,004 | 100,0 | 0,0 | 0,0 |
| GesP05 | 0,986 | 0,009 | 0,005 | 100,0 | 0,0 | 0,0 |
| GesP06 | 0,979 | 0,013 | 0,008 | 100,0 | 0,0 | 0,0 |
| GesP07 | 0,988 | 0,008 | 0,003 | 100,0 | 0,0 | 0,0 |
| GesP08 | 0,984 | 0,011 | 0,005 | 100,0 | 0,0 | 0,0 |
| GesP09 | 0,971 | 0,022 | 0,007 | 100,0 | 0,0 | 0,0 |
| GesP10 | 0,983 | 0,012 | 0,005 | 100,0 | 0,0 | 0,0 |
| GesP11 | 0,918 | 0,058 | 0,024 | 100,0 | 0,0 | 0,0 |
| GesP12 | 0,972 | 0,022 | 0,006 | 100,0 | 0,0 | 0,0 |
| GesP13 | 0,975 | 0,015 | 0,010 | 100,0 | 0,0 | 0,0 |
| GesP14 | 0,969 | 0,026 | 0,005 | 100,0 | 0,0 | 0,0 |
| GesP15 | 0,984 | 0,011 | 0,004 | 100,0 | 0,0 | 0,0 |
| GesP16 | 0,986 | 0,010 | 0,004 | 100,0 | 0,0 | 0,0 |
| GesP17 | 0,798 | 0,162 | 0,040 | 100,0 | 0,0 | 0,0 |
| GesP18 | 0,975 | 0,014 | 0,012 | 100,0 | 0,0 | 0,0 |
| GesP19 | 0,951 | 0,043 | 0,006 | 100,0 | 0,0 | 0,0 |
| GesP20 | 0,926 | 0,069 | 0,005 | 100,0 | 0,0 | 0,0 |



| Tree # | STRUCTURE (27.1.22) | | | GeneClass2 (27.1.22) | | |
|--------|---------------------|--------|----------|----------------------|------------|----------|
| | R05+32 | R12+38 | Interior | Oth. coastal | BC-coastal | Interior |
| GrmP01 | 0,005 | 0,005 | 0,990 | 0,0 | 0,0 | 100,0 |
| GrmP02 | 0,008 | 0,005 | 0,987 | 0,0 | 0,0 | 100,0 |
| GrmP03 | 0,018 | 0,006 | 0,977 | 99,7 | 0,0 | 0,3 |
| GrmP04 | 0,059 | 0,030 | 0,911 | 0,0 | 0,0 | 100,0 |
| GrmP05 | 0,007 | 0,005 | 0,988 | 0,0 | 0,0 | 100,0 |
| GrmP06 | 0,007 | 0,010 | 0,983 | 4,1 | 0,0 | 95,9 |
| GrmP07 | 0,014 | 0,089 | 0,897 | 100,0 | 0,0 | 0,0 |
| GrmP08 | 0,165 | 0,010 | 0,825 | 100,0 | 0,0 | 0,0 |
| GrmP09 | 0,003 | 0,004 | 0,993 | 0,0 | 0,0 | 100,0 |
| GrmP10 | 0,006 | 0,008 | 0,987 | 1,7 | 0,0 | 98,3 |
| GrmP11 | 0,017 | 0,020 | 0,964 | 91,1 | 0,0 | 8,9 |
| GrmP12 | 0,026 | 0,022 | 0,952 | 80,9 | 0,0 | 19,1 |
| GrmP13 | 0,041 | 0,005 | 0,954 | 0,0 | 0,0 | 100,0 |
| GrmP14 | 0,008 | 0,005 | 0,987 | 0,0 | 0,0 | 100,0 |
| GrmP15 | 0,104 | 0,494 | 0,402 | 98,6 | 0,1 | 1,3 |
| GrmP16 | 0,009 | 0,005 | 0,987 | 10,6 | 0,0 | 89,4 |
| GrmP17 | 0,009 | 0,007 | 0,984 | 0,2 | 0,0 | 99,8 |
| GrmP18 | 0,008 | 0,004 | 0,988 | 0,0 | 0,0 | 100,0 |
| GrmP19 | 0,301 | 0,042 | 0,658 | 70,0 | 0,2 | 29,8 |
| GrmP20 | 0,138 | 0,067 | 0,795 | 100,0 | 0,0 | 0,0 |
| KunP01 | 0,981 | 0,015 | 0,004 | 100,0 | 0,0 | 0,0 |
| KunP02 | 0,982 | 0,014 | 0,004 | 100,0 | 0,0 | 0,0 |
| KunP03 | 0,985 | 0,011 | 0,004 | 100,0 | 0,0 | 0,0 |
| KunP04 | 0,989 | 0,007 | 0,004 | 100,0 | 0,0 | 0,0 |
| KunP05 | 0,911 | 0,078 | 0,011 | 100,0 | 0,0 | 0,0 |
| KunP06 | 0,971 | 0,022 | 0,007 | 100,0 | 0,0 | 0,0 |
| KunP07 | 0,984 | 0,012 | 0,005 | 100,0 | 0,0 | 0,0 |
| KunP08 | 0,908 | 0,064 | 0,028 | 100,0 | 0,0 | 0,0 |
| KunP09 | 0,950 | 0,038 | 0,013 | 100,0 | 0,0 | 0,0 |
| KunP10 | 0,895 | 0,095 | 0,010 | 100,0 | 0,0 | 0,0 |
| KunP11 | 0,989 | 0,007 | 0,004 | 100,0 | 0,0 | 0,0 |
| KunP12 | 0,988 | 0,008 | 0,004 | 100,0 | 0,0 | 0,0 |
| KunP13 | 0,126 | 0,869 | 0,005 | 100,0 | 0,0 | 0,0 |
| KunP14 | 0,955 | 0,008 | 0,037 | 100,0 | 0,0 | 0,0 |
| KunP15 | 0,936 | 0,019 | 0,045 | 100,0 | 0,0 | 0,0 |
| KunP16 | 0,969 | 0,028 | 0,003 | 100,0 | 0,0 | 0,0 |
| KunP17 | 0,966 | 0,006 | 0,029 | 100,0 | 0,0 | 0,0 |
| KunP18 | 0,968 | 0,026 | 0,006 | 100,0 | 0,0 | 0,0 |
| KunP19 | 0,992 | 0,005 | 0,003 | 100,0 | 0,0 | 0,0 |
| KunP20 | 0,990 | 0,006 | 0,004 | 100,0 | 0,0 | 0,0 |
| RueP01 | 0,905 | 0,082 | 0,013 | 100,0 | 0,0 | 0,0 |
| RueP02 | 0,191 | 0,796 | 0,014 | 100,0 | 0,0 | 0,0 |
| RueP03 | 0,983 | 0,012 | 0,005 | 100,0 | 0,0 | 0,0 |



| Tree # | STRUCTURE (27.1.22) | | | GeneClass2 (27.1.22) | | |
|--------|---------------------|--------|----------|----------------------|------------|----------|
| | R05+32 | R12+38 | Interior | Oth. coastal | BC-coastal | Interior |
| RueP04 | 0,981 | 0,014 | 0,005 | 100,0 | 0,0 | 0,0 |
| RueP05 | 0,988 | 0,008 | 0,004 | 100,0 | 0,0 | 0,0 |
| RueP06 | 0,691 | 0,304 | 0,005 | 100,0 | 0,0 | 0,0 |
| RueP07 | 0,106 | 0,817 | 0,077 | 100,0 | 0,0 | 0,0 |
| RueP08 | 0,990 | 0,007 | 0,004 | 100,0 | 0,0 | 0,0 |
| RueP09 | 0,975 | 0,016 | 0,010 | 100,0 | 0,0 | 0,0 |
| RueP10 | 0,907 | 0,015 | 0,078 | 100,0 | 0,0 | 0,0 |
| RueP11 | 0,970 | 0,023 | 0,007 | 100,0 | 0,0 | 0,0 |
| RueP12 | 0,586 | 0,409 | 0,005 | 100,0 | 0,0 | 0,0 |
| RueP13 | 0,948 | 0,040 | 0,012 | 100,0 | 0,0 | 0,0 |
| RueP14 | 0,971 | 0,023 | 0,006 | 100,0 | 0,0 | 0,0 |
| RueP15 | 0,986 | 0,009 | 0,005 | 100,0 | 0,0 | 0,0 |
| RueP16 | 0,981 | 0,008 | 0,011 | 100,0 | 0,0 | 0,0 |
| RueP17 | 0,990 | 0,006 | 0,004 | 100,0 | 0,0 | 0,0 |
| RueP18 | 0,988 | 0,009 | 0,004 | 100,0 | 0,0 | 0,0 |
| RueP19 | 0,816 | 0,176 | 0,008 | 100,0 | 0,0 | 0,0 |
| RueP20 | 0,962 | 0,027 | 0,012 | 100,0 | 0,0 | 0,0 |
| ScaP01 | 0,657 | 0,323 | 0,021 | 100,0 | 0,0 | 0,0 |
| ScaP02 | 0,961 | 0,036 | 0,003 | 100,0 | 0,0 | 0,0 |
| ScaP03 | 0,927 | 0,022 | 0,051 | 100,0 | 0,0 | 0,0 |
| ScaP04 | 0,904 | 0,082 | 0,014 | 100,0 | 0,0 | 0,0 |
| ScaP05 | 0,993 | 0,004 | 0,003 | 100,0 | 0,0 | 0,0 |
| ScaP06 | 0,983 | 0,013 | 0,004 | 100,0 | 0,0 | 0,0 |
| ScaP07 | 0,507 | 0,489 | 0,004 | 100,0 | 0,0 | 0,0 |
| ScaP08 | 0,925 | 0,049 | 0,025 | 100,0 | 0,0 | 0,0 |
| ScaP09 | 0,973 | 0,022 | 0,005 | 100,0 | 0,0 | 0,0 |
| ScaP10 | 0,940 | 0,057 | 0,003 | 99,8 | 0,2 | 0,0 |
| ScaP11 | 0,978 | 0,020 | 0,003 | 100,0 | 0,0 | 0,0 |
| ScaP12 | 0,988 | 0,008 | 0,004 | 100,0 | 0,0 | 0,0 |
| ScaP13 | 0,987 | 0,009 | 0,004 | 100,0 | 0,0 | 0,0 |
| ScaP14 | 0,947 | 0,031 | 0,022 | 100,0 | 0,0 | 0,0 |
| ScaP15 | 0,331 | 0,644 | 0,025 | 100,0 | 0,0 | 0,0 |
| ScaP16 | 0,633 | 0,041 | 0,326 | 0,1 | 0,0 | 99,9 |
| ScaP17 | 0,956 | 0,038 | 0,006 | 100,0 | 0,0 | 0,0 |
| ScaP18 | 0,981 | 0,006 | 0,013 | 100,0 | 0,0 | 0,0 |
| ScaP19 | 0,991 | 0,005 | 0,004 | 100,0 | 0,0 | 0,0 |
| ScaP20 | 0,977 | 0,016 | 0,007 | 100,0 | 0,0 | 0,0 |
| SomP01 | 0,990 | 0,006 | 0,004 | 100,0 | 0,0 | 0,0 |
| SomP02 | 0,972 | 0,008 | 0,020 | 100,0 | 0,0 | 0,0 |
| SomP03 | 0,920 | 0,075 | 0,005 | 100,0 | 0,0 | 0,0 |
| SomP04 | 0,979 | 0,016 | 0,004 | 100,0 | 0,0 | 0,0 |
| SomP05 | 0,973 | 0,021 | 0,006 | 100,0 | 0,0 | 0,0 |
| SomP06 | 0,986 | 0,010 | 0,004 | 100,0 | 0,0 | 0,0 |



| Tree # | STRUCTURE (27.1.22) | | | GeneClass2 (27.1.22) | | |
|--------|---------------------|--------|----------|----------------------|------------|----------|
| | R05+32 | R12+38 | Interior | Oth. coastal | BC-coastal | Interior |
| SomP07 | 0,960 | 0,036 | 0,003 | 100,0 | 0,0 | 0,0 |
| SomP08 | 0,989 | 0,007 | 0,004 | 100,0 | 0,0 | 0,0 |
| SomP09 | 0,888 | 0,050 | 0,062 | 100,0 | 0,0 | 0,0 |
| SomP10 | 0,985 | 0,010 | 0,005 | 100,0 | 0,0 | 0,0 |
| SomP11 | 0,990 | 0,006 | 0,003 | 100,0 | 0,0 | 0,0 |
| SomP12 | 0,817 | 0,178 | 0,005 | 100,0 | 0,0 | 0,0 |
| SomP13 | 0,991 | 0,005 | 0,004 | 100,0 | 0,0 | 0,0 |
| SomP14 | 0,938 | 0,058 | 0,005 | 100,0 | 0,0 | 0,0 |
| SomP15 | 0,944 | 0,023 | 0,033 | 100,0 | 0,0 | 0,0 |
| SomP16 | 0,956 | 0,040 | 0,004 | 100,0 | 0,0 | 0,0 |
| SomP17 | 0,970 | 0,012 | 0,018 | 100,0 | 0,0 | 0,0 |
| SomP18 | 0,988 | 0,008 | 0,005 | 100,0 | 0,0 | 0,0 |
| SomP19 | 0,982 | 0,006 | 0,012 | 100,0 | 0,0 | 0,0 |
| SomP20 | 0,990 | 0,007 | 0,003 | 100,0 | 0,0 | 0,0 |
| SomP21 | 0,965 | 0,029 | 0,005 | 100,0 | 0,0 | 0,0 |
| UetP01 | 0,777 | 0,215 | 0,008 | 100,0 | 0,0 | 0,0 |
| UetP02 | 0,095 | 0,888 | 0,018 | 100,0 | 0,0 | 0,0 |
| UetP03 | 0,981 | 0,011 | 0,008 | 100,0 | 0,0 | 0,0 |
| UetP04 | 0,971 | 0,022 | 0,007 | 100,0 | 0,0 | 0,0 |
| UetP05 | 0,992 | 0,005 | 0,003 | 100,0 | 0,0 | 0,0 |
| UetP06 | 0,990 | 0,007 | 0,003 | 100,0 | 0,0 | 0,0 |
| UetP07 | 0,912 | 0,083 | 0,005 | 100,0 | 0,0 | 0,0 |
| UetP08 | 0,971 | 0,013 | 0,015 | 99,8 | 0,0 | 0,2 |
| UetP09 | 0,983 | 0,010 | 0,007 | 100,0 | 0,0 | 0,0 |
| UetP10 | 0,987 | 0,008 | 0,005 | 100,0 | 0,0 | 0,0 |
| UetP11 | 0,983 | 0,010 | 0,007 | 100,0 | 0,0 | 0,0 |
| UetP12 | 0,989 | 0,007 | 0,004 | 100,0 | 0,0 | 0,0 |
| UetP13 | 0,988 | 0,009 | 0,003 | 100,0 | 0,0 | 0,0 |
| UetP14 | 0,981 | 0,010 | 0,010 | 100,0 | 0,0 | 0,0 |
| UetP15 | 0,988 | 0,009 | 0,003 | 100,0 | 0,0 | 0,0 |
| UetP16 | 0,045 | 0,946 | 0,009 | 100,0 | 0,0 | 0,0 |
| UetP17 | 0,960 | 0,034 | 0,006 | 100,0 | 0,0 | 0,0 |
| UetP18 | 0,985 | 0,012 | 0,003 | 100,0 | 0,0 | 0,0 |
| UetP19 | 0,889 | 0,102 | 0,009 | 100,0 | 0,0 | 0,0 |
| UetP20 | 0,980 | 0,012 | 0,008 | 100,0 | 0,0 | 0,0 |
| R05_01 | 0,591 | 0,373 | 0,037 | - | - | - |
| R05_02 | 0,086 | 0,901 | 0,013 | - | - | - |
| R05_03 | 0,080 | 0,905 | 0,015 | - | - | - |
| R05_04 | 0,342 | 0,254 | 0,404 | - | - | - |
| R05_05 | 0,637 | 0,070 | 0,293 | - | - | - |
| R05_06 | 0,940 | 0,055 | 0,005 | - | - | - |
| R05_07 | 0,011 | 0,981 | 0,009 | - | - | - |
| R05_08 | 0,354 | 0,480 | 0,166 | - | - | - |



| Tree # | STRUCTURE (27.1.22) | | | GeneClass2 (27.1.22) | | |
|--------|---------------------|--------|----------|----------------------|------------|----------|
| | R05+32 | R12+38 | Interior | Oth. coastal | BC-coastal | Interior |
| R05_09 | 0,707 | 0,289 | 0,004 | - | - | - |
| R05_10 | 0,127 | 0,860 | 0,014 | - | - | - |
| R05_11 | 0,915 | 0,070 | 0,015 | - | - | - |
| R05_12 | 0,973 | 0,019 | 0,008 | - | - | - |
| R05_13 | 0,296 | 0,023 | 0,681 | - | - | - |
| R05_14 | 0,814 | 0,106 | 0,079 | - | - | - |
| R05_15 | 0,892 | 0,102 | 0,006 | - | - | - |
| R05_16 | 0,009 | 0,984 | 0,007 | - | - | - |
| R05_17 | 0,969 | 0,018 | 0,013 | - | - | - |
| R05_18 | 0,230 | 0,598 | 0,172 | - | - | - |
| R05_19 | 0,961 | 0,020 | 0,019 | - | - | - |
| R05_20 | 0,911 | 0,082 | 0,007 | - | - | - |
| R12_01 | 0,135 | 0,859 | 0,007 | - | - | - |
| R12_02 | 0,027 | 0,968 | 0,005 | - | - | - |
| R12_03 | 0,054 | 0,931 | 0,015 | - | - | - |
| R12_04 | 0,117 | 0,878 | 0,006 | - | - | - |
| R12_05 | 0,059 | 0,933 | 0,008 | - | - | - |
| R12_06 | 0,024 | 0,967 | 0,009 | - | - | - |
| R12_07 | 0,934 | 0,060 | 0,006 | - | - | - |
| R12_08 | 0,055 | 0,931 | 0,015 | - | - | - |
| R12_09 | 0,068 | 0,868 | 0,065 | - | - | - |
| R12_10 | 0,015 | 0,968 | 0,017 | - | - | - |
| R12_11 | 0,127 | 0,866 | 0,008 | - | - | - |
| R12_12 | 0,045 | 0,949 | 0,006 | - | - | - |
| R12_13 | 0,136 | 0,639 | 0,225 | - | - | - |
| R12_14 | 0,004 | 0,993 | 0,003 | - | - | - |
| R12_15 | 0,677 | 0,312 | 0,011 | - | - | - |
| R12_16 | 0,008 | 0,981 | 0,011 | - | - | - |
| R12_17 | 0,135 | 0,861 | 0,004 | - | - | - |
| R12_18 | 0,660 | 0,325 | 0,015 | - | - | - |
| R12_19 | 0,075 | 0,912 | 0,013 | - | - | - |
| R12_20 | 0,147 | 0,671 | 0,182 | - | - | - |
| R32_01 | 0,190 | 0,806 | 0,005 | - | - | - |
| R32_02 | 0,961 | 0,027 | 0,011 | - | - | - |
| R32_03 | 0,959 | 0,031 | 0,010 | - | - | - |
| R32_04 | 0,481 | 0,516 | 0,004 | - | - | - |
| R32_05 | 0,983 | 0,013 | 0,004 | - | - | - |
| R32_06 | 0,576 | 0,412 | 0,012 | - | - | - |
| R32_07 | 0,868 | 0,126 | 0,006 | - | - | - |
| R32_08 | 0,863 | 0,128 | 0,009 | - | - | - |
| R32_09 | 0,954 | 0,025 | 0,021 | - | - | - |
| R32_10 | 0,958 | 0,035 | 0,006 | - | - | - |
| R32_11 | 0,433 | 0,562 | 0,006 | - | - | - |



| Tree # | STRUCTURE (27.1.22) | | | GeneClass2 (27.1.22) | | |
|--------|---------------------|--------|----------|----------------------|------------|----------|
| | R05+32 | R12+38 | Interior | Oth. coastal | BC-coastal | Interior |
| R32_12 | 0,970 | 0,023 | 0,007 | - | - | - |
| R32_13 | 0,720 | 0,175 | 0,105 | - | - | - |
| R32_14 | 0,989 | 0,008 | 0,003 | - | - | - |
| R32_15 | 0,969 | 0,027 | 0,004 | - | - | - |
| R32_17 | 0,975 | 0,017 | 0,008 | - | - | - |
| R32_18 | 0,541 | 0,456 | 0,003 | - | - | - |
| R32_19 | 0,662 | 0,333 | 0,006 | - | - | - |
| R32_20 | 0,987 | 0,010 | 0,003 | - | - | - |
| R33_02 | 0,012 | 0,116 | 0,872 | - | - | - |
| R33_03 | 0,005 | 0,005 | 0,990 | - | - | - |
| R33_04 | 0,007 | 0,008 | 0,985 | - | - | - |
| R33_05 | 0,004 | 0,009 | 0,987 | - | - | - |
| R33_06 | 0,007 | 0,005 | 0,988 | - | - | - |
| R33_07 | 0,095 | 0,059 | 0,846 | - | - | - |
| R33_08 | 0,012 | 0,029 | 0,959 | - | - | - |
| R33_09 | 0,006 | 0,003 | 0,991 | - | - | - |
| R33_10 | 0,059 | 0,027 | 0,915 | - | - | - |
| R33_11 | 0,013 | 0,004 | 0,983 | - | - | - |
| R33_12 | 0,003 | 0,007 | 0,990 | - | - | - |
| R33_13 | 0,006 | 0,010 | 0,984 | - | - | - |
| R33_14 | 0,008 | 0,003 | 0,989 | - | - | - |
| R33_15 | 0,008 | 0,003 | 0,988 | - | - | - |
| R33_16 | 0,004 | 0,012 | 0,984 | - | - | - |
| R33_17 | 0,005 | 0,004 | 0,991 | - | - | - |
| R33_19 | 0,007 | 0,012 | 0,980 | - | - | - |
| R33_20 | 0,012 | 0,006 | 0,982 | - | - | - |
| R38_01 | 0,004 | 0,993 | 0,003 | - | - | - |
| R38_02 | 0,019 | 0,973 | 0,008 | - | - | - |
| R38_03 | 0,031 | 0,966 | 0,003 | - | - | - |
| R38_04 | 0,006 | 0,978 | 0,017 | - | - | - |
| R38_05 | 0,012 | 0,981 | 0,007 | - | - | - |
| R38_06 | 0,005 | 0,991 | 0,004 | - | - | - |
| R38_07 | 0,012 | 0,980 | 0,008 | - | - | - |
| R38_08 | 0,007 | 0,990 | 0,003 | - | - | - |
| R38_09 | 0,007 | 0,989 | 0,004 | - | - | - |
| R38_10 | 0,004 | 0,993 | 0,003 | - | - | - |
| R38_11 | 0,005 | 0,991 | 0,004 | - | - | - |
| R38_12 | 0,012 | 0,984 | 0,004 | - | - | - |
| R38_13 | 0,007 | 0,982 | 0,011 | - | - | - |
| R38_14 | 0,007 | 0,984 | 0,009 | - | - | - |
| R38_15 | 0,008 | 0,987 | 0,005 | - | - | - |
| R38_16 | 0,004 | 0,992 | 0,004 | - | - | - |
| R38_17 | 0,004 | 0,984 | 0,012 | - | - | - |



| Tree # | STRUCTURE (27.1.22) | | | GeneClass2 (27.1.22) | | |
|--------|---------------------|--------|----------|----------------------|------------|----------|
| | R05+32 | R12+38 | Interior | Oth. coastal | BC-coastal | Interior |
| R38_18 | 0,005 | 0,987 | 0,008 | - | - | - |
| R38_19 | 0,005 | 0,989 | 0,006 | - | - | - |
| R38_20 | 0,005 | 0,991 | 0,004 | - | - | - |
| R39_01 | 0,003 | 0,009 | 0,988 | - | - | - |
| R39_02 | 0,004 | 0,004 | 0,992 | - | - | - |
| R39_03 | 0,005 | 0,005 | 0,990 | - | - | - |
| R39_04 | 0,004 | 0,057 | 0,939 | - | - | - |
| R39_05 | 0,006 | 0,011 | 0,983 | - | - | - |
| R39_06 | 0,007 | 0,012 | 0,982 | - | - | - |
| R39_07 | 0,124 | 0,044 | 0,832 | - | - | - |
| R39_08 | 0,006 | 0,015 | 0,979 | - | - | - |
| R39_09 | 0,006 | 0,006 | 0,988 | - | - | - |
| R39_10 | 0,028 | 0,104 | 0,868 | - | - | - |
| R39_11 | 0,003 | 0,007 | 0,990 | - | - | - |
| R39_12 | 0,019 | 0,049 | 0,933 | - | - | - |
| R39_13 | 0,003 | 0,047 | 0,950 | - | - | - |
| R39_14 | 0,005 | 0,011 | 0,984 | - | - | - |
| R39_15 | 0,005 | 0,008 | 0,987 | - | - | - |
| R39_16 | 0,012 | 0,005 | 0,983 | - | - | - |
| R39_17 | 0,004 | 0,013 | 0,983 | - | - | - |
| R39_18 | 0,005 | 0,009 | 0,986 | - | - | - |
| R39_19 | 0,040 | 0,536 | 0,424 | - | - | - |
| R39_20 | 0,007 | 0,025 | 0,968 | - | - | - |



Table A3.3 – Individual STRUCTURE membership proportions and individual assignment scores computed with GeneClass2 for K = 4 (conditional formatting with green tones for coastal and blue tones for interior clusters) (BC = British Columbia, Canada, OR = Oregon, USA, WA = Washington, USA)

| Tree # | STRUCTURE (27.1.22) | | | | GeneClass2 (27.1.22) | | | |
|--------|---------------------|-------|-------------|---------|----------------------|------------|-------------|---------|
| | R05+32 | R12 | BC-interior | Montana | Other coast. | BC-coastal | BC-interior | Montana |
| CaiP01 | 0,960 | 0,018 | 0,009 | 0,013 | 100,0 | 0,0 | 0,0 | 0,0 |
| CaiP02 | 0,355 | 0,479 | 0,128 | 0,039 | 100,0 | 0,0 | 0,0 | 0,0 |
| CaiP03 | 0,986 | 0,006 | 0,005 | 0,003 | 100,0 | 0,0 | 0,0 | 0,0 |
| CaiP04 | 0,978 | 0,014 | 0,004 | 0,005 | 100,0 | 0,0 | 0,0 | 0,0 |
| CaiP05 | 0,961 | 0,014 | 0,007 | 0,018 | 100,0 | 0,0 | 0,0 | 0,0 |
| CaiP06 | 0,963 | 0,006 | 0,003 | 0,028 | 100,0 | 0,0 | 0,0 | 0,0 |
| CaiP07 | 0,992 | 0,003 | 0,003 | 0,002 | 100,0 | 0,0 | 0,0 | 0,0 |
| CaiP08 | 0,540 | 0,423 | 0,010 | 0,027 | 100,0 | 0,0 | 0,0 | 0,0 |
| CaiP09 | 0,953 | 0,034 | 0,008 | 0,004 | 100,0 | 0,0 | 0,0 | 0,0 |
| CaiP10 | 0,954 | 0,023 | 0,009 | 0,014 | 100,0 | 0,0 | 0,0 | 0,0 |
| CaiP11 | 0,991 | 0,004 | 0,003 | 0,002 | 100,0 | 0,0 | 0,0 | 0,0 |
| CaiP12 | 0,990 | 0,005 | 0,003 | 0,002 | 100,0 | 0,0 | 0,0 | 0,0 |
| CaiP13 | 0,986 | 0,005 | 0,006 | 0,002 | 100,0 | 0,0 | 0,0 | 0,0 |
| CaiP14 | 0,989 | 0,004 | 0,003 | 0,003 | 100,0 | 0,0 | 0,0 | 0,0 |
| CaiP15 | 0,958 | 0,023 | 0,010 | 0,010 | 100,0 | 0,0 | 0,0 | 0,0 |
| CaiP16 | 0,900 | 0,084 | 0,009 | 0,008 | 100,0 | 0,0 | 0,0 | 0,0 |
| CaiP17 | 0,850 | 0,011 | 0,125 | 0,014 | 100,0 | 0,0 | 0,0 | 0,0 |
| CaiP18 | 0,975 | 0,008 | 0,005 | 0,012 | 100,0 | 0,0 | 0,0 | 0,0 |
| CaiP19 | 0,939 | 0,011 | 0,044 | 0,006 | 100,0 | 0,0 | 0,0 | 0,0 |
| CaiP20 | 0,909 | 0,081 | 0,005 | 0,005 | 100,0 | 0,0 | 0,0 | 0,0 |
| GesP01 | 0,944 | 0,025 | 0,020 | 0,011 | 100,0 | 0,0 | 0,0 | 0,0 |
| GesP02 | 0,987 | 0,005 | 0,004 | 0,004 | 100,0 | 0,0 | 0,0 | 0,0 |
| GesP03 | 0,988 | 0,006 | 0,003 | 0,003 | 100,0 | 0,0 | 0,0 | 0,0 |
| GesP04 | 0,783 | 0,209 | 0,003 | 0,005 | 100,0 | 0,0 | 0,0 | 0,0 |
| GesP05 | 0,982 | 0,008 | 0,004 | 0,006 | 100,0 | 0,0 | 0,0 | 0,0 |
| GesP06 | 0,969 | 0,011 | 0,019 | 0,002 | 100,0 | 0,0 | 0,0 | 0,0 |
| GesP07 | 0,987 | 0,006 | 0,003 | 0,004 | 100,0 | 0,0 | 0,0 | 0,0 |
| GesP08 | 0,981 | 0,010 | 0,006 | 0,003 | 100,0 | 0,0 | 0,0 | 0,0 |
| GesP09 | 0,968 | 0,014 | 0,006 | 0,012 | 100,0 | 0,0 | 0,0 | 0,0 |
| GesP10 | 0,982 | 0,010 | 0,005 | 0,003 | 100,0 | 0,0 | 0,0 | 0,0 |
| GesP11 | 0,910 | 0,051 | 0,023 | 0,016 | 100,0 | 0,0 | 0,0 | 0,0 |
| GesP12 | 0,973 | 0,017 | 0,008 | 0,003 | 100,0 | 0,0 | 0,0 | 0,0 |
| GesP13 | 0,968 | 0,014 | 0,015 | 0,004 | 100,0 | 0,0 | 0,0 | 0,0 |
| GesP14 | 0,975 | 0,015 | 0,005 | 0,005 | 100,0 | 0,0 | 0,0 | 0,0 |
| GesP15 | 0,982 | 0,010 | 0,004 | 0,004 | 100,0 | 0,0 | 0,0 | 0,0 |
| GesP16 | 0,982 | 0,010 | 0,003 | 0,005 | 100,0 | 0,0 | 0,0 | 0,0 |
| GesP17 | 0,846 | 0,107 | 0,028 | 0,018 | 100,0 | 0,0 | 0,0 | 0,0 |
| GesP18 | 0,922 | 0,009 | 0,005 | 0,063 | 100,0 | 0,0 | 0,0 | 0,0 |
| GesP19 | 0,925 | 0,065 | 0,006 | 0,004 | 100,0 | 0,0 | 0,0 | 0,0 |



| Tree # | STRUCTURE (27.1.22) | | | | GeneClass2 (27.1.22) | | | |
|--------|---------------------|-------|-------------|---------|----------------------|------------|-------------|---------|
| | R05+32 | R12 | BC-interior | Montana | Other coast. | BC-coastal | BC-interior | Montana |
| GesP20 | 0,935 | 0,056 | 0,005 | 0,004 | 100,0 | 0,0 | 0,0 | 0,0 |
| GrmP01 | 0,004 | 0,004 | 0,989 | 0,004 | 0,0 | 0,6 | 58,6 | 40,9 |
| GrmP02 | 0,008 | 0,006 | 0,928 | 0,059 | 2,0 | 0,0 | 95,8 | 2,2 |
| GrmP03 | 0,007 | 0,004 | 0,955 | 0,034 | 99,4 | 0,0 | 0,6 | 0,0 |
| GrmP04 | 0,015 | 0,014 | 0,966 | 0,004 | 0,0 | 0,0 | 0,0 | 100,0 |
| GrmP05 | 0,006 | 0,005 | 0,960 | 0,029 | 0,0 | 0,0 | 100,0 | 0,0 |
| GrmP06 | 0,005 | 0,009 | 0,966 | 0,020 | 99,0 | 0,0 | 0,7 | 0,3 |
| GrmP07 | 0,007 | 0,031 | 0,958 | 0,004 | 100,0 | 0,0 | 0,0 | 0,0 |
| GrmP08 | 0,044 | 0,006 | 0,946 | 0,004 | 99,0 | 0,0 | 0,0 | 1,0 |
| GrmP09 | 0,004 | 0,007 | 0,966 | 0,023 | 0,0 | 0,0 | 94,3 | 5,7 |
| GrmP10 | 0,003 | 0,004 | 0,991 | 0,002 | 0,0 | 0,0 | 0,0 | 100,0 |
| GrmP11 | 0,007 | 0,010 | 0,967 | 0,017 | 12,6 | 0,0 | 0,0 | 87,4 |
| GrmP12 | 0,013 | 0,009 | 0,971 | 0,007 | 96,6 | 0,0 | 0,9 | 2,5 |
| GrmP13 | 0,020 | 0,003 | 0,973 | 0,004 | 0,0 | 0,0 | 1,0 | 99,0 |
| GrmP14 | 0,007 | 0,004 | 0,986 | 0,004 | 0,0 | 0,0 | 0,0 | 100,0 |
| GrmP15 | 0,092 | 0,530 | 0,265 | 0,113 | 99,3 | 0,1 | 0,6 | 0,0 |
| GrmP16 | 0,006 | 0,003 | 0,987 | 0,003 | 98,9 | 0,0 | 0,1 | 1,0 |
| GrmP17 | 0,009 | 0,006 | 0,959 | 0,026 | 0,8 | 0,0 | 0,1 | 99,1 |
| GrmP18 | 0,005 | 0,003 | 0,988 | 0,004 | 0,0 | 0,0 | 0,0 | 100,0 |
| GrmP19 | 0,052 | 0,012 | 0,930 | 0,005 | 0,8 | 0,0 | 0,0 | 99,2 |
| GrmP20 | 0,036 | 0,027 | 0,933 | 0,004 | 100,0 | 0,0 | 0,0 | 0,0 |
| KunP01 | 0,979 | 0,014 | 0,005 | 0,002 | 100,0 | 0,0 | 0,0 | 0,0 |
| KunP02 | 0,982 | 0,012 | 0,003 | 0,003 | 100,0 | 0,0 | 0,0 | 0,0 |
| KunP03 | 0,982 | 0,011 | 0,006 | 0,002 | 100,0 | 0,0 | 0,0 | 0,0 |
| KunP04 | 0,989 | 0,004 | 0,004 | 0,003 | 100,0 | 0,0 | 0,0 | 0,0 |
| KunP05 | 0,926 | 0,052 | 0,016 | 0,006 | 100,0 | 0,0 | 0,0 | 0,0 |
| KunP06 | 0,969 | 0,017 | 0,003 | 0,010 | 100,0 | 0,0 | 0,0 | 0,0 |
| KunP07 | 0,981 | 0,010 | 0,007 | 0,002 | 100,0 | 0,0 | 0,0 | 0,0 |
| KunP08 | 0,924 | 0,035 | 0,035 | 0,006 | 100,0 | 0,0 | 0,0 | 0,0 |
| KunP09 | 0,960 | 0,020 | 0,014 | 0,006 | 100,0 | 0,0 | 0,0 | 0,0 |
| KunP10 | 0,876 | 0,106 | 0,013 | 0,005 | 100,0 | 0,0 | 0,0 | 0,0 |
| KunP11 | 0,986 | 0,007 | 0,004 | 0,002 | 100,0 | 0,0 | 0,0 | 0,0 |
| KunP12 | 0,987 | 0,007 | 0,004 | 0,003 | 100,0 | 0,0 | 0,0 | 0,0 |
| KunP13 | 0,136 | 0,854 | 0,006 | 0,004 | 100,0 | 0,0 | 0,0 | 0,0 |
| KunP14 | 0,864 | 0,006 | 0,127 | 0,003 | 100,0 | 0,0 | 0,0 | 0,0 |
| KunP15 | 0,909 | 0,014 | 0,068 | 0,008 | 100,0 | 0,0 | 0,0 | 0,0 |
| KunP16 | 0,977 | 0,017 | 0,003 | 0,003 | 100,0 | 0,0 | 0,0 | 0,0 |
| KunP17 | 0,965 | 0,005 | 0,013 | 0,017 | 100,0 | 0,0 | 0,0 | 0,0 |
| KunP18 | 0,965 | 0,024 | 0,007 | 0,003 | 100,0 | 0,0 | 0,0 | 0,0 |
| KunP19 | 0,991 | 0,004 | 0,002 | 0,003 | 100,0 | 0,0 | 0,0 | 0,0 |
| KunP20 | 0,988 | 0,005 | 0,004 | 0,003 | 100,0 | 0,0 | 0,0 | 0,0 |
| RueP01 | 0,856 | 0,031 | 0,004 | 0,109 | 100,0 | 0,0 | 0,0 | 0,0 |



| Tree # | STRUCTURE (27.1.22) | | | | GeneClass2 (27.1.22) | | | |
|--------|---------------------|-------|-------------|---------|----------------------|------------|-------------|---------|
| | R05+32 | R12 | BC-interior | Montana | Other coast. | BC-coastal | BC-interior | Montana |
| RueP02 | 0,242 | 0,683 | 0,005 | 0,070 | 100,0 | 0,0 | 0,0 | 0,0 |
| RueP03 | 0,980 | 0,011 | 0,005 | 0,004 | 100,0 | 0,0 | 0,0 | 0,0 |
| RueP04 | 0,979 | 0,012 | 0,004 | 0,005 | 100,0 | 0,0 | 0,0 | 0,0 |
| RueP05 | 0,986 | 0,006 | 0,004 | 0,004 | 100,0 | 0,0 | 0,0 | 0,0 |
| RueP06 | 0,702 | 0,289 | 0,006 | 0,003 | 100,0 | 0,0 | 0,0 | 0,0 |
| RueP07 | 0,143 | 0,740 | 0,113 | 0,004 | 100,0 | 0,0 | 0,0 | 0,0 |
| RueP08 | 0,988 | 0,006 | 0,004 | 0,002 | 100,0 | 0,0 | 0,0 | 0,0 |
| RueP09 | 0,973 | 0,012 | 0,011 | 0,004 | 100,0 | 0,0 | 0,0 | 0,0 |
| RueP10 | 0,903 | 0,011 | 0,069 | 0,017 | 100,0 | 0,0 | 0,0 | 0,0 |
| RueP11 | 0,965 | 0,016 | 0,014 | 0,004 | 100,0 | 0,0 | 0,0 | 0,0 |
| RueP12 | 0,534 | 0,456 | 0,006 | 0,004 | 100,0 | 0,0 | 0,0 | 0,0 |
| RueP13 | 0,949 | 0,031 | 0,008 | 0,012 | 100,0 | 0,0 | 0,0 | 0,0 |
| RueP14 | 0,970 | 0,019 | 0,005 | 0,006 | 100,0 | 0,0 | 0,0 | 0,0 |
| RueP15 | 0,985 | 0,007 | 0,004 | 0,004 | 100,0 | 0,0 | 0,0 | 0,0 |
| RueP16 | 0,968 | 0,007 | 0,005 | 0,019 | 100,0 | 0,0 | 0,0 | 0,0 |
| RueP17 | 0,987 | 0,006 | 0,004 | 0,003 | 100,0 | 0,0 | 0,0 | 0,0 |
| RueP18 | 0,987 | 0,007 | 0,004 | 0,002 | 100,0 | 0,0 | 0,0 | 0,0 |
| RueP19 | 0,872 | 0,108 | 0,010 | 0,010 | 100,0 | 0,0 | 0,0 | 0,0 |
| RueP20 | 0,957 | 0,024 | 0,015 | 0,005 | 100,0 | 0,0 | 0,0 | 0,0 |
| ScaP01 | 0,664 | 0,295 | 0,035 | 0,006 | 100,0 | 0,0 | 0,0 | 0,0 |
| ScaP02 | 0,957 | 0,037 | 0,003 | 0,003 | 100,0 | 0,0 | 0,0 | 0,0 |
| ScaP03 | 0,908 | 0,019 | 0,058 | 0,016 | 100,0 | 0,0 | 0,0 | 0,0 |
| ScaP04 | 0,901 | 0,068 | 0,007 | 0,024 | 100,0 | 0,0 | 0,0 | 0,0 |
| ScaP05 | 0,992 | 0,003 | 0,003 | 0,002 | 100,0 | 0,0 | 0,0 | 0,0 |
| ScaP06 | 0,981 | 0,012 | 0,004 | 0,003 | 100,0 | 0,0 | 0,0 | 0,0 |
| ScaP07 | 0,481 | 0,512 | 0,005 | 0,002 | 100,0 | 0,0 | 0,0 | 0,0 |
| ScaP08 | 0,931 | 0,037 | 0,025 | 0,007 | 100,0 | 0,0 | 0,0 | 0,0 |
| ScaP09 | 0,975 | 0,017 | 0,004 | 0,004 | 100,0 | 0,0 | 0,0 | 0,0 |
| ScaP10 | 0,940 | 0,054 | 0,003 | 0,002 | 99,8 | 0,2 | 0,0 | 0,0 |
| ScaP11 | 0,978 | 0,016 | 0,004 | 0,002 | 100,0 | 0,0 | 0,0 | 0,0 |
| ScaP12 | 0,986 | 0,007 | 0,004 | 0,003 | 100,0 | 0,0 | 0,0 | 0,0 |
| ScaP13 | 0,984 | 0,009 | 0,004 | 0,003 | 100,0 | 0,0 | 0,0 | 0,0 |
| ScaP14 | 0,948 | 0,027 | 0,017 | 0,007 | 100,0 | 0,0 | 0,0 | 0,0 |
| ScaP15 | 0,435 | 0,387 | 0,012 | 0,167 | 100,0 | 0,0 | 0,0 | 0,0 |
| ScaP16 | 0,222 | 0,028 | 0,744 | 0,006 | 0,0 | 0,0 | 0,0 | 100,0 |
| ScaP17 | 0,960 | 0,030 | 0,009 | 0,002 | 100,0 | 0,0 | 0,0 | 0,0 |
| ScaP18 | 0,962 | 0,005 | 0,007 | 0,026 | 99,9 | 0,0 | 0,1 | 0,0 |
| ScaP19 | 0,988 | 0,004 | 0,003 | 0,005 | 100,0 | 0,0 | 0,0 | 0,0 |
| ScaP20 | 0,973 | 0,015 | 0,009 | 0,003 | 100,0 | 0,0 | 0,0 | 0,0 |
| SomP01 | 0,989 | 0,004 | 0,004 | 0,003 | 100,0 | 0,0 | 0,0 | 0,0 |
| SomP02 | 0,961 | 0,007 | 0,026 | 0,005 | 100,0 | 0,0 | 0,0 | 0,0 |
| SomP03 | 0,909 | 0,083 | 0,004 | 0,004 | 100,0 | 0,0 | 0,0 | 0,0 |



| Tree # | STRUCTURE (27.1.22) | | | | GeneClass2 (27.1.22) | | | |
|--------|---------------------|-------|-------------|---------|----------------------|------------|-------------|---------|
| | R05+32 | R12 | BC-interior | Montana | Other coast. | BC-coastal | BC-interior | Montana |
| SomP04 | 0,976 | 0,015 | 0,003 | 0,006 | 100,0 | 0,0 | 0,0 | 0,0 |
| SomP05 | 0,971 | 0,017 | 0,004 | 0,008 | 100,0 | 0,0 | 0,0 | 0,0 |
| SomP06 | 0,985 | 0,008 | 0,004 | 0,003 | 100,0 | 0,0 | 0,0 | 0,0 |
| SomP07 | 0,967 | 0,026 | 0,003 | 0,004 | 100,0 | 0,0 | 0,0 | 0,0 |
| SomP08 | 0,987 | 0,006 | 0,005 | 0,002 | 100,0 | 0,0 | 0,0 | 0,0 |
| SomP09 | 0,698 | 0,035 | 0,264 | 0,003 | 100,0 | 0,0 | 0,0 | 0,0 |
| SomP10 | 0,980 | 0,010 | 0,005 | 0,005 | 100,0 | 0,0 | 0,0 | 0,0 |
| SomP11 | 0,988 | 0,005 | 0,003 | 0,004 | 100,0 | 0,0 | 0,0 | 0,0 |
| SomP12 | 0,847 | 0,143 | 0,005 | 0,005 | 100,0 | 0,0 | 0,0 | 0,0 |
| SomP13 | 0,988 | 0,005 | 0,004 | 0,003 | 100,0 | 0,0 | 0,0 | 0,0 |
| SomP14 | 0,931 | 0,061 | 0,006 | 0,003 | 100,0 | 0,0 | 0,0 | 0,0 |
| SomP15 | 0,905 | 0,017 | 0,076 | 0,003 | 100,0 | 0,0 | 0,0 | 0,0 |
| SomP16 | 0,955 | 0,038 | 0,005 | 0,002 | 100,0 | 0,0 | 0,0 | 0,0 |
| SomP17 | 0,944 | 0,010 | 0,041 | 0,004 | 100,0 | 0,0 | 0,0 | 0,0 |
| SomP18 | 0,984 | 0,007 | 0,004 | 0,005 | 100,0 | 0,0 | 0,0 | 0,0 |
| SomP19 | 0,979 | 0,005 | 0,013 | 0,003 | 100,0 | 0,0 | 0,0 | 0,0 |
| SomP20 | 0,989 | 0,006 | 0,003 | 0,002 | 100,0 | 0,0 | 0,0 | 0,0 |
| SomP21 | 0,962 | 0,028 | 0,006 | 0,004 | 100,0 | 0,0 | 0,0 | 0,0 |
| UetP01 | 0,854 | 0,130 | 0,007 | 0,008 | 100,0 | 0,0 | 0,0 | 0,0 |
| UetP02 | 0,090 | 0,829 | 0,078 | 0,003 | 100,0 | 0,0 | 0,0 | 0,0 |
| UetP03 | 0,977 | 0,010 | 0,005 | 0,008 | 100,0 | 0,0 | 0,0 | 0,0 |
| UetP04 | 0,968 | 0,020 | 0,006 | 0,007 | 100,0 | 0,0 | 0,0 | 0,0 |
| UetP05 | 0,991 | 0,004 | 0,003 | 0,002 | 100,0 | 0,0 | 0,0 | 0,0 |
| UetP06 | 0,987 | 0,006 | 0,004 | 0,003 | 100,0 | 0,0 | 0,0 | 0,0 |
| UetP07 | 0,895 | 0,097 | 0,005 | 0,003 | 100,0 | 0,0 | 0,0 | 0,0 |
| UetP08 | 0,955 | 0,011 | 0,029 | 0,006 | 100,0 | 0,0 | 0,0 | 0,0 |
| UetP09 | 0,977 | 0,010 | 0,008 | 0,004 | 100,0 | 0,0 | 0,0 | 0,0 |
| UetP10 | 0,985 | 0,006 | 0,007 | 0,002 | 100,0 | 0,0 | 0,0 | 0,0 |
| UetP11 | 0,979 | 0,009 | 0,005 | 0,007 | 100,0 | 0,0 | 0,0 | 0,0 |
| UetP12 | 0,987 | 0,006 | 0,004 | 0,003 | 100,0 | 0,0 | 0,0 | 0,0 |
| UetP13 | 0,987 | 0,007 | 0,003 | 0,003 | 100,0 | 0,0 | 0,0 | 0,0 |
| UetP14 | 0,977 | 0,008 | 0,013 | 0,002 | 100,0 | 0,0 | 0,0 | 0,0 |
| UetP15 | 0,986 | 0,008 | 0,004 | 0,003 | 100,0 | 0,0 | 0,0 | 0,0 |
| UetP16 | 0,075 | 0,908 | 0,011 | 0,006 | 100,0 | 0,0 | 0,0 | 0,0 |
| UetP17 | 0,960 | 0,031 | 0,005 | 0,004 | 100,0 | 0,0 | 0,0 | 0,0 |
| UetP18 | 0,981 | 0,013 | 0,003 | 0,003 | 100,0 | 0,0 | 0,0 | 0,0 |
| UetP19 | 0,917 | 0,067 | 0,013 | 0,003 | 100,0 | 0,0 | 0,0 | 0,0 |
| UetP20 | 0,976 | 0,010 | 0,010 | 0,004 | 100,0 | 0,0 | 0,0 | 0,0 |
| R05_01 | 0,651 | 0,239 | 0,020 | 0,090 | - | - | - | - |
| R05_02 | 0,113 | 0,845 | 0,005 | 0,037 | - | - | - | - |
| R05_03 | 0,158 | 0,811 | 0,016 | 0,016 | - | - | - | - |
| R05_04 | 0,309 | 0,284 | 0,370 | 0,038 | - | - | - | - |



| Tree # | STRUCTURE (27.1.22) | | | | GeneClass2 (27.1.22) | | | |
|--------|---------------------|-------|-------------|---------|----------------------|------------|-------------|---------|
| | R05+32 | R12 | BC-interior | Montana | Other coast. | BC-coastal | BC-interior | Montana |
| R05_05 | 0,633 | 0,059 | 0,299 | 0,010 | - | - | - | - |
| R05_06 | 0,934 | 0,056 | 0,007 | 0,003 | - | - | - | - |
| R05_07 | 0,010 | 0,977 | 0,008 | 0,005 | - | - | - | - |
| R05_08 | 0,348 | 0,526 | 0,049 | 0,078 | - | - | - | - |
| R05_09 | 0,657 | 0,336 | 0,005 | 0,003 | - | - | - | - |
| R05_10 | 0,105 | 0,874 | 0,012 | 0,009 | - | - | - | - |
| R05_11 | 0,913 | 0,061 | 0,020 | 0,005 | - | - | - | - |
| R05_12 | 0,966 | 0,017 | 0,013 | 0,004 | - | - | - | - |
| R05_13 | 0,483 | 0,021 | 0,144 | 0,352 | - | - | - | - |
| R05_14 | 0,830 | 0,067 | 0,089 | 0,014 | - | - | - | - |
| R05_15 | 0,929 | 0,040 | 0,003 | 0,028 | - | - | - | - |
| R05_16 | 0,009 | 0,975 | 0,005 | 0,011 | - | - | - | - |
| R05_17 | 0,956 | 0,018 | 0,019 | 0,006 | - | - | - | - |
| R05_18 | 0,449 | 0,278 | 0,007 | 0,266 | - | - | - | - |
| R05_19 | 0,959 | 0,016 | 0,019 | 0,006 | - | - | - | - |
| R05_20 | 0,891 | 0,095 | 0,005 | 0,009 | - | - | - | - |
| R12_01 | 0,190 | 0,799 | 0,007 | 0,005 | - | - | - | - |
| R12_02 | 0,039 | 0,951 | 0,005 | 0,005 | - | - | - | - |
| R12_03 | 0,062 | 0,903 | 0,031 | 0,004 | - | - | - | - |
| R12_04 | 0,188 | 0,800 | 0,007 | 0,005 | - | - | - | - |
| R12_05 | 0,083 | 0,902 | 0,008 | 0,007 | - | - | - | - |
| R12_06 | 0,026 | 0,957 | 0,009 | 0,008 | - | - | - | - |
| R12_07 | 0,928 | 0,062 | 0,007 | 0,004 | - | - | - | - |
| R12_08 | 0,083 | 0,886 | 0,025 | 0,005 | - | - | - | - |
| R12_09 | 0,179 | 0,598 | 0,017 | 0,206 | - | - | - | - |
| R12_10 | 0,012 | 0,943 | 0,011 | 0,034 | - | - | - | - |
| R12_11 | 0,190 | 0,773 | 0,005 | 0,032 | - | - | - | - |
| R12_12 | 0,043 | 0,947 | 0,006 | 0,004 | - | - | - | - |
| R12_13 | 0,090 | 0,494 | 0,409 | 0,007 | - | - | - | - |
| R12_14 | 0,003 | 0,990 | 0,003 | 0,004 | - | - | - | - |
| R12_15 | 0,721 | 0,235 | 0,005 | 0,039 | - | - | - | - |
| R12_16 | 0,007 | 0,917 | 0,004 | 0,071 | - | - | - | - |
| R12_17 | 0,186 | 0,804 | 0,003 | 0,007 | - | - | - | - |
| R12_18 | 0,724 | 0,228 | 0,006 | 0,042 | - | - | - | - |
| R12_19 | 0,109 | 0,868 | 0,011 | 0,012 | - | - | - | - |
| R12_20 | 0,314 | 0,442 | 0,020 | 0,224 | - | - | - | - |
| R32_01 | 0,293 | 0,697 | 0,004 | 0,007 | - | - | - | - |
| R32_02 | 0,966 | 0,013 | 0,009 | 0,012 | - | - | - | - |
| R32_03 | 0,952 | 0,026 | 0,020 | 0,002 | - | - | - | - |
| R32_04 | 0,623 | 0,370 | 0,004 | 0,003 | - | - | - | - |
| R32_05 | 0,985 | 0,009 | 0,004 | 0,002 | - | - | - | - |
| R32_06 | 0,688 | 0,272 | 0,004 | 0,036 | - | - | - | - |



| Tree # | STRUCTURE (27.1.22) | | | | GeneClass2 (27.1.22) | | | |
|--------|---------------------|-------|-------------|---------|----------------------|------------|-------------|---------|
| | R05+32 | R12 | BC-interior | Montana | Other coast. | BC-coastal | BC-interior | Montana |
| R32_07 | 0,872 | 0,113 | 0,004 | 0,011 | - | - | - | - |
| R32_08 | 0,897 | 0,078 | 0,021 | 0,003 | - | - | - | - |
| R32_09 | 0,953 | 0,020 | 0,021 | 0,006 | - | - | - | - |
| R32_10 | 0,964 | 0,022 | 0,004 | 0,011 | - | - | - | - |
| R32_11 | 0,526 | 0,465 | 0,005 | 0,004 | - | - | - | - |
| R32_12 | 0,966 | 0,020 | 0,004 | 0,010 | - | - | - | - |
| R32_13 | 0,750 | 0,145 | 0,053 | 0,053 | - | - | - | - |
| R32_14 | 0,988 | 0,007 | 0,003 | 0,002 | - | - | - | - |
| R32_15 | 0,969 | 0,024 | 0,005 | 0,002 | - | - | - | - |
| R32_17 | 0,967 | 0,018 | 0,012 | 0,003 | - | - | - | - |
| R32_18 | 0,671 | 0,323 | 0,003 | 0,003 | - | - | - | - |
| R32_19 | 0,676 | 0,313 | 0,004 | 0,006 | - | - | - | - |
| R32_20 | 0,987 | 0,008 | 0,002 | 0,003 | - | - | - | - |
| R33_02 | 0,009 | 0,046 | 0,930 | 0,015 | - | - | - | - |
| R33_03 | 0,003 | 0,003 | 0,991 | 0,003 | - | - | - | - |
| R33_04 | 0,006 | 0,006 | 0,949 | 0,039 | - | - | - | - |
| R33_05 | 0,003 | 0,006 | 0,970 | 0,021 | - | - | - | - |
| R33_06 | 0,007 | 0,004 | 0,516 | 0,473 | - | - | - | - |
| R33_07 | 0,026 | 0,013 | 0,957 | 0,004 | - | - | - | - |
| R33_08 | 0,009 | 0,019 | 0,963 | 0,009 | - | - | - | - |
| R33_09 | 0,004 | 0,003 | 0,988 | 0,004 | - | - | - | - |
| R33_10 | 0,013 | 0,011 | 0,973 | 0,003 | - | - | - | - |
| R33_11 | 0,006 | 0,003 | 0,982 | 0,009 | - | - | - | - |
| R33_12 | 0,002 | 0,005 | 0,990 | 0,004 | - | - | - | - |
| R33_13 | 0,004 | 0,008 | 0,963 | 0,024 | - | - | - | - |
| R33_14 | 0,006 | 0,003 | 0,964 | 0,028 | - | - | - | - |
| R33_15 | 0,006 | 0,003 | 0,947 | 0,044 | - | - | - | - |
| R33_16 | 0,003 | 0,012 | 0,914 | 0,071 | - | - | - | - |
| R33_17 | 0,004 | 0,003 | 0,986 | 0,007 | - | - | - | - |
| R33_19 | 0,004 | 0,006 | 0,985 | 0,005 | - | - | - | - |
| R33_20 | 0,011 | 0,007 | 0,972 | 0,010 | - | - | - | - |
| R38_01 | 0,003 | 0,992 | 0,002 | 0,003 | - | - | - | - |
| R38_02 | 0,017 | 0,969 | 0,009 | 0,005 | - | - | - | - |
| R38_03 | 0,028 | 0,967 | 0,003 | 0,003 | - | - | - | - |
| R38_04 | 0,005 | 0,948 | 0,008 | 0,039 | - | - | - | - |
| R38_05 | 0,010 | 0,977 | 0,005 | 0,008 | - | - | - | - |
| R38_06 | 0,005 | 0,988 | 0,004 | 0,003 | - | - | - | - |
| R38_07 | 0,009 | 0,976 | 0,005 | 0,010 | - | - | - | - |
| R38_08 | 0,005 | 0,988 | 0,003 | 0,003 | - | - | - | - |
| R38_09 | 0,006 | 0,987 | 0,004 | 0,003 | - | - | - | - |
| R38_10 | 0,003 | 0,990 | 0,003 | 0,004 | - | - | - | - |
| R38_11 | 0,004 | 0,987 | 0,003 | 0,006 | - | - | - | - |



| Tree # | STRUCTURE (27.1.22) | | | | GeneClass2 (27.1.22) | | | |
|--------|---------------------|-------|-------------|---------|----------------------|------------|-------------|---------|
| | R05+32 | R12 | BC-interior | Montana | Other coast. | BC-coastal | BC-interior | Montana |
| R38_12 | 0,011 | 0,982 | 0,003 | 0,004 | - | - | - | - |
| R38_13 | 0,006 | 0,981 | 0,010 | 0,003 | - | - | - | - |
| R38_14 | 0,006 | 0,981 | 0,005 | 0,008 | - | - | - | - |
| R38_15 | 0,007 | 0,984 | 0,004 | 0,005 | - | - | - | - |
| R38_16 | 0,003 | 0,990 | 0,004 | 0,003 | - | - | - | - |
| R38_17 | 0,004 | 0,982 | 0,008 | 0,006 | - | - | - | - |
| R38_18 | 0,004 | 0,947 | 0,003 | 0,046 | - | - | - | - |
| R38_19 | 0,004 | 0,982 | 0,005 | 0,008 | - | - | - | - |
| R38_20 | 0,004 | 0,987 | 0,004 | 0,005 | - | - | - | - |
| R39_01 | 0,002 | 0,004 | 0,003 | 0,991 | - | - | - | - |
| R39_02 | 0,004 | 0,003 | 0,008 | 0,984 | - | - | - | - |
| R39_03 | 0,009 | 0,004 | 0,115 | 0,871 | - | - | - | - |
| R39_04 | 0,003 | 0,042 | 0,022 | 0,933 | - | - | - | - |
| R39_05 | 0,003 | 0,004 | 0,003 | 0,990 | - | - | - | - |
| R39_06 | 0,006 | 0,006 | 0,004 | 0,984 | - | - | - | - |
| R39_07 | 0,117 | 0,009 | 0,010 | 0,865 | - | - | - | - |
| R39_08 | 0,015 | 0,032 | 0,017 | 0,937 | - | - | - | - |
| R39_09 | 0,006 | 0,004 | 0,004 | 0,987 | - | - | - | - |
| R39_10 | 0,035 | 0,072 | 0,017 | 0,875 | - | - | - | - |
| R39_11 | 0,003 | 0,007 | 0,374 | 0,616 | - | - | - | - |
| R39_12 | 0,009 | 0,007 | 0,009 | 0,975 | - | - | - | - |
| R39_13 | 0,003 | 0,015 | 0,003 | 0,979 | - | - | - | - |
| R39_14 | 0,005 | 0,008 | 0,119 | 0,868 | - | - | - | - |
| R39_15 | 0,004 | 0,004 | 0,004 | 0,988 | - | - | - | - |
| R39_16 | 0,013 | 0,004 | 0,008 | 0,975 | - | - | - | - |
| R39_17 | 0,003 | 0,004 | 0,003 | 0,990 | - | - | - | - |
| R39_18 | 0,005 | 0,005 | 0,016 | 0,974 | - | - | - | - |
| R39_19 | 0,058 | 0,294 | 0,025 | 0,623 | - | - | - | - |
| R39_20 | 0,004 | 0,007 | 0,003 | 0,986 | - | - | - | - |



Table A3.4 – Individual STRUCTURE membership proportions and individual assignment scores computed with GeneClass2 for K = 5 (conditional formatting with green tones for coastal and blue tones for interior clusters) (BC = British Columbia, Canada, OR = Oregon, USA, WA = Washington, USA)

| Tree # | STRUCTURE (27.1.2022) | | | | | | R12 | GeneClass2 (27.1.2022) | | | |
|--------|-----------------------|----------------|-----------------|----------------|--------------|-------|-------|------------------------|----------------|-----------------|--------------|
| | Vanc. Isl. | WA- coastal | BC- interior | BC- coastal | Monta- na | | | R05 +R32 | BC- coastal | BC- interior | Monta- na |
| CaiP01 | 0,945 | 0,027 | 0,008 | 0,010 | 0,010 | 6,1 | 93,9 | 0,0 | 0,0 | 0,0 | 0,0 |
| CaiP02 | 0,007 | 0,958 | 0,004 | 0,012 | 0,019 | 100,0 | 0,0 | 0,0 | 0,0 | 0,0 | 0,0 |
| CaiP03 | 0,974 | 0,012 | 0,004 | 0,003 | 0,007 | 0,0 | 100,0 | 0,0 | 0,0 | 0,0 | 0,0 |
| CaiP04 | 0,123 | 0,862 | 0,007 | 0,005 | 0,004 | 0,0 | 100,0 | 0,0 | 0,0 | 0,0 | 0,0 |
| CaiP05 | 0,840 | 0,126 | 0,005 | 0,021 | 0,008 | 0,0 | 100,0 | 0,0 | 0,0 | 0,0 | 0,0 |
| CaiP06 | 0,945 | 0,014 | 0,004 | 0,034 | 0,003 | 0,0 | 100,0 | 0,0 | 0,0 | 0,0 | 0,0 |
| CaiP07 | 0,988 | 0,004 | 0,003 | 0,002 | 0,003 | 0,0 | 100,0 | 0,0 | 0,0 | 0,0 | 0,0 |
| CaiP08 | 0,770 | 0,144 | 0,011 | 0,066 | 0,009 | 0,2 | 99,8 | 0,0 | 0,0 | 0,0 | 0,0 |
| CaiP09 | 0,605 | 0,376 | 0,005 | 0,005 | 0,009 | 0,0 | 100,0 | 0,0 | 0,0 | 0,0 | 0,0 |
| CaiP10 | 0,938 | 0,031 | 0,006 | 0,017 | 0,008 | 99,8 | 0,2 | 0,0 | 0,0 | 0,0 | 0,0 |
| CaiP11 | 0,965 | 0,026 | 0,003 | 0,002 | 0,003 | 0,0 | 100,0 | 0,0 | 0,0 | 0,0 | 0,0 |
| CaiP12 | 0,986 | 0,005 | 0,003 | 0,002 | 0,004 | 0,0 | 100,0 | 0,0 | 0,0 | 0,0 | 0,0 |
| CaiP13 | 0,921 | 0,065 | 0,005 | 0,002 | 0,007 | 0,0 | 100,0 | 0,0 | 0,0 | 0,0 | 0,0 |
| CaiP14 | 0,505 | 0,484 | 0,003 | 0,004 | 0,004 | 0,0 | 100,0 | 0,0 | 0,0 | 0,0 | 0,0 |
| CaiP15 | 0,958 | 0,015 | 0,008 | 0,009 | 0,010 | 0,0 | 100,0 | 0,0 | 0,0 | 0,0 | 0,0 |
| CaiP16 | 0,833 | 0,080 | 0,067 | 0,009 | 0,011 | 0,0 | 100,0 | 0,0 | 0,0 | 0,0 | 0,0 |
| CaiP17 | 0,836 | 0,014 | 0,014 | 0,017 | 0,119 | 0,0 | 100,0 | 0,0 | 0,0 | 0,0 | 0,0 |
| CaiP18 | 0,967 | 0,009 | 0,005 | 0,015 | 0,004 | 0,0 | 100,0 | 0,0 | 0,0 | 0,0 | 0,0 |
| CaiP19 | 0,572 | 0,379 | 0,006 | 0,005 | 0,039 | 0,0 | 100,0 | 0,0 | 0,0 | 0,0 | 0,0 |
| CaiP20 | 0,903 | 0,072 | 0,015 | 0,005 | 0,005 | 0,0 | 100,0 | 0,0 | 0,0 | 0,0 | 0,0 |
| GesP01 | 0,883 | 0,086 | 0,004 | 0,010 | 0,016 | 0,0 | 100,0 | 0,0 | 0,0 | 0,0 | 0,0 |
| GesP02 | 0,436 | 0,547 | 0,005 | 0,004 | 0,008 | 0,0 | 100,0 | 0,0 | 0,0 | 0,0 | 0,0 |
| GesP03 | 0,959 | 0,031 | 0,005 | 0,003 | 0,003 | 0,0 | 100,0 | 0,0 | 0,0 | 0,0 | 0,0 |
| GesP04 | 0,415 | 0,120 | 0,457 | 0,005 | 0,003 | 0,0 | 69,2 | 30,8 | 0,0 | 0,0 | 0,0 |
| GesP05 | 0,792 | 0,193 | 0,005 | 0,006 | 0,004 | 0,0 | 100,0 | 0,0 | 0,0 | 0,0 | 0,0 |
| GesP06 | 0,972 | 0,010 | 0,003 | 0,002 | 0,012 | 1,5 | 98,5 | 0,0 | 0,0 | 0,0 | 0,0 |
| GesP07 | 0,965 | 0,025 | 0,003 | 0,005 | 0,003 | 0,0 | 100,0 | 0,0 | 0,0 | 0,0 | 0,0 |
| GesP08 | 0,975 | 0,011 | 0,005 | 0,003 | 0,005 | 3,3 | 96,7 | 0,0 | 0,0 | 0,0 | 0,0 |
| GesP09 | 0,956 | 0,019 | 0,007 | 0,013 | 0,005 | 68,4 | 31,6 | 0,0 | 0,0 | 0,0 | 0,0 |
| GesP10 | 0,939 | 0,048 | 0,005 | 0,003 | 0,004 | 99,8 | 0,2 | 0,0 | 0,0 | 0,0 | 0,0 |
| GesP11 | 0,794 | 0,148 | 0,017 | 0,016 | 0,025 | 0,0 | 100,0 | 0,0 | 0,0 | 0,0 | 0,0 |
| GesP12 | 0,886 | 0,074 | 0,027 | 0,003 | 0,009 | 36,8 | 63,2 | 0,0 | 0,0 | 0,0 | 0,0 |
| GesP13 | 0,876 | 0,095 | 0,009 | 0,004 | 0,015 | 100,0 | 0,0 | 0,0 | 0,0 | 0,0 | 0,0 |
| GesP14 | 0,416 | 0,567 | 0,007 | 0,005 | 0,005 | 100,0 | 0,0 | 0,0 | 0,0 | 0,0 | 0,0 |
| GesP15 | 0,353 | 0,608 | 0,031 | 0,004 | 0,004 | 0,0 | 100,0 | 0,0 | 0,0 | 0,0 | 0,0 |
| GesP16 | 0,804 | 0,172 | 0,015 | 0,006 | 0,003 | 0,0 | 100,0 | 0,0 | 0,0 | 0,0 | 0,0 |
| GesP17 | 0,913 | 0,039 | 0,008 | 0,022 | 0,019 | 0,0 | 100,0 | 0,0 | 0,0 | 0,0 | 0,0 |
| GesP18 | 0,920 | 0,008 | 0,011 | 0,056 | 0,005 | 0,0 | 100,0 | 0,0 | 0,0 | 0,0 | 0,0 |
| GesP19 | 0,463 | 0,468 | 0,057 | 0,004 | 0,008 | 0,0 | 100,0 | 0,0 | 0,0 | 0,0 | 0,0 |



| Tree # | Vanc. Isl. | STRUCTURE (27.1.2022) | | | | | R12 | GeneClass2 (27.1.2022) | | | |
|--------|---------------|-----------------------|-----------------|----------------|--------------|------|-------|------------------------|----------------|-----------------|--------------|
| | | WA- coastal | BC- interior | BC- coastal | Monta- na | R12 | | R05 +R32 | BC- coastal | BC- interior | Monta- na |
| GesP20 | 0,906 | 0,078 | 0,006 | 0,005 | 0,005 | 0,0 | 100,0 | 0,0 | 0,0 | 0,0 | 0,0 |
| GrmP01 | 0,004 | 0,004 | 0,004 | 0,004 | 0,984 | 0,0 | 0,0 | 0,6 | 58,6 | 40,8 | |
| GrmP02 | 0,006 | 0,020 | 0,003 | 0,070 | 0,902 | 0,0 | 20,0 | 0,0 | 78,2 | 1,8 | |
| GrmP03 | 0,006 | 0,011 | 0,003 | 0,040 | 0,939 | 98,6 | 0,0 | 0,0 | 1,3 | 0,0 | |
| GrmP04 | 0,019 | 0,006 | 0,033 | 0,004 | 0,938 | 0,0 | 0,0 | 0,0 | 0,0 | 100,0 | |
| GrmP05 | 0,006 | 0,011 | 0,003 | 0,040 | 0,940 | 1,3 | 0,0 | 0,0 | 98,7 | 0,0 | |
| GrmP06 | 0,008 | 0,007 | 0,003 | 0,022 | 0,960 | 0,1 | 18,6 | 0,0 | 56,2 | 25,2 | |
| GrmP07 | 0,009 | 0,035 | 0,003 | 0,005 | 0,947 | 99,9 | 0,1 | 0,0 | 0,0 | 0,0 | |
| GrmP08 | 0,030 | 0,024 | 0,005 | 0,004 | 0,937 | 1,0 | 0,0 | 0,0 | 0,0 | 99,0 | |
| GrmP09 | 0,004 | 0,005 | 0,010 | 0,040 | 0,942 | 0,0 | 0,0 | 0,0 | 94,3 | 5,7 | |
| GrmP10 | 0,003 | 0,004 | 0,003 | 0,002 | 0,988 | 0,0 | 0,0 | 0,0 | 0,0 | 100,0 | |
| GrmP11 | 0,009 | 0,011 | 0,005 | 0,022 | 0,952 | 0,0 | 86,2 | 0,0 | 0,0 | 13,8 | |
| GrmP12 | 0,016 | 0,006 | 0,010 | 0,006 | 0,962 | 0,0 | 85,0 | 0,0 | 3,9 | 11,1 | |
| GrmP13 | 0,028 | 0,005 | 0,002 | 0,004 | 0,961 | 0,0 | 0,0 | 0,0 | 1,0 | 99,0 | |
| GrmP14 | 0,007 | 0,005 | 0,002 | 0,003 | 0,983 | 0,0 | 0,0 | 0,0 | 0,0 | 100,0 | |
| GrmP15 | 0,064 | 0,312 | 0,141 | 0,239 | 0,244 | 89,1 | 1,4 | 1,5 | 8,1 | 0,0 | |
| GrmP16 | 0,007 | 0,004 | 0,003 | 0,003 | 0,982 | 0,0 | 99,6 | 0,0 | 0,0 | 0,4 | |
| GrmP17 | 0,010 | 0,007 | 0,005 | 0,023 | 0,955 | 0,0 | 0,0 | 0,0 | 0,1 | 99,8 | |
| GrmP18 | 0,005 | 0,004 | 0,002 | 0,004 | 0,984 | 0,0 | 0,0 | 0,0 | 0,0 | 100,0 | |
| GrmP19 | 0,064 | 0,048 | 0,005 | 0,005 | 0,877 | 0,0 | 1,3 | 0,0 | 0,0 | 98,7 | |
| GrmP20 | 0,049 | 0,044 | 0,016 | 0,005 | 0,886 | 0,3 | 99,7 | 0,0 | 0,0 | 0,0 | |
| KunP01 | 0,940 | 0,045 | 0,008 | 0,002 | 0,005 | 0,0 | 100,0 | 0,0 | 0,0 | 0,0 | |
| KunP02 | 0,970 | 0,014 | 0,010 | 0,003 | 0,003 | 0,0 | 100,0 | 0,0 | 0,0 | 0,0 | |
| KunP03 | 0,970 | 0,011 | 0,012 | 0,002 | 0,005 | 0,0 | 100,0 | 0,0 | 0,0 | 0,0 | |
| KunP04 | 0,659 | 0,330 | 0,003 | 0,003 | 0,005 | 0,0 | 100,0 | 0,0 | 0,0 | 0,0 | |
| KunP05 | 0,947 | 0,021 | 0,015 | 0,007 | 0,010 | 0,0 | 100,0 | 0,0 | 0,0 | 0,0 | |
| KunP06 | 0,956 | 0,021 | 0,011 | 0,009 | 0,004 | 0,0 | 100,0 | 0,0 | 0,0 | 0,0 | |
| KunP07 | 0,653 | 0,332 | 0,006 | 0,003 | 0,006 | 0,0 | 100,0 | 0,0 | 0,0 | 0,0 | |
| KunP08 | 0,415 | 0,553 | 0,007 | 0,005 | 0,020 | 0,0 | 100,0 | 0,0 | 0,0 | 0,0 | |
| KunP09 | 0,973 | 0,010 | 0,004 | 0,006 | 0,008 | 0,0 | 100,0 | 0,0 | 0,0 | 0,0 | |
| KunP10 | 0,518 | 0,454 | 0,009 | 0,006 | 0,014 | 0,0 | 100,0 | 0,0 | 0,0 | 0,0 | |
| KunP11 | 0,753 | 0,234 | 0,006 | 0,002 | 0,005 | 0,0 | 100,0 | 0,0 | 0,0 | 0,0 | |
| KunP12 | 0,941 | 0,049 | 0,004 | 0,003 | 0,004 | 0,0 | 100,0 | 0,0 | 0,0 | 0,0 | |
| KunP13 | 0,015 | 0,759 | 0,215 | 0,005 | 0,005 | 1,3 | 98,7 | 0,0 | 0,0 | 0,0 | |
| KunP14 | 0,674 | 0,187 | 0,003 | 0,003 | 0,133 | 0,0 | 100,0 | 0,0 | 0,0 | 0,0 | |
| KunP15 | 0,916 | 0,021 | 0,005 | 0,007 | 0,051 | 0,0 | 100,0 | 0,0 | 0,0 | 0,0 | |
| KunP16 | 0,965 | 0,021 | 0,009 | 0,003 | 0,003 | 0,0 | 100,0 | 0,0 | 0,0 | 0,0 | |
| KunP17 | 0,905 | 0,064 | 0,003 | 0,016 | 0,012 | 0,0 | 100,0 | 0,0 | 0,0 | 0,0 | |
| KunP18 | 0,972 | 0,007 | 0,013 | 0,003 | 0,005 | 0,0 | 100,0 | 0,0 | 0,0 | 0,0 | |
| KunP19 | 0,984 | 0,007 | 0,002 | 0,004 | 0,003 | 0,0 | 100,0 | 0,0 | 0,0 | 0,0 | |
| KunP20 | 0,981 | 0,009 | 0,004 | 0,003 | 0,004 | 0,0 | 100,0 | 0,0 | 0,0 | 0,0 | |
| RueP01 | 0,234 | 0,635 | 0,011 | 0,115 | 0,004 | 0,0 | 100,0 | 0,0 | 0,0 | 0,0 | |



| Tree # | Vanc. Isl. | STRUCTURE (27.1.2022) | | | | | R12 | GeneClass2 (27.1.2022) | | | |
|--------|---------------|-----------------------|-------------|------------|---------|-------|-------|------------------------|------------|-------------|---------|
| | | WA-coastal | BC-interior | BC-coastal | Montana | | | R05 +R32 | BC-coastal | BC-interior | Montana |
| RueP02 | 0,296 | 0,555 | 0,061 | 0,084 | 0,005 | 0,0 | 100,0 | 0,0 | 0,0 | 0,0 | 0,0 |
| RueP03 | 0,952 | 0,021 | 0,016 | 0,005 | 0,006 | 0,0 | 100,0 | 0,0 | 0,0 | 0,0 | 0,0 |
| RueP04 | 0,974 | 0,009 | 0,009 | 0,004 | 0,004 | 0,0 | 100,0 | 0,0 | 0,0 | 0,0 | 0,0 |
| RueP05 | 0,076 | 0,906 | 0,007 | 0,006 | 0,006 | 0,0 | 100,0 | 0,0 | 0,0 | 0,0 | 0,0 |
| RueP06 | 0,027 | 0,960 | 0,007 | 0,003 | 0,003 | 100,0 | 0,0 | 0,0 | 0,0 | 0,0 | 0,0 |
| RueP07 | 0,829 | 0,009 | 0,017 | 0,005 | 0,139 | 0,0 | 100,0 | 0,0 | 0,0 | 0,0 | 0,0 |
| RueP08 | 0,969 | 0,017 | 0,006 | 0,003 | 0,005 | 0,7 | 99,3 | 0,0 | 0,0 | 0,0 | 0,0 |
| RueP09 | 0,946 | 0,027 | 0,011 | 0,004 | 0,013 | 0,0 | 100,0 | 0,0 | 0,0 | 0,0 | 0,0 |
| RueP10 | 0,921 | 0,011 | 0,005 | 0,014 | 0,049 | 0,0 | 100,0 | 0,0 | 0,0 | 0,0 | 0,0 |
| RueP11 | 0,979 | 0,007 | 0,004 | 0,003 | 0,007 | 0,0 | 100,0 | 0,0 | 0,0 | 0,0 | 0,0 |
| RueP12 | 0,777 | 0,096 | 0,118 | 0,003 | 0,006 | 0,0 | 100,0 | 0,0 | 0,0 | 0,0 | 0,0 |
| RueP13 | 0,925 | 0,055 | 0,004 | 0,010 | 0,007 | 5,0 | 95,0 | 0,0 | 0,0 | 0,0 | 0,0 |
| RueP14 | 0,959 | 0,013 | 0,016 | 0,007 | 0,005 | 0,0 | 100,0 | 0,0 | 0,0 | 0,0 | 0,0 |
| RueP15 | 0,978 | 0,009 | 0,005 | 0,004 | 0,004 | 0,0 | 100,0 | 0,0 | 0,0 | 0,0 | 0,0 |
| RueP16 | 0,331 | 0,619 | 0,005 | 0,038 | 0,006 | 0,1 | 99,9 | 0,0 | 0,0 | 0,0 | 0,0 |
| RueP17 | 0,969 | 0,013 | 0,010 | 0,003 | 0,005 | 0,0 | 100,0 | 0,0 | 0,0 | 0,0 | 0,0 |
| RueP18 | 0,948 | 0,043 | 0,004 | 0,003 | 0,004 | 2,9 | 97,1 | 0,0 | 0,0 | 0,0 | 0,0 |
| RueP19 | 0,961 | 0,011 | 0,015 | 0,007 | 0,007 | 100,0 | 0,0 | 0,0 | 0,0 | 0,0 | 0,0 |
| RueP20 | 0,762 | 0,203 | 0,014 | 0,005 | 0,016 | 0,0 | 100,0 | 0,0 | 0,0 | 0,0 | 0,0 |
| ScaP01 | 0,027 | 0,930 | 0,022 | 0,007 | 0,015 | 0,0 | 100,0 | 0,0 | 0,0 | 0,0 | 0,0 |
| ScaP02 | 0,005 | 0,986 | 0,005 | 0,002 | 0,002 | 0,0 | 100,0 | 0,0 | 0,0 | 0,0 | 0,0 |
| ScaP03 | 0,754 | 0,167 | 0,012 | 0,016 | 0,051 | 99,5 | 0,5 | 0,0 | 0,0 | 0,0 | 0,0 |
| ScaP04 | 0,360 | 0,567 | 0,044 | 0,021 | 0,009 | 0,0 | 100,0 | 0,0 | 0,0 | 0,0 | 0,0 |
| ScaP05 | 0,022 | 0,970 | 0,003 | 0,002 | 0,003 | 0,0 | 100,0 | 0,0 | 0,0 | 0,0 | 0,0 |
| ScaP06 | 0,013 | 0,975 | 0,003 | 0,002 | 0,006 | 0,0 | 100,0 | 0,0 | 0,0 | 0,0 | 0,0 |
| ScaP07 | 0,008 | 0,949 | 0,038 | 0,002 | 0,003 | 0,0 | 100,0 | 0,0 | 0,0 | 0,0 | 0,0 |
| ScaP08 | 0,910 | 0,042 | 0,018 | 0,007 | 0,024 | 0,0 | 100,0 | 0,0 | 0,0 | 0,0 | 0,0 |
| ScaP09 | 0,013 | 0,976 | 0,003 | 0,004 | 0,004 | 99,1 | 0,9 | 0,0 | 0,0 | 0,0 | 0,0 |
| ScaP10 | 0,039 | 0,944 | 0,010 | 0,002 | 0,004 | 0,0 | 100,0 | 0,0 | 0,0 | 0,0 | 0,0 |
| ScaP11 | 0,959 | 0,030 | 0,005 | 0,002 | 0,004 | 0,1 | 99,9 | 0,0 | 0,0 | 0,0 | 0,0 |
| ScaP12 | 0,029 | 0,956 | 0,008 | 0,004 | 0,004 | 0,0 | 100,0 | 0,0 | 0,0 | 0,0 | 0,0 |
| ScaP13 | 0,007 | 0,982 | 0,003 | 0,003 | 0,004 | 2,3 | 97,7 | 0,0 | 0,0 | 0,0 | 0,0 |
| ScaP14 | 0,005 | 0,981 | 0,003 | 0,005 | 0,007 | 0,0 | 100,0 | 0,0 | 0,0 | 0,0 | 0,0 |
| ScaP15 | 0,559 | 0,135 | 0,007 | 0,287 | 0,012 | 100,0 | 0,0 | 0,0 | 0,0 | 0,0 | 0,0 |
| ScaP16 | 0,139 | 0,096 | 0,029 | 0,006 | 0,730 | 0,0 | 0,6 | 0,0 | 0,0 | 0,0 | 99,4 |
| ScaP17 | 0,013 | 0,973 | 0,007 | 0,002 | 0,005 | 0,0 | 100,0 | 0,0 | 0,0 | 0,0 | 0,0 |
| ScaP18 | 0,930 | 0,022 | 0,004 | 0,036 | 0,008 | 0,0 | 100,0 | 0,0 | 0,0 | 0,0 | 0,0 |
| ScaP19 | 0,013 | 0,979 | 0,003 | 0,003 | 0,002 | 0,0 | 100,0 | 0,0 | 0,0 | 0,0 | 0,0 |
| ScaP20 | 0,018 | 0,966 | 0,008 | 0,003 | 0,006 | 0,0 | 100,0 | 0,0 | 0,0 | 0,0 | 0,0 |
| SomP01 | 0,591 | 0,396 | 0,004 | 0,003 | 0,006 | 0,0 | 100,0 | 0,0 | 0,0 | 0,0 | 0,0 |
| SomP02 | 0,785 | 0,154 | 0,008 | 0,005 | 0,048 | 0,0 | 100,0 | 0,0 | 0,0 | 0,0 | 0,0 |
| SomP03 | 0,900 | 0,051 | 0,043 | 0,003 | 0,004 | 0,0 | 100,0 | 0,0 | 0,0 | 0,0 | 0,0 |



| Tree # | Vanc. Isl. | STRUCTURE (27.1.2022) | | | | | R12 | GeneClass2 (27.1.2022) | | | |
|--------|---------------|-----------------------|-------------|------------|---------|-------------|-------|------------------------|-------------|---------|--|
| | | WA-coastal | BC-interior | BC-coastal | Montana | R05 +R32 | | BC-coastal | BC-interior | Montana | |
| SomP04 | 0,855 | 0,117 | 0,018 | 0,006 | 0,003 | 0,0 | 100,0 | 0,0 | 0,0 | 0,0 | |
| SomP05 | 0,965 | 0,020 | 0,003 | 0,008 | 0,004 | 61,3 | 38,7 | 0,0 | 0,0 | 0,0 | |
| SomP06 | 0,982 | 0,007 | 0,004 | 0,003 | 0,003 | 0,0 | 100,0 | 0,0 | 0,0 | 0,0 | |
| SomP07 | 0,040 | 0,948 | 0,006 | 0,003 | 0,003 | 100,0 | 0,0 | 0,0 | 0,0 | 0,0 | |
| SomP08 | 0,879 | 0,108 | 0,004 | 0,003 | 0,006 | 0,0 | 100,0 | 0,0 | 0,0 | 0,0 | |
| SomP09 | 0,660 | 0,133 | 0,010 | 0,003 | 0,195 | 0,0 | 100,0 | 0,0 | 0,0 | 0,0 | |
| SomP10 | 0,968 | 0,013 | 0,008 | 0,007 | 0,005 | 0,0 | 100,0 | 0,0 | 0,0 | 0,0 | |
| SomP11 | 0,909 | 0,081 | 0,003 | 0,004 | 0,003 | 0,0 | 100,0 | 0,0 | 0,0 | 0,0 | |
| SomP12 | 0,951 | 0,007 | 0,034 | 0,005 | 0,004 | 0,0 | 100,0 | 0,0 | 0,0 | 0,0 | |
| SomP13 | 0,860 | 0,128 | 0,004 | 0,003 | 0,005 | 0,0 | 100,0 | 0,0 | 0,0 | 0,0 | |
| SomP14 | 0,943 | 0,032 | 0,018 | 0,003 | 0,005 | 0,0 | 100,0 | 0,0 | 0,0 | 0,0 | |
| SomP15 | 0,889 | 0,057 | 0,004 | 0,003 | 0,047 | 0,0 | 100,0 | 0,0 | 0,0 | 0,0 | |
| SomP16 | 0,841 | 0,114 | 0,038 | 0,002 | 0,005 | 0,0 | 100,0 | 0,0 | 0,0 | 0,0 | |
| SomP17 | 0,916 | 0,032 | 0,007 | 0,004 | 0,040 | 0,0 | 100,0 | 0,0 | 0,0 | 0,0 | |
| SomP18 | 0,947 | 0,036 | 0,008 | 0,005 | 0,004 | 0,0 | 100,0 | 0,0 | 0,0 | 0,0 | |
| SomP19 | 0,944 | 0,034 | 0,004 | 0,004 | 0,015 | 0,0 | 100,0 | 0,0 | 0,0 | 0,0 | |
| SomP20 | 0,975 | 0,014 | 0,006 | 0,002 | 0,003 | 0,0 | 100,0 | 0,0 | 0,0 | 0,0 | |
| SomP21 | 0,916 | 0,053 | 0,022 | 0,004 | 0,005 | 0,0 | 100,0 | 0,0 | 0,0 | 0,0 | |
| UetP01 | 0,311 | 0,582 | 0,092 | 0,008 | 0,008 | 0,0 | 100,0 | 0,0 | 0,0 | 0,0 | |
| UetP02 | 0,561 | 0,188 | 0,141 | 0,003 | 0,107 | 0,0 | 100,0 | 0,0 | 0,0 | 0,0 | |
| UetP03 | 0,967 | 0,009 | 0,009 | 0,009 | 0,006 | 0,0 | 100,0 | 0,0 | 0,0 | 0,0 | |
| UetP04 | 0,102 | 0,875 | 0,010 | 0,007 | 0,007 | 0,0 | 100,0 | 0,0 | 0,0 | 0,0 | |
| UetP05 | 0,981 | 0,010 | 0,004 | 0,002 | 0,003 | 0,0 | 100,0 | 0,0 | 0,0 | 0,0 | |
| UetP06 | 0,979 | 0,009 | 0,006 | 0,003 | 0,004 | 0,0 | 100,0 | 0,0 | 0,0 | 0,0 | |
| UetP07 | 0,333 | 0,648 | 0,009 | 0,004 | 0,005 | 0,0 | 100,0 | 0,0 | 0,0 | 0,0 | |
| UetP08 | 0,611 | 0,333 | 0,005 | 0,007 | 0,045 | 0,0 | 100,0 | 0,0 | 0,0 | 0,0 | |
| UetP09 | 0,740 | 0,237 | 0,006 | 0,005 | 0,012 | 0,0 | 100,0 | 0,0 | 0,0 | 0,0 | |
| UetP10 | 0,977 | 0,008 | 0,006 | 0,003 | 0,007 | 0,0 | 100,0 | 0,0 | 0,0 | 0,0 | |
| UetP11 | 0,961 | 0,021 | 0,007 | 0,006 | 0,005 | 0,0 | 100,0 | 0,0 | 0,0 | 0,0 | |
| UetP12 | 0,984 | 0,006 | 0,003 | 0,003 | 0,004 | 0,0 | 100,0 | 0,0 | 0,0 | 0,0 | |
| UetP13 | 0,961 | 0,026 | 0,006 | 0,003 | 0,003 | 0,0 | 100,0 | 0,0 | 0,0 | 0,0 | |
| UetP14 | 0,965 | 0,015 | 0,006 | 0,002 | 0,012 | 0,0 | 100,0 | 0,0 | 0,0 | 0,0 | |
| UetP15 | 0,346 | 0,642 | 0,006 | 0,003 | 0,004 | 0,0 | 100,0 | 0,0 | 0,0 | 0,0 | |
| UetP16 | 0,037 | 0,895 | 0,048 | 0,008 | 0,012 | 57,5 | 42,5 | 0,0 | 0,0 | 0,0 | |
| UetP17 | 0,930 | 0,037 | 0,024 | 0,004 | 0,005 | 0,0 | 100,0 | 0,0 | 0,0 | 0,0 | |
| UetP18 | 0,036 | 0,947 | 0,012 | 0,002 | 0,003 | 0,0 | 100,0 | 0,0 | 0,0 | 0,0 | |
| UetP19 | 0,240 | 0,734 | 0,010 | 0,004 | 0,011 | 71,8 | 28,2 | 0,0 | 0,0 | 0,0 | |
| UetP20 | 0,970 | 0,014 | 0,004 | 0,004 | 0,008 | 0,0 | 100,0 | 0,0 | 0,0 | 0,0 | |
| R05_01 | 0,676 | 0,135 | 0,056 | 0,113 | 0,021 | - | - | - | - | - | |
| R05_02 | 0,006 | 0,954 | 0,009 | 0,028 | 0,004 | - | - | - | - | - | |
| R05_03 | 0,011 | 0,973 | 0,003 | 0,006 | 0,007 | - | - | - | - | - | |
| R05_04 | 0,219 | 0,222 | 0,085 | 0,037 | 0,437 | - | - | - | - | - | |



| Tree # | Vanc. Isl. | STRUCTURE (27.1.2022) | | | | | R12 | GeneClass2 (27.1.2022) | | | |
|--------|---------------|-----------------------|-----------------|----------------|--------------|-------------|-----|------------------------|-----------------|--------------|---|
| | | WA- coastal | BC- interior | BC- coastal | Monta- na | R05 +R32 | | BC- coastal | BC- interior | Monta- na | |
| R05_05 | 0,217 | 0,538 | 0,016 | 0,011 | 0,217 | - | - | - | - | - | - |
| R05_06 | 0,731 | 0,224 | 0,035 | 0,003 | 0,008 | - | - | - | - | - | - |
| R05_07 | 0,004 | 0,707 | 0,276 | 0,007 | 0,005 | - | - | - | - | - | - |
| R05_08 | 0,111 | 0,690 | 0,078 | 0,076 | 0,044 | - | - | - | - | - | - |
| R05_09 | 0,019 | 0,970 | 0,005 | 0,002 | 0,004 | - | - | - | - | - | - |
| R05_10 | 0,302 | 0,284 | 0,385 | 0,010 | 0,018 | - | - | - | - | - | - |
| R05_11 | 0,357 | 0,537 | 0,080 | 0,006 | 0,020 | - | - | - | - | - | - |
| R05_12 | 0,012 | 0,974 | 0,004 | 0,004 | 0,006 | - | - | - | - | - | - |
| R05_13 | 0,534 | 0,040 | 0,003 | 0,296 | 0,126 | - | - | - | - | - | - |
| R05_14 | 0,036 | 0,925 | 0,009 | 0,008 | 0,022 | - | - | - | - | - | - |
| R05_15 | 0,289 | 0,687 | 0,004 | 0,017 | 0,003 | - | - | - | - | - | - |
| R05_16 | 0,016 | 0,917 | 0,036 | 0,024 | 0,007 | - | - | - | - | - | - |
| R05_17 | 0,261 | 0,672 | 0,009 | 0,007 | 0,050 | - | - | - | - | - | - |
| R05_18 | 0,033 | 0,713 | 0,008 | 0,241 | 0,006 | - | - | - | - | - | - |
| R05_19 | 0,105 | 0,870 | 0,009 | 0,006 | 0,010 | - | - | - | - | - | - |
| R05_20 | 0,078 | 0,846 | 0,065 | 0,006 | 0,005 | - | - | - | - | - | - |
| R12_01 | 0,009 | 0,977 | 0,007 | 0,004 | 0,004 | - | - | - | - | - | - |
| R12_02 | 0,027 | 0,935 | 0,025 | 0,006 | 0,007 | - | - | - | - | - | - |
| R12_03 | 0,169 | 0,719 | 0,031 | 0,009 | 0,071 | - | - | - | - | - | - |
| R12_04 | 0,006 | 0,984 | 0,003 | 0,004 | 0,004 | - | - | - | - | - | - |
| R12_05 | 0,007 | 0,975 | 0,009 | 0,005 | 0,004 | - | - | - | - | - | - |
| R12_06 | 0,314 | 0,501 | 0,131 | 0,035 | 0,019 | - | - | - | - | - | - |
| R12_07 | 0,958 | 0,023 | 0,008 | 0,004 | 0,007 | - | - | - | - | - | - |
| R12_08 | 0,754 | 0,007 | 0,190 | 0,006 | 0,043 | - | - | - | - | - | - |
| R12_09 | 0,192 | 0,612 | 0,006 | 0,171 | 0,020 | - | - | - | - | - | - |
| R12_10 | 0,044 | 0,468 | 0,310 | 0,166 | 0,012 | - | - | - | - | - | - |
| R12_11 | 0,025 | 0,931 | 0,017 | 0,023 | 0,004 | - | - | - | - | - | - |
| R12_12 | 0,195 | 0,441 | 0,349 | 0,008 | 0,007 | - | - | - | - | - | - |
| R12_13 | 0,033 | 0,731 | 0,033 | 0,008 | 0,195 | - | - | - | - | - | - |
| R12_14 | 0,005 | 0,973 | 0,010 | 0,009 | 0,003 | - | - | - | - | - | - |
| R12_15 | 0,007 | 0,978 | 0,003 | 0,008 | 0,004 | - | - | - | - | - | - |
| R12_16 | 0,011 | 0,664 | 0,022 | 0,299 | 0,005 | - | - | - | - | - | - |
| R12_17 | 0,012 | 0,970 | 0,010 | 0,005 | 0,003 | - | - | - | - | - | - |
| R12_18 | 0,024 | 0,954 | 0,003 | 0,014 | 0,005 | - | - | - | - | - | - |
| R12_19 | 0,011 | 0,975 | 0,004 | 0,004 | 0,006 | - | - | - | - | - | - |
| R12_20 | 0,713 | 0,017 | 0,011 | 0,247 | 0,012 | - | - | - | - | - | - |
| R32_01 | 0,699 | 0,018 | 0,269 | 0,011 | 0,003 | - | - | - | - | - | - |
| R32_02 | 0,889 | 0,071 | 0,006 | 0,021 | 0,014 | - | - | - | - | - | - |
| R32_03 | 0,938 | 0,005 | 0,043 | 0,002 | 0,012 | - | - | - | - | - | - |
| R32_04 | 0,796 | 0,155 | 0,042 | 0,004 | 0,004 | - | - | - | - | - | - |
| R32_05 | 0,966 | 0,018 | 0,010 | 0,002 | 0,004 | - | - | - | - | - | - |
| R32_06 | 0,938 | 0,010 | 0,014 | 0,035 | 0,003 | - | - | - | - | - | - |



| Tree # | Vanc. Isl. | STRUCTURE (27.1.2022) | | | | R12 | GeneClass2 (27.1.2022) | | | |
|--------|---------------|-----------------------|-----------------|----------------|--------------|-----|------------------------|----------------|-----------------|--------------|
| | | WA- coastal | BC- interior | BC- coastal | Monta- na | | R05 +R32 | BC- coastal | BC- interior | Monta- na |
| R32_07 | 0,813 | 0,142 | 0,027 | 0,013 | 0,004 | - | - | - | - | - |
| R32_08 | 0,960 | 0,022 | 0,005 | 0,003 | 0,010 | - | - | - | - | - |
| R32_09 | 0,959 | 0,011 | 0,011 | 0,006 | 0,014 | - | - | - | - | - |
| R32_10 | 0,911 | 0,059 | 0,015 | 0,011 | 0,004 | - | - | - | - | - |
| R32_11 | 0,906 | 0,004 | 0,083 | 0,004 | 0,003 | - | - | - | - | - |
| R32_12 | 0,951 | 0,020 | 0,016 | 0,008 | 0,004 | - | - | - | - | - |
| R32_13 | 0,862 | 0,040 | 0,016 | 0,043 | 0,039 | - | - | - | - | - |
| R32_14 | 0,948 | 0,044 | 0,003 | 0,002 | 0,003 | - | - | - | - | - |
| R32_15 | 0,938 | 0,008 | 0,047 | 0,002 | 0,005 | - | - | - | - | - |
| R32_17 | 0,951 | 0,012 | 0,024 | 0,003 | 0,011 | - | - | - | - | - |
| R32_18 | 0,954 | 0,005 | 0,035 | 0,003 | 0,003 | - | - | - | - | - |
| R32_19 | 0,779 | 0,041 | 0,169 | 0,007 | 0,004 | - | - | - | - | - |
| R32_20 | 0,098 | 0,889 | 0,007 | 0,003 | 0,003 | - | - | - | - | - |
| R33_02 | 0,011 | 0,022 | 0,015 | 0,009 | 0,943 | - | - | - | - | - |
| R33_03 | 0,004 | 0,003 | 0,003 | 0,003 | 0,988 | - | - | - | - | - |
| R33_04 | 0,005 | 0,008 | 0,006 | 0,032 | 0,949 | - | - | - | - | - |
| R33_05 | 0,003 | 0,005 | 0,004 | 0,019 | 0,969 | - | - | - | - | - |
| R33_06 | 0,007 | 0,006 | 0,004 | 0,316 | 0,666 | - | - | - | - | - |
| R33_07 | 0,035 | 0,007 | 0,022 | 0,005 | 0,931 | - | - | - | - | - |
| R33_08 | 0,010 | 0,013 | 0,013 | 0,009 | 0,955 | - | - | - | - | - |
| R33_09 | 0,005 | 0,003 | 0,002 | 0,004 | 0,985 | - | - | - | - | - |
| R33_10 | 0,018 | 0,011 | 0,005 | 0,004 | 0,961 | - | - | - | - | - |
| R33_11 | 0,007 | 0,004 | 0,003 | 0,009 | 0,978 | - | - | - | - | - |
| R33_12 | 0,003 | 0,004 | 0,003 | 0,004 | 0,986 | - | - | - | - | - |
| R33_13 | 0,006 | 0,005 | 0,005 | 0,034 | 0,950 | - | - | - | - | - |
| R33_14 | 0,008 | 0,003 | 0,004 | 0,029 | 0,956 | - | - | - | - | - |
| R33_15 | 0,005 | 0,007 | 0,003 | 0,042 | 0,943 | - | - | - | - | - |
| R33_16 | 0,004 | 0,004 | 0,020 | 0,065 | 0,908 | - | - | - | - | - |
| R33_17 | 0,005 | 0,003 | 0,003 | 0,006 | 0,983 | - | - | - | - | - |
| R33_19 | 0,004 | 0,014 | 0,003 | 0,006 | 0,974 | - | - | - | - | - |
| R33_20 | 0,009 | 0,027 | 0,003 | 0,011 | 0,949 | - | - | - | - | - |
| R38_01 | 0,003 | 0,006 | 0,985 | 0,003 | 0,003 | - | - | - | - | - |
| R38_02 | 0,034 | 0,110 | 0,813 | 0,007 | 0,035 | - | - | - | - | - |
| R38_03 | 0,045 | 0,065 | 0,883 | 0,003 | 0,004 | - | - | - | - | - |
| R38_04 | 0,004 | 0,004 | 0,969 | 0,013 | 0,009 | - | - | - | - | - |
| R38_05 | 0,006 | 0,006 | 0,974 | 0,009 | 0,005 | - | - | - | - | - |
| R38_06 | 0,004 | 0,003 | 0,984 | 0,004 | 0,004 | - | - | - | - | - |
| R38_07 | 0,014 | 0,016 | 0,950 | 0,013 | 0,006 | - | - | - | - | - |
| R38_08 | 0,011 | 0,011 | 0,968 | 0,005 | 0,005 | - | - | - | - | - |
| R38_09 | 0,021 | 0,067 | 0,900 | 0,004 | 0,008 | - | - | - | - | - |
| R38_10 | 0,003 | 0,003 | 0,989 | 0,003 | 0,002 | - | - | - | - | - |
| R38_11 | 0,005 | 0,007 | 0,981 | 0,004 | 0,004 | - | - | - | - | - |



| Tree # | Vanc. Isl. | STRUCTURE (27.1.2022) | | | | | R12 | GeneClass2 (27.1.2022) | | | |
|--------|---------------|-----------------------|-----------------|----------------|--------------|-------------|-----|------------------------|-----------------|--------------|---|
| | | WA- coastal | BC- interior | BC- coastal | Monta- na | R05 +R32 | | BC- coastal | BC- interior | Monta- na | |
| R38_12 | 0,005 | 0,003 | 0,986 | 0,003 | 0,003 | - | - | - | - | - | - |
| R38_13 | 0,011 | 0,023 | 0,946 | 0,003 | 0,016 | - | - | - | - | - | - |
| R38_14 | 0,008 | 0,007 | 0,972 | 0,006 | 0,007 | - | - | - | - | - | - |
| R38_15 | 0,006 | 0,006 | 0,979 | 0,005 | 0,004 | - | - | - | - | - | - |
| R38_16 | 0,004 | 0,003 | 0,984 | 0,003 | 0,006 | - | - | - | - | - | - |
| R38_17 | 0,003 | 0,002 | 0,981 | 0,004 | 0,009 | - | - | - | - | - | - |
| R38_18 | 0,004 | 0,004 | 0,972 | 0,017 | 0,003 | - | - | - | - | - | - |
| R38_19 | 0,006 | 0,015 | 0,966 | 0,007 | 0,007 | - | - | - | - | - | - |
| R38_20 | 0,010 | 0,042 | 0,925 | 0,012 | 0,012 | - | - | - | - | - | - |
| R39_01 | 0,003 | 0,002 | 0,006 | 0,986 | 0,003 | - | - | - | - | - | - |
| R39_02 | 0,004 | 0,005 | 0,003 | 0,980 | 0,009 | - | - | - | - | - | - |
| R39_03 | 0,013 | 0,004 | 0,003 | 0,813 | 0,166 | - | - | - | - | - | - |
| R39_04 | 0,003 | 0,006 | 0,068 | 0,889 | 0,034 | - | - | - | - | - | - |
| R39_05 | 0,003 | 0,003 | 0,003 | 0,988 | 0,003 | - | - | - | - | - | - |
| R39_06 | 0,007 | 0,005 | 0,005 | 0,980 | 0,003 | - | - | - | - | - | - |
| R39_07 | 0,073 | 0,036 | 0,006 | 0,874 | 0,011 | - | - | - | - | - | - |
| R39_08 | 0,009 | 0,032 | 0,009 | 0,934 | 0,016 | - | - | - | - | - | - |
| R39_09 | 0,004 | 0,006 | 0,002 | 0,984 | 0,004 | - | - | - | - | - | - |
| R39_10 | 0,027 | 0,020 | 0,029 | 0,909 | 0,015 | - | - | - | - | - | - |
| R39_11 | 0,003 | 0,004 | 0,007 | 0,567 | 0,420 | - | - | - | - | - | - |
| R39_12 | 0,008 | 0,018 | 0,005 | 0,960 | 0,010 | - | - | - | - | - | - |
| R39_13 | 0,003 | 0,003 | 0,035 | 0,956 | 0,003 | - | - | - | - | - | - |
| R39_14 | 0,006 | 0,005 | 0,004 | 0,840 | 0,146 | - | - | - | - | - | - |
| R39_15 | 0,003 | 0,005 | 0,003 | 0,985 | 0,004 | - | - | - | - | - | - |
| R39_16 | 0,015 | 0,006 | 0,003 | 0,968 | 0,008 | - | - | - | - | - | - |
| R39_17 | 0,003 | 0,003 | 0,005 | 0,986 | 0,004 | - | - | - | - | - | - |
| R39_18 | 0,005 | 0,004 | 0,007 | 0,967 | 0,018 | - | - | - | - | - | - |
| R39_19 | 0,074 | 0,158 | 0,075 | 0,660 | 0,034 | - | - | - | - | - | - |
| R39_20 | 0,004 | 0,007 | 0,003 | 0,983 | 0,003 | - | - | - | - | - | - |



Table A3.5 – Individual STRUCTURE membership proportions and individual assignment scores computed with GeneClass2 for K = 6 (conditional formatting with green tones for coastal and blue tones for interior clusters) (BC = British Columbia, Canada, OR = Oregon, USA, WA = Washington, USA)

| Tree # | STRUCTURE (27.1.2022) | | | | | | | GeneClass2 (27.1.2022) | | | | | | |
|--------|-----------------------|------------|------------|------------|-------------|----------|------------|------------------------|------------|------------|-------------|----------|--|--|
| | OR-coastal | WA-coastal | Vanc. Isl. | BC-coastal | BC-interior | Monta-na | OR-coastal | WA-coastal | Vanc. Isl. | BC-coastal | BC-interior | Monta-na | | |
| CaiP01 | 0,059 | 0,129 | 0,784 | 0,009 | 0,009 | 0,011 | 0,0 | 91,8 | 8,2 | 0,0 | 0,0 | 0,0 | | |
| CaiP02 | 0,014 | 0,940 | 0,007 | 0,004 | 0,018 | 0,018 | 0,0 | 100,0 | 0,0 | 0,0 | 0,0 | 0,0 | | |
| CaiP03 | 0,023 | 0,032 | 0,933 | 0,004 | 0,003 | 0,006 | 100,0 | 0,0 | 0,0 | 0,0 | 0,0 | 0,0 | | |
| CaiP04 | 0,225 | 0,179 | 0,578 | 0,010 | 0,005 | 0,005 | 0,1 | 0,0 | 99,9 | 0,0 | 0,0 | 0,0 | | |
| CaiP05 | 0,053 | 0,065 | 0,852 | 0,004 | 0,018 | 0,009 | 99,2 | 0,0 | 0,8 | 0,0 | 0,0 | 0,0 | | |
| CaiP06 | 0,009 | 0,025 | 0,928 | 0,004 | 0,033 | 0,003 | 97,0 | 3,0 | 0,0 | 0,0 | 0,0 | 0,0 | | |
| CaiP07 | 0,024 | 0,005 | 0,963 | 0,003 | 0,002 | 0,003 | 0,0 | 0,0 | 100,0 | 0,0 | 0,0 | 0,0 | | |
| CaiP08 | 0,016 | 0,625 | 0,325 | 0,008 | 0,021 | 0,007 | 21,4 | 78,4 | 0,3 | 0,0 | 0,0 | 0,0 | | |
| CaiP09 | 0,690 | 0,171 | 0,117 | 0,006 | 0,006 | 0,011 | 10,0 | 0,0 | 90,0 | 0,0 | 0,0 | 0,0 | | |
| CaiP10 | 0,018 | 0,225 | 0,734 | 0,006 | 0,010 | 0,008 | 0,0 | 100,0 | 0,0 | 0,0 | 0,0 | 0,0 | | |
| CaiP11 | 0,238 | 0,014 | 0,739 | 0,004 | 0,002 | 0,004 | 0,0 | 0,0 | 100,0 | 0,0 | 0,0 | 0,0 | | |
| CaiP12 | 0,005 | 0,008 | 0,980 | 0,003 | 0,002 | 0,004 | 0,0 | 0,0 | 100,0 | 0,0 | 0,0 | 0,0 | | |
| CaiP13 | 0,973 | 0,006 | 0,011 | 0,004 | 0,002 | 0,005 | 100,0 | 0,0 | 0,0 | 0,0 | 0,0 | 0,0 | | |
| CaiP14 | 0,962 | 0,015 | 0,015 | 0,003 | 0,003 | 0,003 | 81,6 | 0,0 | 18,4 | 0,0 | 0,0 | 0,0 | | |
| CaiP15 | 0,044 | 0,037 | 0,893 | 0,009 | 0,009 | 0,010 | 99,1 | 0,0 | 0,9 | 0,0 | 0,0 | 0,0 | | |
| CaiP16 | 0,013 | 0,092 | 0,832 | 0,047 | 0,008 | 0,009 | 0,0 | 0,0 | 100,0 | 0,0 | 0,0 | 0,0 | | |
| CaiP17 | 0,033 | 0,011 | 0,828 | 0,013 | 0,019 | 0,096 | 0,0 | 0,0 | 100,0 | 0,0 | 0,0 | 0,0 | | |
| CaiP18 | 0,114 | 0,012 | 0,852 | 0,004 | 0,015 | 0,005 | 0,0 | 0,0 | 100,0 | 0,0 | 0,0 | 0,0 | | |
| CaiP19 | 0,887 | 0,033 | 0,041 | 0,005 | 0,005 | 0,030 | 0,5 | 0,0 | 99,5 | 0,0 | 0,0 | 0,0 | | |
| CaiP20 | 0,026 | 0,022 | 0,933 | 0,012 | 0,004 | 0,004 | 0,0 | 0,0 | 100,0 | 0,0 | 0,0 | 0,0 | | |
| GesP01 | 0,014 | 0,080 | 0,884 | 0,004 | 0,008 | 0,012 | 9,2 | 0,0 | 90,8 | 0,0 | 0,0 | 0,0 | | |
| GesP02 | 0,703 | 0,058 | 0,222 | 0,006 | 0,004 | 0,008 | 0,8 | 0,0 | 99,2 | 0,0 | 0,0 | 0,0 | | |
| GesP03 | 0,167 | 0,014 | 0,807 | 0,006 | 0,003 | 0,003 | 98,6 | 0,0 | 1,4 | 0,0 | 0,0 | 0,0 | | |
| GesP04 | 0,270 | 0,023 | 0,248 | 0,451 | 0,005 | 0,003 | 0,1 | 0,0 | 90,8 | 9,1 | 0,0 | 0,0 | | |
| GesP05 | 0,950 | 0,015 | 0,022 | 0,005 | 0,005 | 0,004 | 99,1 | 0,0 | 0,9 | 0,0 | 0,0 | 0,0 | | |
| GesP06 | 0,006 | 0,012 | 0,966 | 0,003 | 0,002 | 0,011 | 0,0 | 0,4 | 99,6 | 0,0 | 0,0 | 0,0 | | |
| GesP07 | 0,013 | 0,016 | 0,963 | 0,002 | 0,004 | 0,003 | 0,0 | 0,0 | 100,0 | 0,0 | 0,0 | 0,0 | | |
| GesP08 | 0,013 | 0,014 | 0,962 | 0,005 | 0,003 | 0,005 | 0,2 | 99,1 | 0,7 | 0,0 | 0,0 | 0,0 | | |
| GesP09 | 0,030 | 0,060 | 0,889 | 0,007 | 0,009 | 0,005 | 4,1 | 95,9 | 0,0 | 0,0 | 0,0 | 0,0 | | |
| GesP10 | 0,029 | 0,032 | 0,929 | 0,004 | 0,003 | 0,004 | 0,0 | 98,0 | 2,0 | 0,0 | 0,0 | 0,0 | | |
| GesP11 | 0,048 | 0,256 | 0,642 | 0,016 | 0,016 | 0,024 | 100,0 | 0,0 | 0,0 | 0,0 | 0,0 | 0,0 | | |
| GesP12 | 0,080 | 0,142 | 0,738 | 0,030 | 0,003 | 0,009 | 0,0 | 25,6 | 74,4 | 0,0 | 0,0 | 0,0 | | |
| GesP13 | 0,010 | 0,027 | 0,943 | 0,007 | 0,004 | 0,011 | 0,0 | 100,0 | 0,0 | 0,0 | 0,0 | 0,0 | | |
| GesP14 | 0,005 | 0,518 | 0,465 | 0,005 | 0,004 | 0,004 | 0,0 | 100,0 | 0,0 | 0,0 | 0,0 | 0,0 | | |
| GesP15 | 0,767 | 0,024 | 0,164 | 0,036 | 0,005 | 0,005 | 71,0 | 0,0 | 29,0 | 0,0 | 0,0 | 0,0 | | |
| GesP16 | 0,270 | 0,015 | 0,695 | 0,012 | 0,006 | 0,003 | 0,0 | 0,0 | 100,0 | 0,0 | 0,0 | 0,0 | | |
| GesP17 | 0,031 | 0,408 | 0,529 | 0,007 | 0,010 | 0,017 | 5,3 | 1,0 | 93,8 | 0,0 | 0,0 | 0,0 | | |
| GesP18 | 0,700 | 0,016 | 0,202 | 0,020 | 0,057 | 0,005 | 1,5 | 0,0 | 98,5 | 0,0 | 0,0 | 0,0 | | |
| GesP19 | 0,844 | 0,022 | 0,065 | 0,060 | 0,004 | 0,006 | 2,6 | 0,0 | 97,4 | 0,0 | 0,0 | 0,0 | | |



| Tree # | STRUCTURE (27.1.2022) | | | | | | GeneClass2 (27.1.2022) | | | | | |
|--------|-----------------------|------------|------------|------------|-------------|----------|------------------------|------------|------------|------------|-------------|----------|
| | OR-coastal | WA-coastal | Vanc. Isl. | BC-coastal | BC-interior | Monta-na | OR-coastal | WA-coastal | Vanc. Isl. | BC-coastal | BC-interior | Monta-na |
| GesP20 | 0,010 | 0,061 | 0,917 | 0,005 | 0,004 | 0,004 | 0,0 | 0,0 | 100,0 | 0,0 | 0,0 | 0,0 |
| GrmP01 | 0,004 | 0,004 | 0,005 | 0,004 | 0,004 | 0,980 | 0,0 | 0,0 | 0,0 | 0,6 | 58,6 | 40,9 |
| GrmP02 | 0,009 | 0,021 | 0,006 | 0,002 | 0,064 | 0,898 | 80,1 | 0,0 | 0,0 | 0,0 | 19,4 | 0,5 |
| GrmP03 | 0,018 | 0,006 | 0,006 | 0,003 | 0,048 | 0,920 | 31,5 | 67,6 | 0,0 | 0,0 | 0,9 | 0,0 |
| GrmP04 | 0,009 | 0,007 | 0,017 | 0,027 | 0,004 | 0,937 | 0,0 | 0,0 | 0,0 | 0,0 | 0,0 | 100,0 |
| GrmP05 | 0,008 | 0,012 | 0,006 | 0,004 | 0,033 | 0,939 | 0,0 | 1,3 | 0,0 | 0,0 | 98,7 | 0,0 |
| GrmP06 | 0,004 | 0,030 | 0,008 | 0,003 | 0,023 | 0,933 | 0,0 | 0,1 | 0,0 | 0,0 | 69,0 | 30,9 |
| GrmP07 | 0,006 | 0,156 | 0,008 | 0,003 | 0,004 | 0,824 | 0,0 | 92,4 | 7,6 | 0,0 | 0,0 | 0,0 |
| GrmP08 | 0,037 | 0,008 | 0,025 | 0,005 | 0,004 | 0,921 | 0,0 | 1,0 | 0,0 | 0,0 | 0,0 | 99,0 |
| GrmP09 | 0,005 | 0,008 | 0,004 | 0,010 | 0,027 | 0,947 | 2,6 | 0,0 | 0,0 | 0,0 | 91,9 | 5,6 |
| GrmP10 | 0,003 | 0,005 | 0,004 | 0,003 | 0,002 | 0,984 | 0,0 | 0,0 | 0,0 | 0,0 | 0,0 | 100,0 |
| GrmP11 | 0,009 | 0,037 | 0,011 | 0,006 | 0,017 | 0,922 | 91,3 | 0,0 | 0,0 | 0,0 | 0,0 | 8,7 |
| GrmP12 | 0,011 | 0,008 | 0,015 | 0,010 | 0,008 | 0,950 | 0,1 | 0,0 | 97,6 | 0,0 | 0,6 | 1,8 |
| GrmP13 | 0,010 | 0,005 | 0,024 | 0,002 | 0,003 | 0,957 | 0,0 | 0,0 | 0,0 | 0,0 | 1,0 | 99,0 |
| GrmP14 | 0,005 | 0,007 | 0,008 | 0,002 | 0,004 | 0,975 | 0,0 | 0,0 | 0,0 | 0,0 | 0,0 | 100,0 |
| GrmP15 | 0,317 | 0,272 | 0,016 | 0,076 | 0,132 | 0,189 | 13,2 | 78,4 | 0,0 | 1,3 | 7,1 | 0,0 |
| GrmP16 | 0,005 | 0,004 | 0,007 | 0,003 | 0,004 | 0,978 | 0,0 | 0,0 | 98,8 | 0,0 | 0,1 | 1,1 |
| GrmP17 | 0,009 | 0,007 | 0,012 | 0,004 | 0,029 | 0,940 | 32,9 | 0,0 | 0,0 | 0,0 | 0,1 | 67,0 |
| GrmP18 | 0,004 | 0,005 | 0,008 | 0,002 | 0,004 | 0,978 | 0,0 | 0,0 | 0,0 | 0,0 | 0,0 | 100,0 |
| GrmP19 | 0,127 | 0,028 | 0,034 | 0,006 | 0,006 | 0,801 | 0,2 | 0,0 | 5,0 | 0,0 | 0,0 | 94,8 |
| GrmP20 | 0,024 | 0,081 | 0,037 | 0,009 | 0,005 | 0,845 | 32,0 | 13,1 | 54,2 | 0,7 | 0,0 | 0,0 |
| KunP01 | 0,125 | 0,029 | 0,831 | 0,009 | 0,002 | 0,006 | 39,6 | 0,0 | 60,4 | 0,0 | 0,0 | 0,0 |
| KunP02 | 0,013 | 0,011 | 0,963 | 0,008 | 0,003 | 0,003 | 0,0 | 0,0 | 100,0 | 0,0 | 0,0 | 0,0 |
| KunP03 | 0,183 | 0,011 | 0,781 | 0,018 | 0,002 | 0,006 | 49,0 | 0,2 | 50,6 | 0,2 | 0,0 | 0,0 |
| KunP04 | 0,111 | 0,332 | 0,547 | 0,003 | 0,003 | 0,004 | 0,0 | 0,0 | 100,0 | 0,0 | 0,0 | 0,0 |
| KunP05 | 0,036 | 0,247 | 0,689 | 0,013 | 0,005 | 0,010 | 0,0 | 0,0 | 100,0 | 0,0 | 0,0 | 0,0 |
| KunP06 | 0,207 | 0,028 | 0,742 | 0,011 | 0,009 | 0,004 | 0,0 | 0,0 | 100,0 | 0,0 | 0,0 | 0,0 |
| KunP07 | 0,946 | 0,024 | 0,021 | 0,004 | 0,002 | 0,004 | 100,0 | 0,0 | 0,0 | 0,0 | 0,0 | 0,0 |
| KunP08 | 0,026 | 0,738 | 0,217 | 0,006 | 0,004 | 0,010 | 99,8 | 0,0 | 0,2 | 0,0 | 0,0 | 0,0 |
| KunP09 | 0,017 | 0,084 | 0,875 | 0,005 | 0,008 | 0,011 | 0,3 | 0,0 | 99,7 | 0,0 | 0,0 | 0,0 |
| KunP10 | 0,126 | 0,417 | 0,431 | 0,007 | 0,006 | 0,014 | 100,0 | 0,0 | 0,0 | 0,0 | 0,0 | 0,0 |
| KunP11 | 0,865 | 0,012 | 0,112 | 0,005 | 0,003 | 0,004 | 82,0 | 2,5 | 15,5 | 0,0 | 0,0 | 0,0 |
| KunP12 | 0,109 | 0,082 | 0,800 | 0,004 | 0,002 | 0,004 | 1,3 | 0,0 | 98,7 | 0,0 | 0,0 | 0,0 |
| KunP13 | 0,056 | 0,815 | 0,012 | 0,110 | 0,004 | 0,005 | 32,3 | 67,5 | 0,2 | 0,0 | 0,0 | 0,0 |
| KunP14 | 0,412 | 0,187 | 0,272 | 0,003 | 0,003 | 0,123 | 0,0 | 0,1 | 99,9 | 0,0 | 0,0 | 0,0 |
| KunP15 | 0,477 | 0,016 | 0,448 | 0,005 | 0,007 | 0,048 | 0,4 | 0,0 | 99,6 | 0,0 | 0,0 | 0,0 |
| KunP16 | 0,035 | 0,017 | 0,935 | 0,007 | 0,003 | 0,004 | 0,0 | 0,0 | 100,0 | 0,0 | 0,0 | 0,0 |
| KunP17 | 0,938 | 0,009 | 0,026 | 0,003 | 0,017 | 0,008 | 0,0 | 0,0 | 100,0 | 0,0 | 0,0 | 0,0 |
| KunP18 | 0,007 | 0,006 | 0,970 | 0,010 | 0,002 | 0,005 | 0,0 | 0,0 | 100,0 | 0,0 | 0,0 | 0,0 |
| KunP19 | 0,034 | 0,007 | 0,951 | 0,002 | 0,004 | 0,003 | 0,0 | 0,0 | 100,0 | 0,0 | 0,0 | 0,0 |
| KunP20 | 0,028 | 0,008 | 0,953 | 0,004 | 0,003 | 0,005 | 0,0 | 0,0 | 100,0 | 0,0 | 0,0 | 0,0 |
| RueP01 | 0,043 | 0,465 | 0,397 | 0,010 | 0,083 | 0,004 | 0,0 | 0,0 | 100,0 | 0,0 | 0,0 | 0,0 |



| Tree # | STRUCTURE (27.1.2022) | | | | | | GeneClass2 (27.1.2022) | | | | | |
|--------|-----------------------|------------|------------|------------|-------------|----------|------------------------|------------|------------|------------|-------------|----------|
| | OR-coastal | WA-coastal | Vanc. Isl. | BC-coastal | BC-interior | Monta-na | OR-coastal | WA-coastal | Vanc. Isl. | BC-coastal | BC-interior | Monta-na |
| RueP02 | 0,020 | 0,588 | 0,271 | 0,042 | 0,075 | 0,005 | 0,0 | 0,0 | 100,0 | 0,0 | 0,0 | 0,0 |
| RueP03 | 0,026 | 0,008 | 0,945 | 0,013 | 0,004 | 0,005 | 0,0 | 0,0 | 100,0 | 0,0 | 0,0 | 0,0 |
| RueP04 | 0,021 | 0,006 | 0,959 | 0,008 | 0,003 | 0,004 | 0,0 | 0,0 | 100,0 | 0,0 | 0,0 | 0,0 |
| RueP05 | 0,951 | 0,023 | 0,011 | 0,005 | 0,007 | 0,004 | 98,9 | 1,1 | 0,0 | 0,0 | 0,0 | 0,0 |
| RueP06 | 0,373 | 0,600 | 0,009 | 0,012 | 0,003 | 0,004 | 0,0 | 100,0 | 0,0 | 0,0 | 0,0 | 0,0 |
| RueP07 | 0,007 | 0,032 | 0,850 | 0,014 | 0,005 | 0,093 | 0,0 | 0,0 | 100,0 | 0,0 | 0,0 | 0,0 |
| RueP08 | 0,137 | 0,010 | 0,838 | 0,007 | 0,003 | 0,006 | 0,3 | 20,1 | 79,6 | 0,0 | 0,0 | 0,0 |
| RueP09 | 0,367 | 0,016 | 0,584 | 0,014 | 0,004 | 0,015 | 0,0 | 0,0 | 100,0 | 0,0 | 0,0 | 0,0 |
| RueP10 | 0,029 | 0,062 | 0,789 | 0,006 | 0,013 | 0,103 | 0,0 | 0,0 | 100,0 | 0,0 | 0,0 | 0,0 |
| RueP11 | 0,007 | 0,011 | 0,971 | 0,003 | 0,003 | 0,006 | 0,0 | 0,0 | 100,0 | 0,0 | 0,0 | 0,0 |
| RueP12 | 0,124 | 0,020 | 0,775 | 0,074 | 0,003 | 0,004 | 0,0 | 0,0 | 100,0 | 0,0 | 0,0 | 0,0 |
| RueP13 | 0,800 | 0,054 | 0,123 | 0,004 | 0,012 | 0,008 | 0,0 | 100,0 | 0,0 | 0,0 | 0,0 | 0,0 |
| RueP14 | 0,035 | 0,020 | 0,915 | 0,019 | 0,006 | 0,005 | 0,0 | 0,0 | 100,0 | 0,0 | 0,0 | 0,0 |
| RueP15 | 0,021 | 0,011 | 0,957 | 0,005 | 0,003 | 0,004 | 3,2 | 0,0 | 96,8 | 0,0 | 0,0 | 0,0 |
| RueP16 | 0,759 | 0,021 | 0,182 | 0,005 | 0,029 | 0,006 | 99,8 | 0,1 | 0,2 | 0,0 | 0,0 | 0,0 |
| RueP17 | 0,245 | 0,005 | 0,730 | 0,013 | 0,003 | 0,005 | 0,0 | 0,0 | 100,0 | 0,0 | 0,0 | 0,0 |
| RueP18 | 0,044 | 0,027 | 0,919 | 0,004 | 0,003 | 0,004 | 10,1 | 89,9 | 0,0 | 0,0 | 0,0 | 0,0 |
| RueP19 | 0,009 | 0,060 | 0,889 | 0,028 | 0,006 | 0,009 | 0,0 | 99,8 | 0,2 | 0,0 | 0,0 | 0,0 |
| RueP20 | 0,067 | 0,045 | 0,856 | 0,013 | 0,005 | 0,015 | 48,2 | 50,9 | 0,9 | 0,0 | 0,0 | 0,0 |
| ScaP01 | 0,445 | 0,474 | 0,038 | 0,021 | 0,005 | 0,017 | 100,0 | 0,0 | 0,0 | 0,0 | 0,0 | 0,0 |
| ScaP02 | 0,984 | 0,006 | 0,003 | 0,004 | 0,002 | 0,002 | 99,0 | 1,0 | 0,0 | 0,0 | 0,0 | 0,0 |
| ScaP03 | 0,194 | 0,019 | 0,719 | 0,010 | 0,015 | 0,045 | 0,0 | 98,9 | 1,1 | 0,0 | 0,0 | 0,0 |
| ScaP04 | 0,871 | 0,028 | 0,020 | 0,046 | 0,032 | 0,005 | 100,0 | 0,0 | 0,0 | 0,0 | 0,0 | 0,0 |
| ScaP05 | 0,973 | 0,004 | 0,016 | 0,003 | 0,002 | 0,003 | 90,3 | 0,0 | 9,7 | 0,0 | 0,0 | 0,0 |
| ScaP06 | 0,983 | 0,005 | 0,004 | 0,003 | 0,003 | 0,003 | 100,0 | 0,0 | 0,0 | 0,0 | 0,0 | 0,0 |
| ScaP07 | 0,920 | 0,040 | 0,007 | 0,027 | 0,003 | 0,004 | 100,0 | 0,0 | 0,0 | 0,0 | 0,0 | 0,0 |
| ScaP08 | 0,544 | 0,028 | 0,377 | 0,018 | 0,008 | 0,027 | 0,0 | 0,0 | 100,0 | 0,0 | 0,0 | 0,0 |
| ScaP09 | 0,929 | 0,047 | 0,014 | 0,003 | 0,004 | 0,004 | 0,0 | 100,0 | 0,0 | 0,0 | 0,0 | 0,0 |
| ScaP10 | 0,973 | 0,006 | 0,009 | 0,007 | 0,002 | 0,004 | 80,3 | 0,0 | 0,0 | 19,7 | 0,0 | 0,0 |
| ScaP11 | 0,009 | 0,036 | 0,946 | 0,005 | 0,002 | 0,003 | 0,0 | 99,6 | 0,4 | 0,0 | 0,0 | 0,0 |
| ScaP12 | 0,973 | 0,008 | 0,007 | 0,006 | 0,004 | 0,003 | 100,0 | 0,0 | 0,0 | 0,0 | 0,0 | 0,0 |
| ScaP13 | 0,963 | 0,014 | 0,011 | 0,005 | 0,004 | 0,005 | 99,6 | 0,4 | 0,0 | 0,0 | 0,0 | 0,0 |
| ScaP14 | 0,942 | 0,033 | 0,005 | 0,003 | 0,006 | 0,012 | 100,0 | 0,0 | 0,0 | 0,0 | 0,0 | 0,0 |
| ScaP15 | 0,014 | 0,734 | 0,191 | 0,005 | 0,050 | 0,007 | 0,0 | 97,5 | 2,5 | 0,0 | 0,0 | 0,0 |
| ScaP16 | 0,263 | 0,062 | 0,036 | 0,022 | 0,007 | 0,611 | 0,0 | 0,0 | 0,0 | 0,0 | 0,0 | 100,0 |
| ScaP17 | 0,963 | 0,009 | 0,012 | 0,010 | 0,002 | 0,005 | 100,0 | 0,0 | 0,0 | 0,0 | 0,0 | 0,0 |
| ScaP18 | 0,033 | 0,007 | 0,920 | 0,003 | 0,033 | 0,006 | 0,0 | 0,0 | 100,0 | 0,0 | 0,0 | 0,0 |
| ScaP19 | 0,978 | 0,008 | 0,006 | 0,003 | 0,004 | 0,002 | 27,7 | 0,0 | 72,3 | 0,0 | 0,0 | 0,0 |
| ScaP20 | 0,970 | 0,008 | 0,007 | 0,006 | 0,003 | 0,007 | 99,8 | 0,2 | 0,0 | 0,0 | 0,0 | 0,0 |
| SomP01 | 0,858 | 0,019 | 0,112 | 0,004 | 0,003 | 0,005 | 0,0 | 0,1 | 99,9 | 0,0 | 0,0 | 0,0 |
| SomP02 | 0,765 | 0,008 | 0,189 | 0,009 | 0,005 | 0,025 | 5,8 | 0,0 | 94,2 | 0,0 | 0,0 | 0,0 |
| SomP03 | 0,235 | 0,026 | 0,689 | 0,043 | 0,004 | 0,004 | 0,0 | 57,3 | 42,6 | 0,0 | 0,0 | 0,0 |



| Tree # | STRUCTURE (27.1.2022) | | | | | | GeneClass2 (27.1.2022) | | | | | |
|--------|-----------------------|------------|------------|------------|-------------|----------|------------------------|------------|------------|------------|-------------|----------|
| | OR-coastal | WA-coastal | Vanc. Isl. | BC-coastal | BC-interior | Monta-na | OR-coastal | WA-coastal | Vanc. Isl. | BC-coastal | BC-interior | Monta-na |
| SomP04 | 0,082 | 0,013 | 0,884 | 0,013 | 0,005 | 0,003 | 99,8 | 0,0 | 0,2 | 0,0 | 0,0 | 0,0 |
| SomP05 | 0,011 | 0,024 | 0,953 | 0,003 | 0,007 | 0,004 | 0,0 | 96,6 | 3,4 | 0,0 | 0,0 | 0,0 |
| SomP06 | 0,013 | 0,010 | 0,968 | 0,004 | 0,003 | 0,003 | 0,0 | 0,0 | 100,0 | 0,0 | 0,0 | 0,0 |
| SomP07 | 0,364 | 0,521 | 0,102 | 0,007 | 0,004 | 0,003 | 0,0 | 100,0 | 0,0 | 0,0 | 0,0 | 0,0 |
| SomP08 | 0,927 | 0,009 | 0,054 | 0,004 | 0,002 | 0,005 | 0,0 | 0,0 | 100,0 | 0,0 | 0,0 | 0,0 |
| SomP09 | 0,281 | 0,018 | 0,438 | 0,010 | 0,003 | 0,251 | 11,2 | 0,0 | 88,8 | 0,0 | 0,0 | 0,0 |
| SomP10 | 0,017 | 0,007 | 0,958 | 0,008 | 0,007 | 0,004 | 0,0 | 0,0 | 100,0 | 0,0 | 0,0 | 0,0 |
| SomP11 | 0,817 | 0,018 | 0,155 | 0,003 | 0,004 | 0,003 | 0,0 | 0,0 | 100,0 | 0,0 | 0,0 | 0,0 |
| SomP12 | 0,849 | 0,007 | 0,068 | 0,068 | 0,006 | 0,004 | 47,8 | 0,0 | 52,2 | 0,0 | 0,0 | 0,0 |
| SomP13 | 0,929 | 0,009 | 0,052 | 0,003 | 0,003 | 0,005 | 100,0 | 0,0 | 0,0 | 0,0 | 0,0 | 0,0 |
| SomP14 | 0,047 | 0,044 | 0,881 | 0,022 | 0,003 | 0,005 | 8,8 | 0,0 | 91,2 | 0,0 | 0,0 | 0,0 |
| SomP15 | 0,032 | 0,092 | 0,829 | 0,004 | 0,003 | 0,042 | 99,7 | 0,0 | 0,3 | 0,0 | 0,0 | 0,0 |
| SomP16 | 0,592 | 0,020 | 0,343 | 0,040 | 0,002 | 0,004 | 0,0 | 0,0 | 100,0 | 0,0 | 0,0 | 0,0 |
| SomP17 | 0,388 | 0,045 | 0,525 | 0,006 | 0,003 | 0,034 | 6,2 | 0,0 | 93,8 | 0,0 | 0,0 | 0,0 |
| SomP18 | 0,838 | 0,006 | 0,141 | 0,006 | 0,006 | 0,004 | 0,0 | 0,0 | 100,0 | 0,0 | 0,0 | 0,0 |
| SomP19 | 0,605 | 0,011 | 0,366 | 0,004 | 0,004 | 0,011 | 6,3 | 0,0 | 93,7 | 0,0 | 0,0 | 0,0 |
| SomP20 | 0,939 | 0,005 | 0,042 | 0,011 | 0,002 | 0,003 | 0,8 | 0,0 | 99,2 | 0,0 | 0,0 | 0,0 |
| SomP21 | 0,919 | 0,011 | 0,043 | 0,019 | 0,004 | 0,005 | 100,0 | 0,0 | 0,0 | 0,0 | 0,0 | 0,0 |
| UetP01 | 0,028 | 0,745 | 0,178 | 0,038 | 0,006 | 0,006 | 100,0 | 0,0 | 0,0 | 0,0 | 0,0 | 0,0 |
| UetP02 | 0,365 | 0,157 | 0,242 | 0,102 | 0,003 | 0,133 | 99,5 | 0,0 | 0,5 | 0,0 | 0,0 | 0,0 |
| UetP03 | 0,157 | 0,006 | 0,814 | 0,010 | 0,009 | 0,005 | 0,0 | 0,0 | 100,0 | 0,0 | 0,0 | 0,0 |
| UetP04 | 0,675 | 0,110 | 0,176 | 0,021 | 0,010 | 0,008 | 100,0 | 0,0 | 0,0 | 0,0 | 0,0 | 0,0 |
| UetP05 | 0,016 | 0,007 | 0,970 | 0,003 | 0,002 | 0,003 | 0,0 | 0,5 | 99,5 | 0,0 | 0,0 | 0,0 |
| UetP06 | 0,076 | 0,010 | 0,902 | 0,006 | 0,003 | 0,005 | 0,0 | 0,0 | 100,0 | 0,0 | 0,0 | 0,0 |
| UetP07 | 0,453 | 0,219 | 0,311 | 0,010 | 0,003 | 0,005 | 0,0 | 1,4 | 98,5 | 0,0 | 0,0 | 0,0 |
| UetP08 | 0,071 | 0,190 | 0,660 | 0,005 | 0,005 | 0,069 | 100,0 | 0,0 | 0,0 | 0,0 | 0,0 | 0,0 |
| UetP09 | 0,869 | 0,039 | 0,072 | 0,005 | 0,006 | 0,010 | 0,0 | 0,0 | 100,0 | 0,0 | 0,0 | 0,0 |
| UetP10 | 0,090 | 0,031 | 0,862 | 0,006 | 0,002 | 0,009 | 4,2 | 0,0 | 95,8 | 0,0 | 0,0 | 0,0 |
| UetP11 | 0,920 | 0,011 | 0,051 | 0,009 | 0,006 | 0,005 | 0,0 | 0,0 | 100,0 | 0,0 | 0,0 | 0,0 |
| UetP12 | 0,023 | 0,008 | 0,959 | 0,004 | 0,003 | 0,004 | 0,0 | 0,0 | 100,0 | 0,0 | 0,0 | 0,0 |
| UetP13 | 0,293 | 0,012 | 0,685 | 0,005 | 0,003 | 0,003 | 9,4 | 0,5 | 90,1 | 0,0 | 0,0 | 0,0 |
| UetP14 | 0,093 | 0,008 | 0,879 | 0,007 | 0,002 | 0,012 | 0,0 | 0,0 | 100,0 | 0,0 | 0,0 | 0,0 |
| UetP15 | 0,399 | 0,249 | 0,340 | 0,005 | 0,002 | 0,004 | 4,7 | 0,0 | 95,3 | 0,0 | 0,0 | 0,0 |
| UetP16 | 0,017 | 0,909 | 0,036 | 0,025 | 0,006 | 0,008 | 6,3 | 93,6 | 0,1 | 0,0 | 0,0 | 0,0 |
| UetP17 | 0,126 | 0,044 | 0,785 | 0,033 | 0,005 | 0,009 | 0,0 | 0,0 | 100,0 | 0,0 | 0,0 | 0,0 |
| UetP18 | 0,953 | 0,005 | 0,014 | 0,023 | 0,003 | 0,003 | 0,7 | 0,5 | 98,8 | 0,0 | 0,0 | 0,0 |
| UetP19 | 0,054 | 0,522 | 0,398 | 0,014 | 0,003 | 0,010 | 0,0 | 100,0 | 0,0 | 0,0 | 0,0 | 0,0 |
| UetP20 | 0,052 | 0,035 | 0,897 | 0,004 | 0,004 | 0,009 | 1,4 | 14,0 | 84,6 | 0,0 | 0,0 | 0,0 |
| R05_01 | 0,413 | 0,487 | 0,031 | 0,025 | 0,031 | 0,014 | - | - | - | - | - | - |
| R05_02 | 0,035 | 0,930 | 0,013 | 0,008 | 0,011 | 0,004 | - | - | - | - | - | - |
| R05_03 | 0,010 | 0,971 | 0,009 | 0,003 | 0,004 | 0,005 | - | - | - | - | - | - |
| R05_04 | 0,043 | 0,591 | 0,069 | 0,036 | 0,020 | 0,242 | - | - | - | - | - | - |



| Tree # | STRUCTURE (27.1.2022) | | | | | | GeneClass2 (27.1.2022) | | | | | |
|--------|-----------------------|------------|------------|------------|-------------|----------|------------------------|------------|------------|------------|-------------|----------|
| | OR-coastal | WA-coastal | Vanc. Isl. | BC-coastal | BC-interior | Monta-na | OR-coastal | WA-coastal | Vanc. Isl. | BC-coastal | BC-interior | Monta-na |
| R05_05 | 0,653 | 0,116 | 0,027 | 0,019 | 0,011 | 0,174 | - | - | - | - | - | - |
| R05_06 | 0,886 | 0,046 | 0,034 | 0,024 | 0,003 | 0,007 | - | - | - | - | - | - |
| R05_07 | 0,020 | 0,757 | 0,004 | 0,208 | 0,004 | 0,008 | - | - | - | - | - | - |
| R05_08 | 0,051 | 0,785 | 0,060 | 0,042 | 0,041 | 0,022 | - | - | - | - | - | - |
| R05_09 | 0,680 | 0,246 | 0,060 | 0,006 | 0,003 | 0,006 | - | - | - | - | - | - |
| R05_10 | 0,253 | 0,263 | 0,110 | 0,348 | 0,011 | 0,016 | - | - | - | - | - | - |
| R05_11 | 0,383 | 0,133 | 0,414 | 0,051 | 0,005 | 0,016 | - | - | - | - | - | - |
| R05_12 | 0,515 | 0,379 | 0,084 | 0,006 | 0,004 | 0,012 | - | - | - | - | - | - |
| R05_13 | 0,029 | 0,351 | 0,314 | 0,003 | 0,234 | 0,069 | - | - | - | - | - | - |
| R05_14 | 0,523 | 0,376 | 0,047 | 0,008 | 0,009 | 0,038 | - | - | - | - | - | - |
| R05_15 | 0,010 | 0,797 | 0,179 | 0,004 | 0,007 | 0,003 | - | - | - | - | - | - |
| R05_16 | 0,007 | 0,971 | 0,006 | 0,008 | 0,005 | 0,004 | - | - | - | - | - | - |
| R05_17 | 0,381 | 0,460 | 0,122 | 0,006 | 0,005 | 0,026 | - | - | - | - | - | - |
| R05_18 | 0,077 | 0,688 | 0,053 | 0,012 | 0,165 | 0,006 | - | - | - | - | - | - |
| R05_19 | 0,858 | 0,084 | 0,031 | 0,010 | 0,006 | 0,012 | - | - | - | - | - | - |
| R05_20 | 0,667 | 0,182 | 0,100 | 0,032 | 0,013 | 0,005 | - | - | - | - | - | - |
| R12_01 | 0,023 | 0,952 | 0,010 | 0,008 | 0,004 | 0,006 | - | - | - | - | - | - |
| R12_02 | 0,009 | 0,961 | 0,010 | 0,013 | 0,004 | 0,005 | - | - | - | - | - | - |
| R12_03 | 0,040 | 0,823 | 0,072 | 0,031 | 0,006 | 0,030 | - | - | - | - | - | - |
| R12_04 | 0,005 | 0,982 | 0,004 | 0,003 | 0,003 | 0,003 | - | - | - | - | - | - |
| R12_05 | 0,008 | 0,959 | 0,013 | 0,011 | 0,005 | 0,005 | - | - | - | - | - | - |
| R12_06 | 0,020 | 0,742 | 0,132 | 0,076 | 0,021 | 0,009 | - | - | - | - | - | - |
| R12_07 | 0,006 | 0,017 | 0,963 | 0,007 | 0,003 | 0,005 | - | - | - | - | - | - |
| R12_08 | 0,008 | 0,017 | 0,827 | 0,120 | 0,005 | 0,024 | - | - | - | - | - | - |
| R12_09 | 0,006 | 0,948 | 0,013 | 0,003 | 0,023 | 0,008 | - | - | - | - | - | - |
| R12_10 | 0,041 | 0,819 | 0,013 | 0,088 | 0,034 | 0,007 | - | - | - | - | - | - |
| R12_11 | 0,009 | 0,956 | 0,013 | 0,010 | 0,010 | 0,003 | - | - | - | - | - | - |
| R12_12 | 0,092 | 0,618 | 0,107 | 0,175 | 0,004 | 0,005 | - | - | - | - | - | - |
| R12_13 | 0,070 | 0,784 | 0,013 | 0,017 | 0,006 | 0,111 | - | - | - | - | - | - |
| R12_14 | 0,003 | 0,980 | 0,004 | 0,008 | 0,004 | 0,002 | - | - | - | - | - | - |
| R12_15 | 0,008 | 0,973 | 0,009 | 0,003 | 0,005 | 0,003 | - | - | - | - | - | - |
| R12_16 | 0,004 | 0,887 | 0,009 | 0,026 | 0,072 | 0,004 | - | - | - | - | - | - |
| R12_17 | 0,012 | 0,963 | 0,010 | 0,010 | 0,003 | 0,003 | - | - | - | - | - | - |
| R12_18 | 0,030 | 0,940 | 0,016 | 0,003 | 0,008 | 0,004 | - | - | - | - | - | - |
| R12_19 | 0,013 | 0,956 | 0,017 | 0,005 | 0,005 | 0,005 | - | - | - | - | - | - |
| R12_20 | 0,020 | 0,326 | 0,480 | 0,011 | 0,151 | 0,013 | - | - | - | - | - | - |
| R32_01 | 0,127 | 0,226 | 0,350 | 0,288 | 0,007 | 0,004 | - | - | - | - | - | - |
| R32_02 | 0,004 | 0,215 | 0,756 | 0,005 | 0,012 | 0,009 | - | - | - | - | - | - |
| R32_03 | 0,019 | 0,005 | 0,921 | 0,043 | 0,002 | 0,011 | - | - | - | - | - | - |
| R32_04 | 0,014 | 0,137 | 0,790 | 0,053 | 0,003 | 0,004 | - | - | - | - | - | - |
| R32_05 | 0,050 | 0,020 | 0,916 | 0,008 | 0,002 | 0,004 | - | - | - | - | - | - |
| R32_06 | 0,352 | 0,116 | 0,477 | 0,018 | 0,035 | 0,004 | - | - | - | - | - | - |



| Tree # | STRUCTURE (27.1.2022) | | | | | | GeneClass2 (27.1.2022) | | | | | |
|--------|-----------------------|------------|------------|------------|-------------|----------|------------------------|------------|------------|------------|-------------|----------|
| | OR-coastal | WA-coastal | Vanc. Isl. | BC-coastal | BC-interior | Monta-na | OR-coastal | WA-coastal | Vanc. Isl. | BC-coastal | BC-interior | Monta-na |
| R32_07 | 0,090 | 0,658 | 0,223 | 0,018 | 0,008 | 0,004 | - | - | - | - | - | - |
| R32_08 | 0,493 | 0,089 | 0,394 | 0,005 | 0,003 | 0,016 | - | - | - | - | - | - |
| R32_09 | 0,141 | 0,014 | 0,812 | 0,012 | 0,006 | 0,016 | - | - | - | - | - | - |
| R32_10 | 0,057 | 0,094 | 0,821 | 0,015 | 0,011 | 0,004 | - | - | - | - | - | - |
| R32_11 | 0,004 | 0,009 | 0,890 | 0,091 | 0,004 | 0,003 | - | - | - | - | - | - |
| R32_12 | 0,398 | 0,018 | 0,535 | 0,033 | 0,012 | 0,005 | - | - | - | - | - | - |
| R32_13 | 0,015 | 0,238 | 0,672 | 0,015 | 0,035 | 0,026 | - | - | - | - | - | - |
| R32_14 | 0,609 | 0,019 | 0,365 | 0,003 | 0,002 | 0,003 | - | - | - | - | - | - |
| R32_15 | 0,009 | 0,006 | 0,932 | 0,048 | 0,002 | 0,004 | - | - | - | - | - | - |
| R32_17 | 0,130 | 0,027 | 0,796 | 0,027 | 0,003 | 0,018 | - | - | - | - | - | - |
| R32_18 | 0,198 | 0,045 | 0,698 | 0,053 | 0,004 | 0,003 | - | - | - | - | - | - |
| R32_19 | 0,009 | 0,097 | 0,758 | 0,126 | 0,007 | 0,004 | - | - | - | - | - | - |
| R32_20 | 0,959 | 0,012 | 0,017 | 0,007 | 0,003 | 0,003 | - | - | - | - | - | - |
| R33_02 | 0,012 | 0,072 | 0,013 | 0,014 | 0,010 | 0,880 | - | - | - | - | - | - |
| R33_03 | 0,002 | 0,003 | 0,004 | 0,003 | 0,003 | 0,985 | - | - | - | - | - | - |
| R33_04 | 0,007 | 0,006 | 0,006 | 0,006 | 0,043 | 0,934 | - | - | - | - | - | - |
| R33_05 | 0,003 | 0,009 | 0,003 | 0,004 | 0,023 | 0,959 | - | - | - | - | - | - |
| R33_06 | 0,008 | 0,007 | 0,008 | 0,004 | 0,437 | 0,537 | - | - | - | - | - | - |
| R33_07 | 0,014 | 0,017 | 0,035 | 0,021 | 0,005 | 0,910 | - | - | - | - | - | - |
| R33_08 | 0,015 | 0,020 | 0,007 | 0,012 | 0,009 | 0,938 | - | - | - | - | - | - |
| R33_09 | 0,006 | 0,004 | 0,003 | 0,003 | 0,004 | 0,980 | - | - | - | - | - | - |
| R33_10 | 0,008 | 0,024 | 0,020 | 0,005 | 0,004 | 0,940 | - | - | - | - | - | - |
| R33_11 | 0,004 | 0,004 | 0,008 | 0,003 | 0,012 | 0,970 | - | - | - | - | - | - |
| R33_12 | 0,003 | 0,006 | 0,003 | 0,003 | 0,003 | 0,982 | - | - | - | - | - | - |
| R33_13 | 0,003 | 0,025 | 0,008 | 0,005 | 0,039 | 0,921 | - | - | - | - | - | - |
| R33_14 | 0,010 | 0,003 | 0,006 | 0,004 | 0,035 | 0,944 | - | - | - | - | - | - |
| R33_15 | 0,015 | 0,005 | 0,004 | 0,003 | 0,054 | 0,920 | - | - | - | - | - | - |
| R33_16 | 0,003 | 0,006 | 0,004 | 0,019 | 0,083 | 0,887 | - | - | - | - | - | - |
| R33_17 | 0,003 | 0,005 | 0,004 | 0,003 | 0,007 | 0,979 | - | - | - | - | - | - |
| R33_19 | 0,007 | 0,013 | 0,004 | 0,003 | 0,006 | 0,969 | - | - | - | - | - | - |
| R33_20 | 0,026 | 0,014 | 0,008 | 0,003 | 0,010 | 0,941 | - | - | - | - | - | - |
| R38_01 | 0,004 | 0,007 | 0,003 | 0,981 | 0,003 | 0,003 | - | - | - | - | - | - |
| R38_02 | 0,147 | 0,018 | 0,035 | 0,765 | 0,009 | 0,028 | - | - | - | - | - | - |
| R38_03 | 0,078 | 0,016 | 0,042 | 0,860 | 0,003 | 0,003 | - | - | - | - | - | - |
| R38_04 | 0,005 | 0,004 | 0,004 | 0,964 | 0,014 | 0,010 | - | - | - | - | - | - |
| R38_05 | 0,005 | 0,009 | 0,006 | 0,968 | 0,009 | 0,005 | - | - | - | - | - | - |
| R38_06 | 0,004 | 0,004 | 0,004 | 0,982 | 0,003 | 0,004 | - | - | - | - | - | - |
| R38_07 | 0,016 | 0,011 | 0,016 | 0,940 | 0,013 | 0,006 | - | - | - | - | - | - |
| R38_08 | 0,011 | 0,013 | 0,007 | 0,961 | 0,004 | 0,005 | - | - | - | - | - | - |
| R38_09 | 0,010 | 0,194 | 0,021 | 0,766 | 0,003 | 0,007 | - | - | - | - | - | - |
| R38_10 | 0,003 | 0,004 | 0,003 | 0,986 | 0,003 | 0,002 | - | - | - | - | - | - |
| R38_11 | 0,004 | 0,007 | 0,005 | 0,977 | 0,004 | 0,004 | - | - | - | - | - | - |



| Tree # | STRUCTURE (27.1.2022) | | | | | | GeneClass2 (27.1.2022) | | | | | |
|--------|-----------------------|------------|------------|------------|-------------|----------|------------------------|------------|------------|------------|-------------|----------|
| | OR-coastal | WA-coastal | Vanc. Isl. | BC-coastal | BC-interior | Monta-na | OR-coastal | WA-coastal | Vanc. Isl. | BC-coastal | BC-interior | Monta-na |
| R38_12 | 0,004 | 0,003 | 0,005 | 0,983 | 0,003 | 0,003 | - | - | - | - | - | - |
| R38_13 | 0,019 | 0,012 | 0,015 | 0,935 | 0,003 | 0,018 | - | - | - | - | - | - |
| R38_14 | 0,006 | 0,008 | 0,009 | 0,963 | 0,007 | 0,009 | - | - | - | - | - | - |
| R38_15 | 0,005 | 0,007 | 0,007 | 0,972 | 0,006 | 0,004 | - | - | - | - | - | - |
| R38_16 | 0,003 | 0,004 | 0,004 | 0,980 | 0,003 | 0,007 | - | - | - | - | - | - |
| R38_17 | 0,002 | 0,002 | 0,003 | 0,980 | 0,004 | 0,010 | - | - | - | - | - | - |
| R38_18 | 0,003 | 0,006 | 0,005 | 0,969 | 0,015 | 0,003 | - | - | - | - | - | - |
| R38_19 | 0,007 | 0,030 | 0,006 | 0,943 | 0,007 | 0,007 | - | - | - | - | - | - |
| R38_20 | 0,018 | 0,071 | 0,009 | 0,885 | 0,008 | 0,011 | - | - | - | - | - | - |
| R39_01 | 0,003 | 0,003 | 0,002 | 0,006 | 0,983 | 0,003 | - | - | - | - | - | - |
| R39_02 | 0,004 | 0,005 | 0,004 | 0,003 | 0,977 | 0,008 | - | - | - | - | - | - |
| R39_03 | 0,006 | 0,005 | 0,013 | 0,003 | 0,820 | 0,154 | - | - | - | - | - | - |
| R39_04 | 0,003 | 0,011 | 0,003 | 0,079 | 0,874 | 0,031 | - | - | - | - | - | - |
| R39_05 | 0,003 | 0,004 | 0,003 | 0,004 | 0,983 | 0,003 | - | - | - | - | - | - |
| R39_06 | 0,006 | 0,010 | 0,008 | 0,005 | 0,968 | 0,004 | - | - | - | - | - | - |
| R39_07 | 0,018 | 0,032 | 0,113 | 0,005 | 0,823 | 0,011 | - | - | - | - | - | - |
| R39_08 | 0,019 | 0,049 | 0,013 | 0,007 | 0,896 | 0,017 | - | - | - | - | - | - |
| R39_09 | 0,006 | 0,007 | 0,004 | 0,002 | 0,978 | 0,004 | - | - | - | - | - | - |
| R39_10 | 0,016 | 0,072 | 0,061 | 0,035 | 0,800 | 0,018 | - | - | - | - | - | - |
| R39_11 | 0,003 | 0,005 | 0,003 | 0,007 | 0,579 | 0,403 | - | - | - | - | - | - |
| R39_12 | 0,012 | 0,013 | 0,006 | 0,005 | 0,954 | 0,011 | - | - | - | - | - | - |
| R39_13 | 0,002 | 0,004 | 0,003 | 0,043 | 0,947 | 0,003 | - | - | - | - | - | - |
| R39_14 | 0,007 | 0,010 | 0,005 | 0,004 | 0,815 | 0,160 | - | - | - | - | - | - |
| R39_15 | 0,005 | 0,005 | 0,003 | 0,003 | 0,980 | 0,004 | - | - | - | - | - | - |
| R39_16 | 0,005 | 0,010 | 0,019 | 0,003 | 0,956 | 0,008 | - | - | - | - | - | - |
| R39_17 | 0,003 | 0,004 | 0,003 | 0,005 | 0,982 | 0,004 | - | - | - | - | - | - |
| R39_18 | 0,006 | 0,006 | 0,004 | 0,008 | 0,962 | 0,016 | - | - | - | - | - | - |
| R39_19 | 0,016 | 0,536 | 0,040 | 0,031 | 0,354 | 0,024 | - | - | - | - | - | - |
| R39_20 | 0,004 | 0,021 | 0,004 | 0,003 | 0,966 | 0,003 | - | - | - | - | - | - |



Table A3.6 – Individual STRUCTURE membership proportions K = 6 (conditional formatting with green tones for coastal and blue tones for interior clusters) (BC = British Columbia, Canada, OR = Oregon, USA, WA = Washington, USA)

| Tree # | STRUCTURE (27.1.2022) | | | | | | |
|--------|-----------------------|------------|--------------|--------------|------------|-------------|---------|
| | Coastal-S? | Coastal-WA | Coast. Other | Coast. Other | BC-coastal | BC-interior | Montana |
| CaiP01 | 0,014 | 0,082 | 0,167 | 0,703 | 0,011 | 0,011 | 0,012 |
| CaiP02 | 0,015 | 0,922 | 0,007 | 0,010 | 0,004 | 0,021 | 0,021 |
| CaiP03 | 0,010 | 0,011 | 0,859 | 0,108 | 0,004 | 0,003 | 0,006 |
| CaiP04 | 0,377 | 0,111 | 0,340 | 0,150 | 0,010 | 0,007 | 0,006 |
| CaiP05 | 0,032 | 0,060 | 0,555 | 0,324 | 0,005 | 0,017 | 0,008 |
| CaiP06 | 0,009 | 0,011 | 0,922 | 0,019 | 0,003 | 0,033 | 0,004 |
| CaiP07 | 0,012 | 0,004 | 0,927 | 0,049 | 0,003 | 0,002 | 0,003 |
| CaiP08 | 0,006 | 0,201 | 0,686 | 0,050 | 0,009 | 0,040 | 0,007 |
| CaiP09 | 0,182 | 0,219 | 0,221 | 0,356 | 0,005 | 0,005 | 0,012 |
| CaiP10 | 0,010 | 0,239 | 0,125 | 0,607 | 0,005 | 0,008 | 0,007 |
| CaiP11 | 0,014 | 0,007 | 0,129 | 0,841 | 0,004 | 0,002 | 0,004 |
| CaiP12 | 0,004 | 0,007 | 0,873 | 0,107 | 0,004 | 0,002 | 0,004 |
| CaiP13 | 0,010 | 0,005 | 0,004 | 0,972 | 0,004 | 0,002 | 0,004 |
| CaiP14 | 0,020 | 0,011 | 0,015 | 0,947 | 0,002 | 0,003 | 0,003 |
| CaiP15 | 0,013 | 0,008 | 0,913 | 0,046 | 0,007 | 0,007 | 0,008 |
| CaiP16 | 0,029 | 0,051 | 0,782 | 0,075 | 0,049 | 0,008 | 0,007 |
| CaiP17 | 0,010 | 0,008 | 0,083 | 0,795 | 0,013 | 0,013 | 0,080 |
| CaiP18 | 0,023 | 0,013 | 0,070 | 0,873 | 0,004 | 0,012 | 0,005 |
| CaiP19 | 0,020 | 0,016 | 0,010 | 0,923 | 0,004 | 0,004 | 0,024 |
| CaiP20 | 0,032 | 0,036 | 0,801 | 0,109 | 0,013 | 0,005 | 0,004 |
| GesP01 | 0,030 | 0,114 | 0,448 | 0,379 | 0,005 | 0,008 | 0,018 |
| GesP02 | 0,045 | 0,019 | 0,024 | 0,900 | 0,005 | 0,004 | 0,004 |
| GesP03 | 0,162 | 0,010 | 0,768 | 0,047 | 0,007 | 0,003 | 0,003 |
| GesP04 | 0,022 | 0,017 | 0,056 | 0,525 | 0,373 | 0,005 | 0,003 |
| GesP05 | 0,246 | 0,016 | 0,102 | 0,620 | 0,005 | 0,007 | 0,004 |
| GesP06 | 0,005 | 0,013 | 0,728 | 0,235 | 0,003 | 0,002 | 0,015 |
| GesP07 | 0,011 | 0,015 | 0,839 | 0,124 | 0,003 | 0,005 | 0,003 |
| GesP08 | 0,007 | 0,015 | 0,888 | 0,078 | 0,005 | 0,003 | 0,006 |
| GesP09 | 0,013 | 0,013 | 0,932 | 0,019 | 0,006 | 0,012 | 0,005 |
| GesP10 | 0,010 | 0,033 | 0,211 | 0,734 | 0,004 | 0,004 | 0,004 |
| GesP11 | 0,026 | 0,276 | 0,381 | 0,255 | 0,018 | 0,018 | 0,027 |
| GesP12 | 0,029 | 0,061 | 0,722 | 0,147 | 0,030 | 0,003 | 0,009 |
| GesP13 | 0,043 | 0,027 | 0,892 | 0,018 | 0,007 | 0,005 | 0,010 |
| GesP14 | 0,005 | 0,229 | 0,745 | 0,007 | 0,006 | 0,005 | 0,004 |
| GesP15 | 0,052 | 0,021 | 0,112 | 0,769 | 0,039 | 0,004 | 0,004 |
| GesP16 | 0,462 | 0,013 | 0,235 | 0,268 | 0,011 | 0,007 | 0,004 |
| GesP17 | 0,006 | 0,131 | 0,518 | 0,312 | 0,008 | 0,010 | 0,015 |
| GesP18 | 0,008 | 0,006 | 0,012 | 0,921 | 0,011 | 0,039 | 0,004 |
| GesP19 | 0,516 | 0,019 | 0,016 | 0,363 | 0,078 | 0,004 | 0,005 |



| Tree # | STRUCTURE (27.1.2022) | | | | | | |
|--------|-----------------------|------------|--------------|--------------|------------|-------------|---------|
| | Coastal-S? | Coastal-WA | Coast. Other | Coast. Other | BC-coastal | BC-interior | Montana |
| GesP20 | 0,012 | 0,046 | 0,886 | 0,040 | 0,007 | 0,005 | 0,004 |
| GrmP01 | 0,004 | 0,004 | 0,005 | 0,005 | 0,004 | 0,004 | 0,975 |
| GrmP02 | 0,016 | 0,034 | 0,007 | 0,004 | 0,002 | 0,064 | 0,873 |
| GrmP03 | 0,023 | 0,006 | 0,006 | 0,009 | 0,003 | 0,057 | 0,897 |
| GrmP04 | 0,005 | 0,006 | 0,017 | 0,027 | 0,029 | 0,004 | 0,912 |
| GrmP05 | 0,010 | 0,015 | 0,006 | 0,007 | 0,004 | 0,038 | 0,921 |
| GrmP06 | 0,004 | 0,016 | 0,009 | 0,008 | 0,004 | 0,023 | 0,938 |
| GrmP07 | 0,005 | 0,153 | 0,008 | 0,009 | 0,003 | 0,004 | 0,818 |
| GrmP08 | 0,014 | 0,011 | 0,018 | 0,040 | 0,005 | 0,004 | 0,909 |
| GrmP09 | 0,005 | 0,008 | 0,004 | 0,004 | 0,010 | 0,027 | 0,943 |
| GrmP10 | 0,004 | 0,005 | 0,004 | 0,003 | 0,003 | 0,002 | 0,979 |
| GrmP11 | 0,013 | 0,024 | 0,019 | 0,008 | 0,006 | 0,018 | 0,913 |
| GrmP12 | 0,014 | 0,007 | 0,010 | 0,026 | 0,007 | 0,007 | 0,930 |
| GrmP13 | 0,007 | 0,005 | 0,022 | 0,017 | 0,002 | 0,004 | 0,944 |
| GrmP14 | 0,005 | 0,007 | 0,007 | 0,007 | 0,002 | 0,004 | 0,969 |
| GrmP15 | 0,410 | 0,202 | 0,009 | 0,033 | 0,064 | 0,140 | 0,143 |
| GrmP16 | 0,004 | 0,004 | 0,008 | 0,006 | 0,004 | 0,003 | 0,971 |
| GrmP17 | 0,013 | 0,006 | 0,013 | 0,008 | 0,005 | 0,029 | 0,927 |
| GrmP18 | 0,004 | 0,005 | 0,010 | 0,004 | 0,002 | 0,004 | 0,971 |
| GrmP19 | 0,168 | 0,018 | 0,050 | 0,025 | 0,005 | 0,006 | 0,728 |
| GrmP20 | 0,029 | 0,104 | 0,059 | 0,032 | 0,008 | 0,005 | 0,764 |
| KunP01 | 0,177 | 0,024 | 0,385 | 0,397 | 0,010 | 0,002 | 0,006 |
| KunP02 | 0,006 | 0,006 | 0,909 | 0,065 | 0,009 | 0,003 | 0,003 |
| KunP03 | 0,065 | 0,012 | 0,507 | 0,387 | 0,020 | 0,002 | 0,007 |
| KunP04 | 0,019 | 0,037 | 0,910 | 0,027 | 0,002 | 0,002 | 0,003 |
| KunP05 | 0,005 | 0,107 | 0,194 | 0,668 | 0,012 | 0,006 | 0,009 |
| KunP06 | 0,014 | 0,019 | 0,047 | 0,898 | 0,014 | 0,006 | 0,003 |
| KunP07 | 0,313 | 0,062 | 0,193 | 0,418 | 0,005 | 0,003 | 0,006 |
| KunP08 | 0,024 | 0,258 | 0,437 | 0,254 | 0,006 | 0,005 | 0,017 |
| KunP09 | 0,010 | 0,011 | 0,930 | 0,030 | 0,004 | 0,007 | 0,010 |
| KunP10 | 0,104 | 0,491 | 0,239 | 0,141 | 0,008 | 0,005 | 0,014 |
| KunP11 | 0,009 | 0,009 | 0,009 | 0,963 | 0,005 | 0,002 | 0,004 |
| KunP12 | 0,022 | 0,058 | 0,116 | 0,794 | 0,003 | 0,003 | 0,004 |
| KunP13 | 0,031 | 0,824 | 0,010 | 0,033 | 0,095 | 0,004 | 0,004 |
| KunP14 | 0,021 | 0,068 | 0,198 | 0,619 | 0,003 | 0,003 | 0,088 |
| KunP15 | 0,027 | 0,010 | 0,021 | 0,889 | 0,005 | 0,004 | 0,045 |
| KunP16 | 0,054 | 0,020 | 0,809 | 0,104 | 0,006 | 0,003 | 0,004 |
| KunP17 | 0,006 | 0,006 | 0,005 | 0,964 | 0,003 | 0,011 | 0,005 |
| KunP18 | 0,008 | 0,005 | 0,964 | 0,009 | 0,008 | 0,002 | 0,005 |
| KunP19 | 0,009 | 0,007 | 0,746 | 0,228 | 0,002 | 0,005 | 0,003 |
| KunP20 | 0,019 | 0,006 | 0,892 | 0,073 | 0,004 | 0,003 | 0,004 |
| RueP01 | 0,043 | 0,087 | 0,770 | 0,014 | 0,008 | 0,074 | 0,004 |



| Tree # | STRUCTURE (27.1.2022) | | | | | | |
|--------|-----------------------|------------|--------------|--------------|------------|-------------|---------|
| | Coastal-S? | Coastal-WA | Coast. Other | Coast. Other | BC-coastal | BC-interior | Montana |
| RueP02 | 0,009 | 0,586 | 0,128 | 0,161 | 0,044 | 0,068 | 0,004 |
| RueP03 | 0,211 | 0,009 | 0,546 | 0,204 | 0,020 | 0,005 | 0,006 |
| RueP04 | 0,006 | 0,007 | 0,953 | 0,020 | 0,008 | 0,003 | 0,004 |
| RueP05 | 0,225 | 0,041 | 0,012 | 0,708 | 0,006 | 0,005 | 0,004 |
| RueP06 | 0,050 | 0,891 | 0,006 | 0,041 | 0,006 | 0,003 | 0,004 |
| RueP07 | 0,006 | 0,013 | 0,854 | 0,007 | 0,011 | 0,004 | 0,105 |
| RueP08 | 0,048 | 0,010 | 0,146 | 0,778 | 0,009 | 0,003 | 0,005 |
| RueP09 | 0,031 | 0,011 | 0,023 | 0,910 | 0,012 | 0,004 | 0,011 |
| RueP10 | 0,007 | 0,027 | 0,670 | 0,205 | 0,005 | 0,013 | 0,073 |
| RueP11 | 0,005 | 0,008 | 0,970 | 0,007 | 0,003 | 0,003 | 0,004 |
| RueP12 | 0,587 | 0,032 | 0,267 | 0,057 | 0,049 | 0,004 | 0,004 |
| RueP13 | 0,023 | 0,072 | 0,052 | 0,833 | 0,004 | 0,010 | 0,007 |
| RueP14 | 0,073 | 0,016 | 0,871 | 0,011 | 0,019 | 0,006 | 0,005 |
| RueP15 | 0,016 | 0,010 | 0,909 | 0,053 | 0,006 | 0,003 | 0,004 |
| RueP16 | 0,867 | 0,019 | 0,043 | 0,045 | 0,004 | 0,017 | 0,006 |
| RueP17 | 0,010 | 0,004 | 0,022 | 0,954 | 0,006 | 0,002 | 0,003 |
| RueP18 | 0,086 | 0,033 | 0,769 | 0,102 | 0,004 | 0,003 | 0,004 |
| RueP19 | 0,007 | 0,029 | 0,883 | 0,038 | 0,026 | 0,006 | 0,011 |
| RueP20 | 0,121 | 0,076 | 0,293 | 0,478 | 0,013 | 0,005 | 0,015 |
| ScaP01 | 0,778 | 0,124 | 0,024 | 0,026 | 0,028 | 0,006 | 0,015 |
| ScaP02 | 0,983 | 0,004 | 0,003 | 0,003 | 0,003 | 0,002 | 0,002 |
| ScaP03 | 0,768 | 0,021 | 0,148 | 0,023 | 0,006 | 0,011 | 0,025 |
| ScaP04 | 0,073 | 0,034 | 0,008 | 0,822 | 0,033 | 0,026 | 0,005 |
| ScaP05 | 0,973 | 0,004 | 0,008 | 0,009 | 0,002 | 0,002 | 0,003 |
| ScaP06 | 0,967 | 0,005 | 0,004 | 0,012 | 0,003 | 0,003 | 0,007 |
| ScaP07 | 0,929 | 0,024 | 0,007 | 0,008 | 0,026 | 0,003 | 0,004 |
| ScaP08 | 0,076 | 0,038 | 0,351 | 0,477 | 0,028 | 0,008 | 0,022 |
| ScaP09 | 0,902 | 0,046 | 0,029 | 0,012 | 0,003 | 0,004 | 0,004 |
| ScaP10 | 0,972 | 0,004 | 0,005 | 0,010 | 0,004 | 0,002 | 0,003 |
| ScaP11 | 0,007 | 0,024 | 0,930 | 0,030 | 0,005 | 0,002 | 0,003 |
| ScaP12 | 0,943 | 0,014 | 0,011 | 0,016 | 0,008 | 0,004 | 0,004 |
| ScaP13 | 0,961 | 0,012 | 0,007 | 0,009 | 0,004 | 0,003 | 0,004 |
| ScaP14 | 0,902 | 0,050 | 0,006 | 0,011 | 0,003 | 0,012 | 0,017 |
| ScaP15 | 0,005 | 0,469 | 0,179 | 0,263 | 0,005 | 0,073 | 0,008 |
| ScaP16 | 0,052 | 0,081 | 0,030 | 0,325 | 0,023 | 0,006 | 0,483 |
| ScaP17 | 0,959 | 0,007 | 0,009 | 0,009 | 0,008 | 0,002 | 0,007 |
| ScaP18 | 0,367 | 0,007 | 0,572 | 0,016 | 0,004 | 0,029 | 0,007 |
| ScaP19 | 0,951 | 0,009 | 0,005 | 0,026 | 0,003 | 0,004 | 0,002 |
| ScaP20 | 0,978 | 0,004 | 0,004 | 0,004 | 0,004 | 0,002 | 0,004 |
| SomP01 | 0,028 | 0,017 | 0,072 | 0,873 | 0,003 | 0,003 | 0,004 |
| SomP02 | 0,688 | 0,007 | 0,101 | 0,168 | 0,008 | 0,005 | 0,024 |
| SomP03 | 0,187 | 0,044 | 0,347 | 0,369 | 0,045 | 0,004 | 0,005 |



| Tree # | STRUCTURE (27.1.2022) | | | | | | |
|--------|-----------------------|------------|--------------|--------------|------------|-------------|---------|
| | Coastal-S? | Coastal-WA | Coast. Other | Coast. Other | BC-coastal | BC-interior | Montana |
| SomP04 | 0,210 | 0,014 | 0,421 | 0,337 | 0,010 | 0,005 | 0,004 |
| SomP05 | 0,014 | 0,031 | 0,902 | 0,036 | 0,003 | 0,010 | 0,004 |
| SomP06 | 0,016 | 0,010 | 0,853 | 0,111 | 0,004 | 0,003 | 0,004 |
| SomP07 | 0,201 | 0,679 | 0,054 | 0,053 | 0,007 | 0,004 | 0,003 |
| SomP08 | 0,111 | 0,010 | 0,014 | 0,855 | 0,003 | 0,002 | 0,006 |
| SomP09 | 0,116 | 0,018 | 0,424 | 0,221 | 0,009 | 0,003 | 0,209 |
| SomP10 | 0,014 | 0,008 | 0,923 | 0,030 | 0,010 | 0,011 | 0,004 |
| SomP11 | 0,029 | 0,010 | 0,014 | 0,937 | 0,003 | 0,004 | 0,003 |
| SomP12 | 0,729 | 0,006 | 0,010 | 0,203 | 0,043 | 0,006 | 0,003 |
| SomP13 | 0,922 | 0,006 | 0,020 | 0,042 | 0,003 | 0,003 | 0,004 |
| SomP14 | 0,046 | 0,053 | 0,683 | 0,189 | 0,021 | 0,003 | 0,005 |
| SomP15 | 0,025 | 0,078 | 0,645 | 0,183 | 0,003 | 0,003 | 0,063 |
| SomP16 | 0,600 | 0,022 | 0,268 | 0,055 | 0,048 | 0,002 | 0,006 |
| SomP17 | 0,043 | 0,008 | 0,050 | 0,869 | 0,007 | 0,003 | 0,021 |
| SomP18 | 0,387 | 0,007 | 0,160 | 0,430 | 0,006 | 0,006 | 0,005 |
| SomP19 | 0,116 | 0,008 | 0,048 | 0,812 | 0,004 | 0,003 | 0,009 |
| SomP20 | 0,893 | 0,004 | 0,015 | 0,074 | 0,008 | 0,003 | 0,003 |
| SomP21 | 0,889 | 0,007 | 0,010 | 0,073 | 0,014 | 0,004 | 0,004 |
| UetP01 | 0,013 | 0,131 | 0,773 | 0,023 | 0,049 | 0,006 | 0,007 |
| UetP02 | 0,211 | 0,117 | 0,123 | 0,355 | 0,064 | 0,003 | 0,126 |
| UetP03 | 0,011 | 0,006 | 0,015 | 0,943 | 0,009 | 0,012 | 0,005 |
| UetP04 | 0,184 | 0,079 | 0,119 | 0,569 | 0,030 | 0,011 | 0,009 |
| UetP05 | 0,026 | 0,010 | 0,449 | 0,505 | 0,004 | 0,002 | 0,004 |
| UetP06 | 0,008 | 0,009 | 0,043 | 0,929 | 0,006 | 0,003 | 0,004 |
| UetP07 | 0,240 | 0,342 | 0,053 | 0,348 | 0,009 | 0,003 | 0,006 |
| UetP08 | 0,041 | 0,056 | 0,403 | 0,444 | 0,005 | 0,005 | 0,046 |
| UetP09 | 0,517 | 0,061 | 0,130 | 0,266 | 0,006 | 0,007 | 0,014 |
| UetP10 | 0,016 | 0,008 | 0,933 | 0,030 | 0,005 | 0,002 | 0,006 |
| UetP11 | 0,056 | 0,007 | 0,070 | 0,851 | 0,006 | 0,006 | 0,005 |
| UetP12 | 0,014 | 0,009 | 0,898 | 0,069 | 0,004 | 0,003 | 0,004 |
| UetP13 | 0,211 | 0,011 | 0,255 | 0,512 | 0,005 | 0,003 | 0,003 |
| UetP14 | 0,061 | 0,007 | 0,176 | 0,736 | 0,006 | 0,002 | 0,013 |
| UetP15 | 0,369 | 0,038 | 0,561 | 0,021 | 0,005 | 0,003 | 0,004 |
| UetP16 | 0,021 | 0,815 | 0,102 | 0,015 | 0,033 | 0,006 | 0,008 |
| UetP17 | 0,020 | 0,020 | 0,209 | 0,716 | 0,025 | 0,004 | 0,006 |
| UetP18 | 0,825 | 0,008 | 0,011 | 0,134 | 0,017 | 0,003 | 0,003 |
| UetP19 | 0,112 | 0,288 | 0,549 | 0,024 | 0,015 | 0,003 | 0,010 |
| UetP20 | 0,017 | 0,026 | 0,245 | 0,695 | 0,004 | 0,004 | 0,010 |
| R05_01 | 0,020 | 0,072 | 0,070 | 0,753 | 0,031 | 0,043 | 0,011 |
| R05_02 | 0,121 | 0,833 | 0,010 | 0,007 | 0,007 | 0,019 | 0,004 |
| R05_03 | 0,014 | 0,950 | 0,015 | 0,009 | 0,003 | 0,004 | 0,005 |
| R05_04 | 0,031 | 0,243 | 0,229 | 0,116 | 0,048 | 0,035 | 0,298 |



| Tree # | STRUCTURE (27.1.2022) | | | | | | |
|--------|-----------------------|------------|--------------|--------------|------------|-------------|---------|
| | Coastal-S? | Coastal-WA | Coast. Other | Coast. Other | BC-coastal | BC-interior | Montana |
| R05_05 | 0,393 | 0,129 | 0,062 | 0,174 | 0,016 | 0,010 | 0,217 |
| R05_06 | 0,104 | 0,054 | 0,057 | 0,736 | 0,039 | 0,003 | 0,009 |
| R05_07 | 0,038 | 0,730 | 0,004 | 0,008 | 0,207 | 0,005 | 0,008 |
| R05_08 | 0,010 | 0,367 | 0,034 | 0,434 | 0,074 | 0,056 | 0,026 |
| R05_09 | 0,877 | 0,086 | 0,016 | 0,010 | 0,005 | 0,003 | 0,004 |
| R05_10 | 0,056 | 0,226 | 0,178 | 0,150 | 0,362 | 0,012 | 0,017 |
| R05_11 | 0,236 | 0,058 | 0,587 | 0,063 | 0,039 | 0,005 | 0,013 |
| R05_12 | 0,335 | 0,431 | 0,101 | 0,111 | 0,006 | 0,004 | 0,013 |
| R05_13 | 0,010 | 0,119 | 0,175 | 0,371 | 0,003 | 0,246 | 0,076 |
| R05_14 | 0,267 | 0,385 | 0,153 | 0,131 | 0,009 | 0,008 | 0,046 |
| R05_15 | 0,011 | 0,316 | 0,644 | 0,008 | 0,003 | 0,015 | 0,003 |
| R05_16 | 0,025 | 0,947 | 0,005 | 0,007 | 0,006 | 0,006 | 0,004 |
| R05_17 | 0,070 | 0,259 | 0,101 | 0,535 | 0,007 | 0,006 | 0,023 |
| R05_18 | 0,065 | 0,468 | 0,186 | 0,054 | 0,009 | 0,213 | 0,007 |
| R05_19 | 0,291 | 0,194 | 0,224 | 0,260 | 0,011 | 0,006 | 0,015 |
| R05_20 | 0,054 | 0,104 | 0,022 | 0,778 | 0,027 | 0,012 | 0,004 |
| R12_01 | 0,013 | 0,956 | 0,007 | 0,009 | 0,008 | 0,003 | 0,004 |
| R12_02 | 0,009 | 0,953 | 0,008 | 0,008 | 0,013 | 0,004 | 0,006 |
| R12_03 | 0,024 | 0,715 | 0,102 | 0,064 | 0,047 | 0,006 | 0,042 |
| R12_04 | 0,004 | 0,979 | 0,003 | 0,005 | 0,003 | 0,003 | 0,003 |
| R12_05 | 0,006 | 0,945 | 0,019 | 0,009 | 0,012 | 0,004 | 0,005 |
| R12_06 | 0,030 | 0,661 | 0,183 | 0,023 | 0,074 | 0,022 | 0,009 |
| R12_07 | 0,005 | 0,037 | 0,838 | 0,105 | 0,008 | 0,003 | 0,005 |
| R12_08 | 0,011 | 0,018 | 0,778 | 0,030 | 0,133 | 0,005 | 0,027 |
| R12_09 | 0,004 | 0,844 | 0,085 | 0,012 | 0,003 | 0,040 | 0,011 |
| R12_10 | 0,048 | 0,833 | 0,011 | 0,014 | 0,059 | 0,028 | 0,008 |
| R12_11 | 0,005 | 0,946 | 0,013 | 0,014 | 0,011 | 0,009 | 0,003 |
| R12_12 | 0,103 | 0,658 | 0,049 | 0,034 | 0,147 | 0,004 | 0,005 |
| R12_13 | 0,016 | 0,765 | 0,013 | 0,071 | 0,020 | 0,006 | 0,110 |
| R12_14 | 0,003 | 0,977 | 0,004 | 0,003 | 0,007 | 0,004 | 0,002 |
| R12_15 | 0,007 | 0,964 | 0,012 | 0,005 | 0,003 | 0,005 | 0,004 |
| R12_16 | 0,006 | 0,806 | 0,022 | 0,006 | 0,029 | 0,127 | 0,004 |
| R12_17 | 0,008 | 0,955 | 0,011 | 0,012 | 0,008 | 0,004 | 0,003 |
| R12_18 | 0,011 | 0,911 | 0,011 | 0,051 | 0,003 | 0,009 | 0,004 |
| R12_19 | 0,033 | 0,915 | 0,031 | 0,006 | 0,004 | 0,005 | 0,007 |
| R12_20 | 0,012 | 0,081 | 0,665 | 0,023 | 0,011 | 0,200 | 0,010 |
| R32_01 | 0,008 | 0,053 | 0,060 | 0,610 | 0,260 | 0,007 | 0,003 |
| R32_02 | 0,004 | 0,039 | 0,923 | 0,014 | 0,005 | 0,008 | 0,008 |
| R32_03 | 0,006 | 0,004 | 0,100 | 0,853 | 0,025 | 0,002 | 0,011 |
| R32_04 | 0,009 | 0,017 | 0,926 | 0,011 | 0,032 | 0,003 | 0,003 |
| R32_05 | 0,022 | 0,009 | 0,887 | 0,067 | 0,010 | 0,002 | 0,003 |
| R32_06 | 0,006 | 0,041 | 0,022 | 0,881 | 0,011 | 0,037 | 0,003 |



| Tree # | STRUCTURE (27.1.2022) | | | | | | |
|--------|-----------------------|------------|--------------|--------------|------------|-------------|---------|
| | Coastal-S? | Coastal-WA | Coast. Other | Coast. Other | BC-coastal | BC-interior | Montana |
| R32_07 | 0,022 | 0,252 | 0,655 | 0,029 | 0,025 | 0,014 | 0,004 |
| R32_08 | 0,009 | 0,022 | 0,038 | 0,913 | 0,006 | 0,004 | 0,009 |
| R32_09 | 0,012 | 0,010 | 0,047 | 0,900 | 0,012 | 0,005 | 0,015 |
| R32_10 | 0,014 | 0,033 | 0,100 | 0,814 | 0,021 | 0,014 | 0,004 |
| R32_11 | 0,003 | 0,004 | 0,918 | 0,008 | 0,061 | 0,004 | 0,003 |
| R32_12 | 0,068 | 0,013 | 0,453 | 0,419 | 0,032 | 0,012 | 0,004 |
| R32_13 | 0,009 | 0,182 | 0,619 | 0,108 | 0,014 | 0,038 | 0,030 |
| R32_14 | 0,108 | 0,011 | 0,065 | 0,809 | 0,003 | 0,002 | 0,003 |
| R32_15 | 0,008 | 0,006 | 0,843 | 0,074 | 0,062 | 0,002 | 0,005 |
| R32_17 | 0,050 | 0,016 | 0,469 | 0,412 | 0,029 | 0,003 | 0,021 |
| R32_18 | 0,009 | 0,008 | 0,123 | 0,814 | 0,040 | 0,003 | 0,003 |
| R32_19 | 0,005 | 0,097 | 0,530 | 0,214 | 0,143 | 0,007 | 0,004 |
| R32_20 | 0,793 | 0,028 | 0,013 | 0,148 | 0,010 | 0,005 | 0,003 |
| R33_02 | 0,015 | 0,054 | 0,015 | 0,022 | 0,016 | 0,013 | 0,866 |
| R33_03 | 0,003 | 0,003 | 0,005 | 0,003 | 0,003 | 0,003 | 0,980 |
| R33_04 | 0,012 | 0,006 | 0,007 | 0,005 | 0,006 | 0,041 | 0,923 |
| R33_05 | 0,003 | 0,012 | 0,003 | 0,004 | 0,004 | 0,023 | 0,951 |
| R33_06 | 0,007 | 0,006 | 0,012 | 0,008 | 0,004 | 0,372 | 0,592 |
| R33_07 | 0,007 | 0,008 | 0,066 | 0,028 | 0,024 | 0,005 | 0,863 |
| R33_08 | 0,028 | 0,023 | 0,017 | 0,006 | 0,014 | 0,009 | 0,905 |
| R33_09 | 0,003 | 0,004 | 0,003 | 0,008 | 0,003 | 0,004 | 0,975 |
| R33_10 | 0,006 | 0,040 | 0,015 | 0,021 | 0,005 | 0,003 | 0,910 |
| R33_11 | 0,003 | 0,004 | 0,008 | 0,008 | 0,003 | 0,012 | 0,962 |
| R33_12 | 0,002 | 0,007 | 0,003 | 0,003 | 0,003 | 0,003 | 0,979 |
| R33_13 | 0,003 | 0,022 | 0,008 | 0,006 | 0,005 | 0,040 | 0,917 |
| R33_14 | 0,012 | 0,003 | 0,004 | 0,014 | 0,004 | 0,034 | 0,930 |
| R33_15 | 0,007 | 0,004 | 0,004 | 0,017 | 0,003 | 0,051 | 0,914 |
| R33_16 | 0,003 | 0,006 | 0,004 | 0,004 | 0,021 | 0,077 | 0,885 |
| R33_17 | 0,003 | 0,004 | 0,004 | 0,006 | 0,003 | 0,007 | 0,973 |
| R33_19 | 0,008 | 0,018 | 0,004 | 0,005 | 0,003 | 0,006 | 0,957 |
| R33_20 | 0,043 | 0,015 | 0,008 | 0,009 | 0,003 | 0,011 | 0,913 |
| R38_01 | 0,004 | 0,007 | 0,003 | 0,003 | 0,977 | 0,003 | 0,003 |
| R38_02 | 0,348 | 0,007 | 0,009 | 0,009 | 0,606 | 0,008 | 0,014 |
| R38_03 | 0,129 | 0,016 | 0,022 | 0,016 | 0,812 | 0,003 | 0,003 |
| R38_04 | 0,005 | 0,004 | 0,004 | 0,004 | 0,959 | 0,014 | 0,011 |
| R38_05 | 0,004 | 0,006 | 0,009 | 0,007 | 0,960 | 0,009 | 0,005 |
| R38_06 | 0,003 | 0,004 | 0,005 | 0,004 | 0,978 | 0,003 | 0,004 |
| R38_07 | 0,035 | 0,013 | 0,013 | 0,011 | 0,907 | 0,015 | 0,007 |
| R38_08 | 0,008 | 0,017 | 0,009 | 0,011 | 0,946 | 0,004 | 0,005 |
| R38_09 | 0,010 | 0,205 | 0,026 | 0,013 | 0,736 | 0,003 | 0,007 |
| R38_10 | 0,003 | 0,004 | 0,003 | 0,003 | 0,982 | 0,003 | 0,002 |
| R38_11 | 0,003 | 0,006 | 0,008 | 0,005 | 0,971 | 0,004 | 0,004 |



| Tree # | STRUCTURE (27.1.2022) | | | | | | |
|--------|-----------------------|------------|--------------|--------------|------------|-------------|---------|
| | Coastal-S? | Coastal-WA | Coast. Other | Coast. Other | BC-coastal | BC-interior | Montana |
| R38_12 | 0,005 | 0,003 | 0,005 | 0,007 | 0,974 | 0,004 | 0,003 |
| R38_13 | 0,046 | 0,010 | 0,013 | 0,006 | 0,905 | 0,003 | 0,017 |
| R38_14 | 0,005 | 0,007 | 0,012 | 0,006 | 0,954 | 0,006 | 0,011 |
| R38_15 | 0,009 | 0,011 | 0,006 | 0,007 | 0,956 | 0,007 | 0,005 |
| R38_16 | 0,003 | 0,004 | 0,003 | 0,005 | 0,975 | 0,003 | 0,007 |
| R38_17 | 0,002 | 0,003 | 0,003 | 0,003 | 0,974 | 0,005 | 0,010 |
| R38_18 | 0,004 | 0,005 | 0,007 | 0,004 | 0,962 | 0,016 | 0,003 |
| R38_19 | 0,008 | 0,050 | 0,006 | 0,006 | 0,915 | 0,008 | 0,008 |
| R38_20 | 0,019 | 0,064 | 0,010 | 0,012 | 0,876 | 0,008 | 0,011 |
| R39_01 | 0,002 | 0,003 | 0,002 | 0,003 | 0,006 | 0,981 | 0,003 |
| R39_02 | 0,003 | 0,005 | 0,004 | 0,005 | 0,003 | 0,971 | 0,010 |
| R39_03 | 0,004 | 0,005 | 0,010 | 0,015 | 0,003 | 0,804 | 0,160 |
| R39_04 | 0,004 | 0,014 | 0,003 | 0,003 | 0,067 | 0,873 | 0,036 |
| R39_05 | 0,003 | 0,004 | 0,003 | 0,003 | 0,004 | 0,980 | 0,003 |
| R39_06 | 0,005 | 0,009 | 0,007 | 0,008 | 0,006 | 0,961 | 0,004 |
| R39_07 | 0,033 | 0,027 | 0,085 | 0,023 | 0,005 | 0,816 | 0,012 |
| R39_08 | 0,015 | 0,081 | 0,015 | 0,009 | 0,007 | 0,860 | 0,014 |
| R39_09 | 0,006 | 0,006 | 0,004 | 0,007 | 0,002 | 0,971 | 0,004 |
| R39_10 | 0,018 | 0,019 | 0,164 | 0,011 | 0,027 | 0,746 | 0,016 |
| R39_11 | 0,003 | 0,005 | 0,003 | 0,003 | 0,007 | 0,566 | 0,412 |
| R39_12 | 0,005 | 0,015 | 0,008 | 0,014 | 0,007 | 0,939 | 0,013 |
| R39_13 | 0,003 | 0,004 | 0,003 | 0,002 | 0,051 | 0,934 | 0,003 |
| R39_14 | 0,005 | 0,010 | 0,004 | 0,009 | 0,003 | 0,803 | 0,166 |
| R39_15 | 0,006 | 0,005 | 0,004 | 0,005 | 0,003 | 0,973 | 0,005 |
| R39_16 | 0,005 | 0,008 | 0,018 | 0,014 | 0,003 | 0,944 | 0,008 |
| R39_17 | 0,003 | 0,004 | 0,003 | 0,003 | 0,005 | 0,979 | 0,004 |
| R39_18 | 0,004 | 0,006 | 0,003 | 0,005 | 0,008 | 0,958 | 0,017 |
| R39_19 | 0,021 | 0,183 | 0,145 | 0,067 | 0,052 | 0,502 | 0,031 |
| R39_20 | 0,004 | 0,023 | 0,005 | 0,004 | 0,003 | 0,958 | 0,003 |